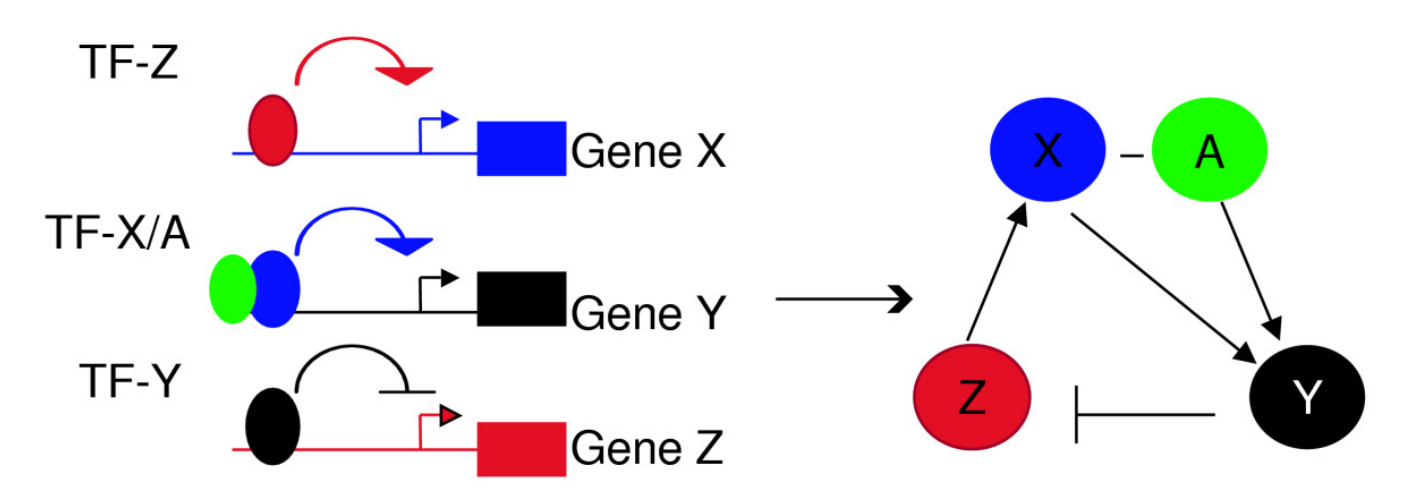
Лекция №4

1. Генные сети в эпоху высокопроизводительного секвенирования

2. Базы данных по генным сетям

к.б.н., с.н.с. лаб. эволюционной биоинформатики и теоретической генетики Игнатьева Е.В.

Транскрипционные регуляторные сети (Transcription regulatory networks)



Транскрипционные регуляторные сети содержат узлы, обозначающие два вида объектов:

- 1) гены, относящиеся к рассматриваемой системе;
- 2) транскрипционные факторы, регулирующие экспрессию генов.

Типы связей (ребер) в транскрипционных регуляторных сетях:

—— Стрелки отображают активацию (подавление) экспрессии гена транскрипционным фактором,

Линии отображают белок-белковые взаимодействия

При отображении транскрипционных регуляторных сетей не принято изображать отдельно ген и отдельно белок !!!

Итоги: возможные экспериментальные подходы для получения данных для реконструкции транскрипционных регуляторных сетей (TRN)

√ Подход 1. Выявление сайтов чувствительности к ДНазеІ в геноме и предсказание сайтов связывания транскрипционных факторов в районах ДНК, соответствующих сайтам чувствительности к ДНазеІ

Подход 2. Оценка эффекта выключения активности транскрипционных факторов различными способами (siRNA и т.д.).

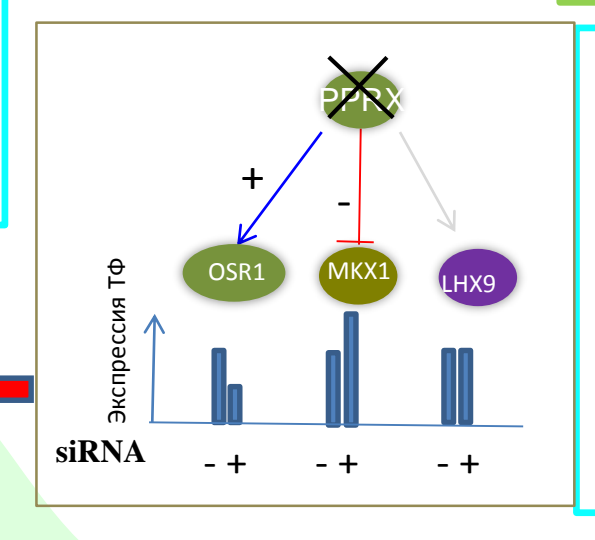
• • • • •

.

<u>Подход 2:</u> Реконструкция транскрипционных регуляторных сетей (TRN) на основе исследования эффектов выключения генов с помощью siRNA (метод)

Анализ данных консорциума FANTOM5 по экспрессии в различных типах клеток человека (методика CAGE)

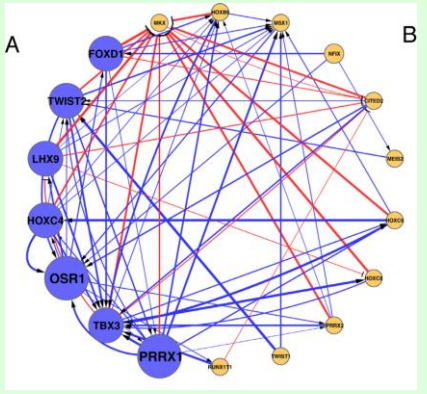
Список 18 транскрипционных факторов с повышенной экспрессией в фибробластах (fibroblast-enriched transcription factors) Эксперимент с поочередным выключением каждого из 18-ти ТФ с помощью siRNA siRNA (= малые интерферирующие РНК) могут быть искусственно введены в клетки для нокдауна определённого гена.



Выявление генов, экспрессия которых меняется наиболее сильно в ответ на вмешательство siRNA.

= Это гены мишени, регулируемые исследуемыми ТФ

Фибробласт-специфичная сеть транскрипционной регуляции (TRN)

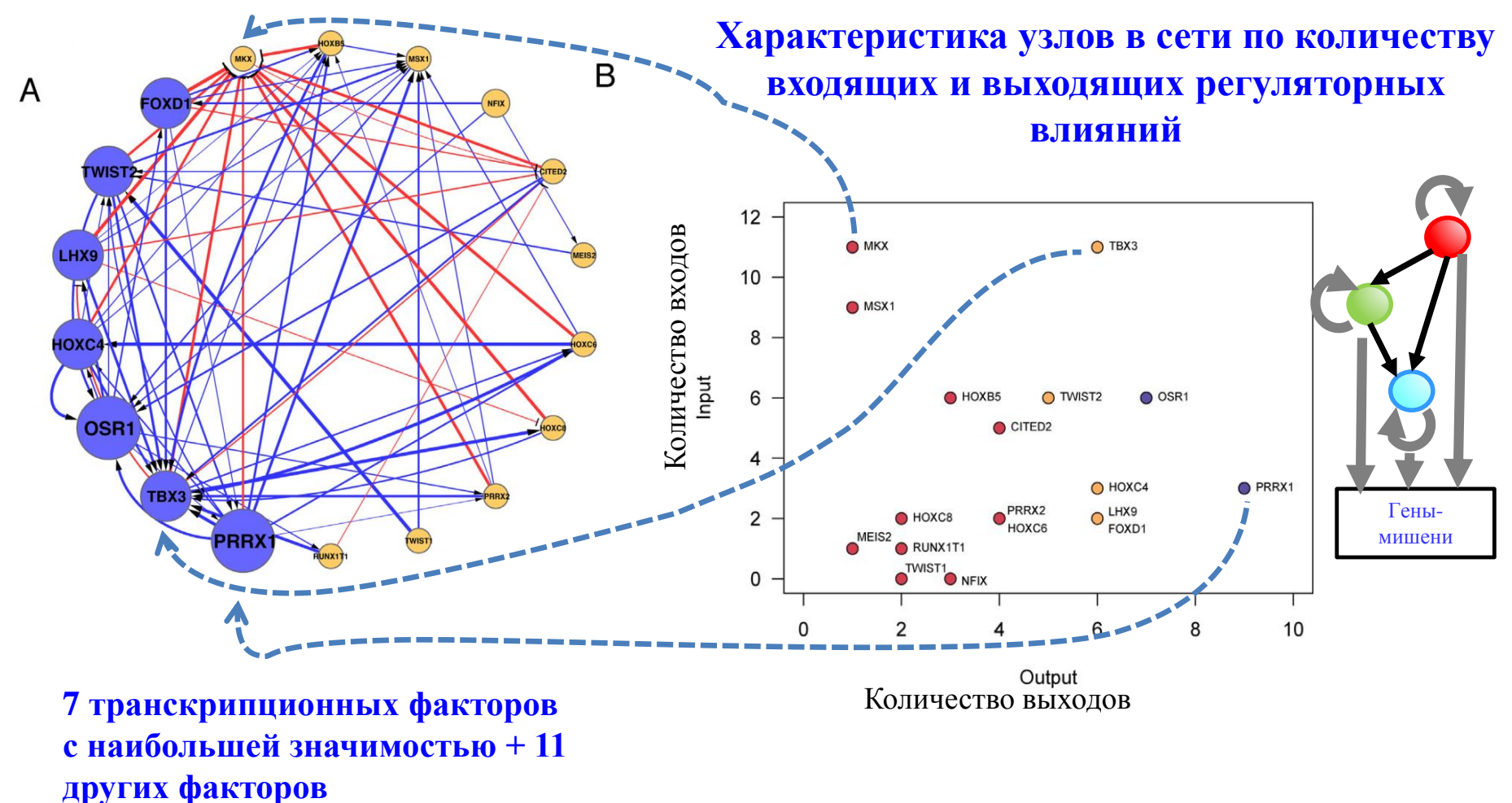


7 транскрипционных факторов с наибольшей значимостью + 11 других факторов

Tomaru Y, et al + FANTOM Consortium, Shin JW, Suzuki H. A transient disruption of fibroblastic transcriptional regulatory network facilitates trans-differentiation. Nucleic Acids Res. 2014 Aug;42(14):8905-13

<u>Подход 2:</u> Реконструкция транскрипционных регуляторных сетей (TRN) на основе исследования эффектов выключения генов с помощью siRNA (результаты)

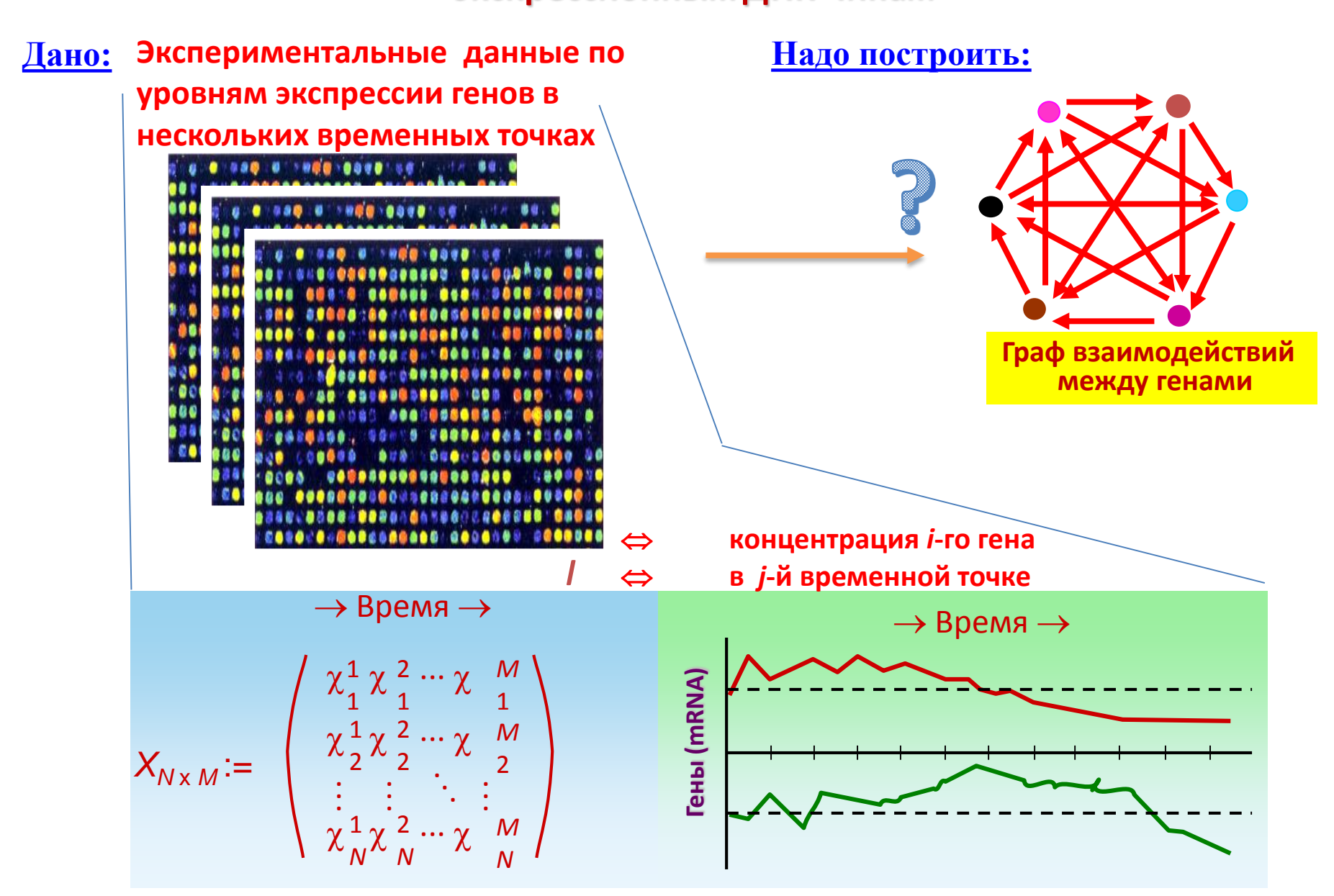
Фибробласт-специфичная сеть транскрипционной регуляции (TRN)



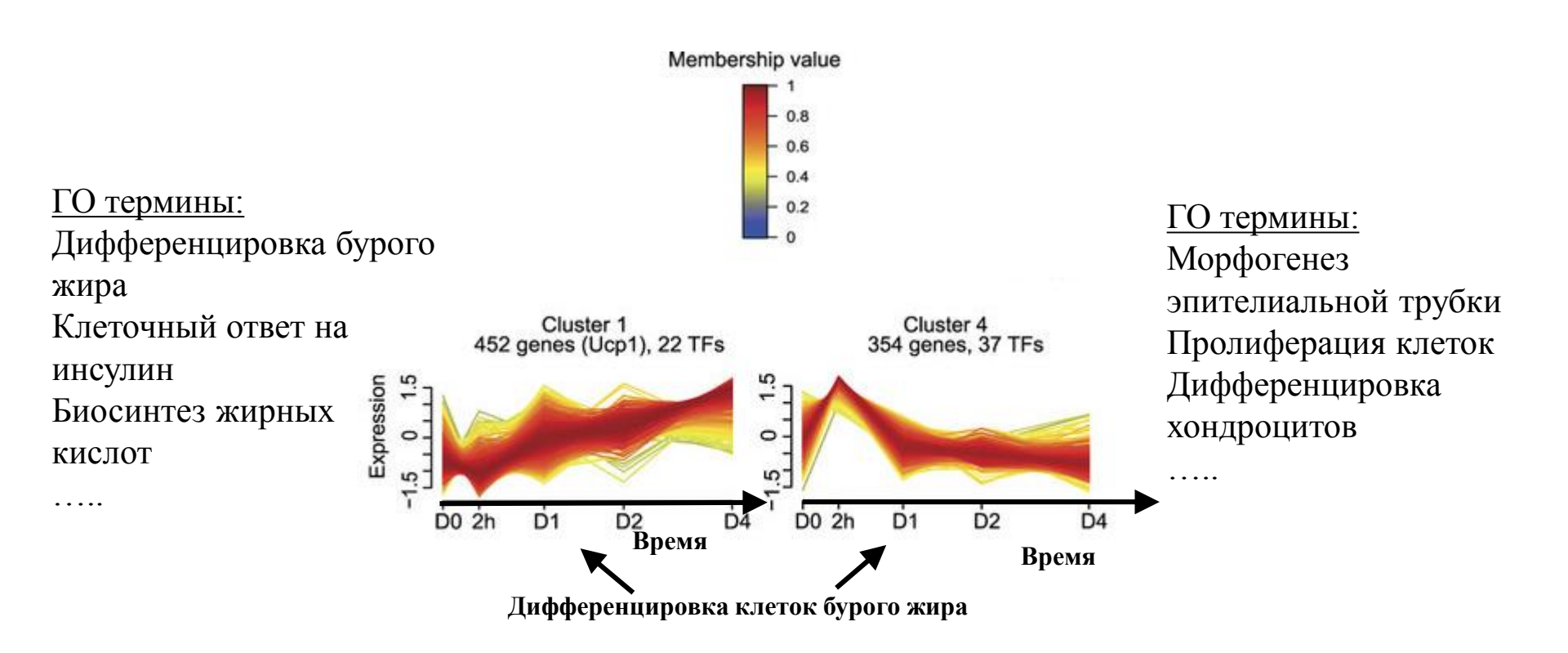
Tomaru Y, et al + FANTOM Consortium, Shin JW, Suzuki H. A transient disruption of fibroblastic transcriptional regulatory network facilitates trans-differentiation. Nucleic Acids Res. 2014 Aug;42(14):8905-13

Задача в общем виде:

Реконструкция графов регуляторных генных сетей на основе данных по экспрессионным ДНК-чипам

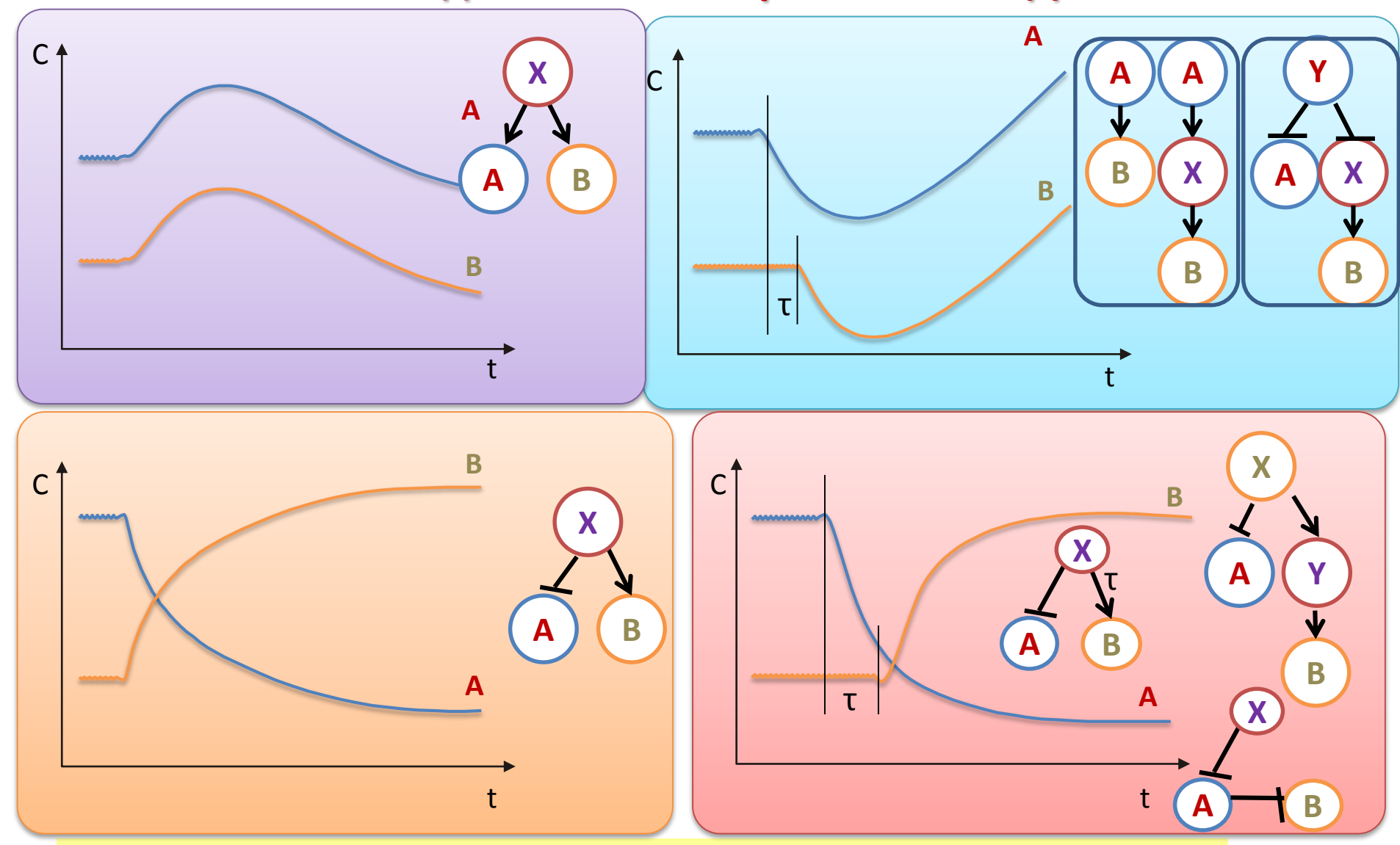


Один из этапов теоретического подхода: выявление кластеров генов с контрастными экспрессионными характеристиками



Pradhan RN et al. Dissecting the brown adipogenic regulatory network using integrative genomics. Sci Rep. 2017 Feb 9;7:42130.

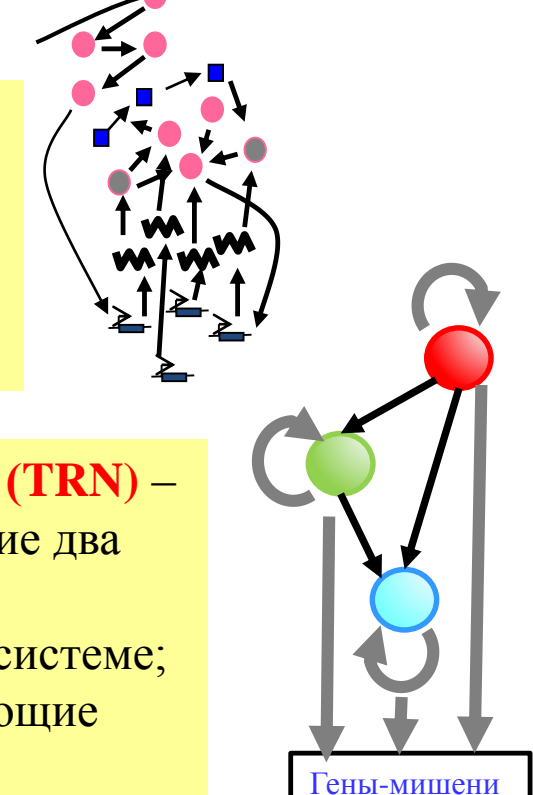
Построение гипотез о регуляторных взаимодействиях между генами основе данных по экспрессионным ДНК-чипам



Результаты неоднозначны, необходима экспериментальная проверка!!!!

Генные сети, транскрипционные регуляторные сети- Что дальше ????

√ Генные сети - молекулярно-генетические системы, обеспечивающие формирование фенотипических характеристик организмов (молекулярных, биохимических, структурных, морфологических, поведенческих и т.д.) на основе информации, закодированных в их геномах.



Транскрипционные регуляторные сети (TRN) − сети, содержащие вершины, обозначающие два вида объектов:

- 1) гены, относящиеся к рассматриваемой системе;
- 2) транскрипционные факторы, регулирующие экспрессию генов.

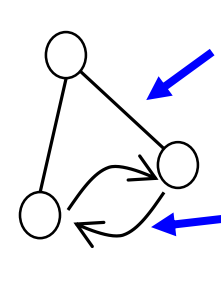
Сети взаимодействий между генами / белками

.

Изображения генных сетей, а также любых сетей, являются графами.

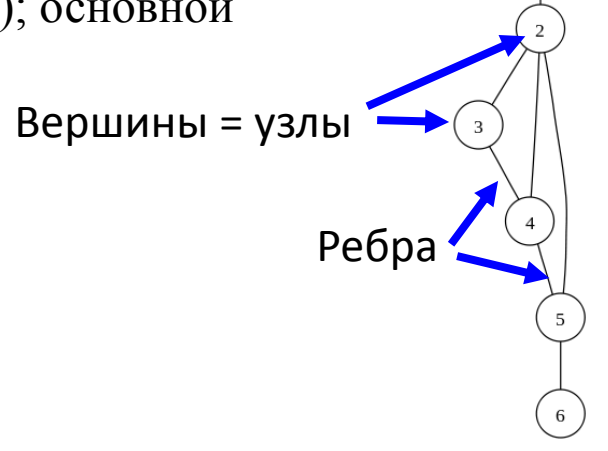
Граф (англ. *graph*) — совокупность непустого множества вершин и наборов пар вершин (связей между вершинами = ребер); основной объект изучения математической теории графов.

https://ru.wikipedia.org/wiki/ Граф (математика)



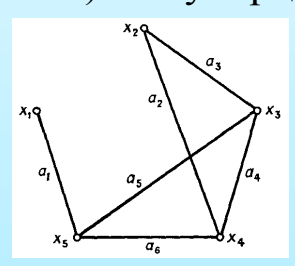
Неориентированное ребро соединяет неупорядоченную пару вершин

Ориентированное ребро (= дуга) соединяет упорядоченную пару вершин



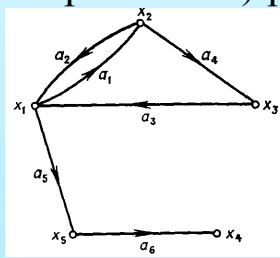
Классификация графов по типам входящих в них ребер

Неориентированный граф — это непустое множество вершин (=узлов) и неупорядоченных ребер



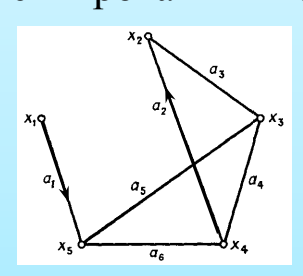
Пример неориентированного графа. x1, x2, x3, x4, x5 — вершины графа. a1, a2, a3, a4, a5, a6 — ребра.

Ориентированный граф — это непустое множество вершин (=узлов) и упорядоченных (ориентированных) ребер (дуг)



Пример ориентированного графа. x_1, x_2, x_3, x_4, x_5 – вершины графа. $a_1, a_2, a_3, a_4, a_5, a_6$ – дуги.

Смешанный граф это граф, в котором некоторые рёбра могут быть ориентированными, а некоторые неориентированными.



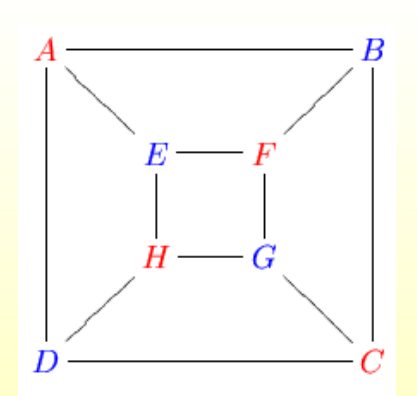
Пример смешанного графа. x_1, x_2, x_3, x_4, x_5 – вершины графа. a_1, a_2 – дуги. a_3, a_4, a_5, a_6 – ребра.

Классификация графов по типам входящих в них ребер

Граф называется двудольным, если его вершины можно разбить на два непересекающихся подмножества V1 и V2 так, что всякое ребро соединяет вершину из первого множества V1 с вершиной из второго множества V2.

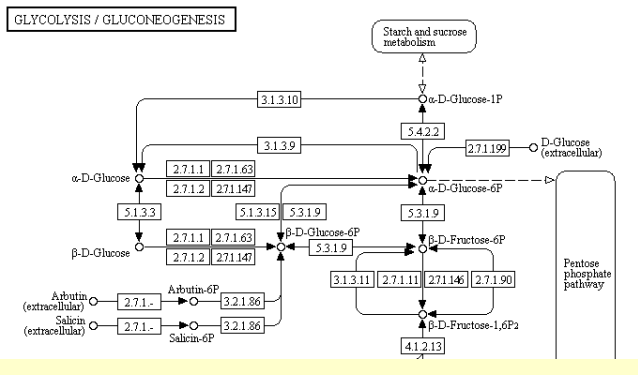
Граф называется k-дольным, если его вершины можно разбить на **k** непересекающихся подмножества V1, V2, ..., Vk, так, так, что не будет рёбер, соединяющих вершины одного и того же подмножества





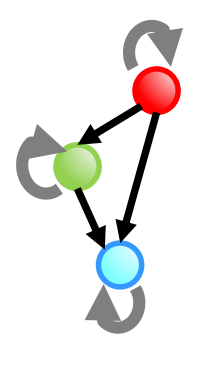
Пример друдольного графа. Первое множество вершин (A, F, H, C) и второе множество вершин (E, B, D, G).

Представление данных о метаболическом пути в базе KEGG: 1-ый тип вершин – метаболиты 2-ой тип вершин – ферменты

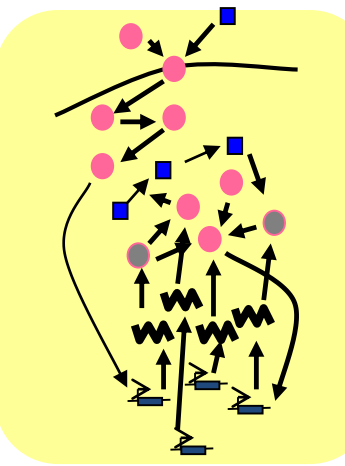


Классификация сетей по типам вершин и связей

Генные сети – граф сети <u>ориентированный либо смешанный</u> и может включать <u>вершины нескольких типов</u>: гены, мРНК, белки, низкомолекулярные соединения, реакции — ✓ ✓ □



Транскрипционные регуляторные сети (TRN) граф сети ориентированный и включает вершины одного типа, обозначающие: 1) гены, относящиеся к рассматриваемой системе; 2) транскрипционные факторы, регулирующие экспрессию генов. Графическое обозначение двух типов вершин может быть одинаковым.





Сети взаимодействий между генами / белками - граф сети неориентированный либо смешанный, включает вершины, одного типа, обозначающие гены и /или белки.

Ребро (связь) между вершинами сети может обозначать:

Белокбелковое взаимодействие

Гомологию между генами либо структурное сходство белков

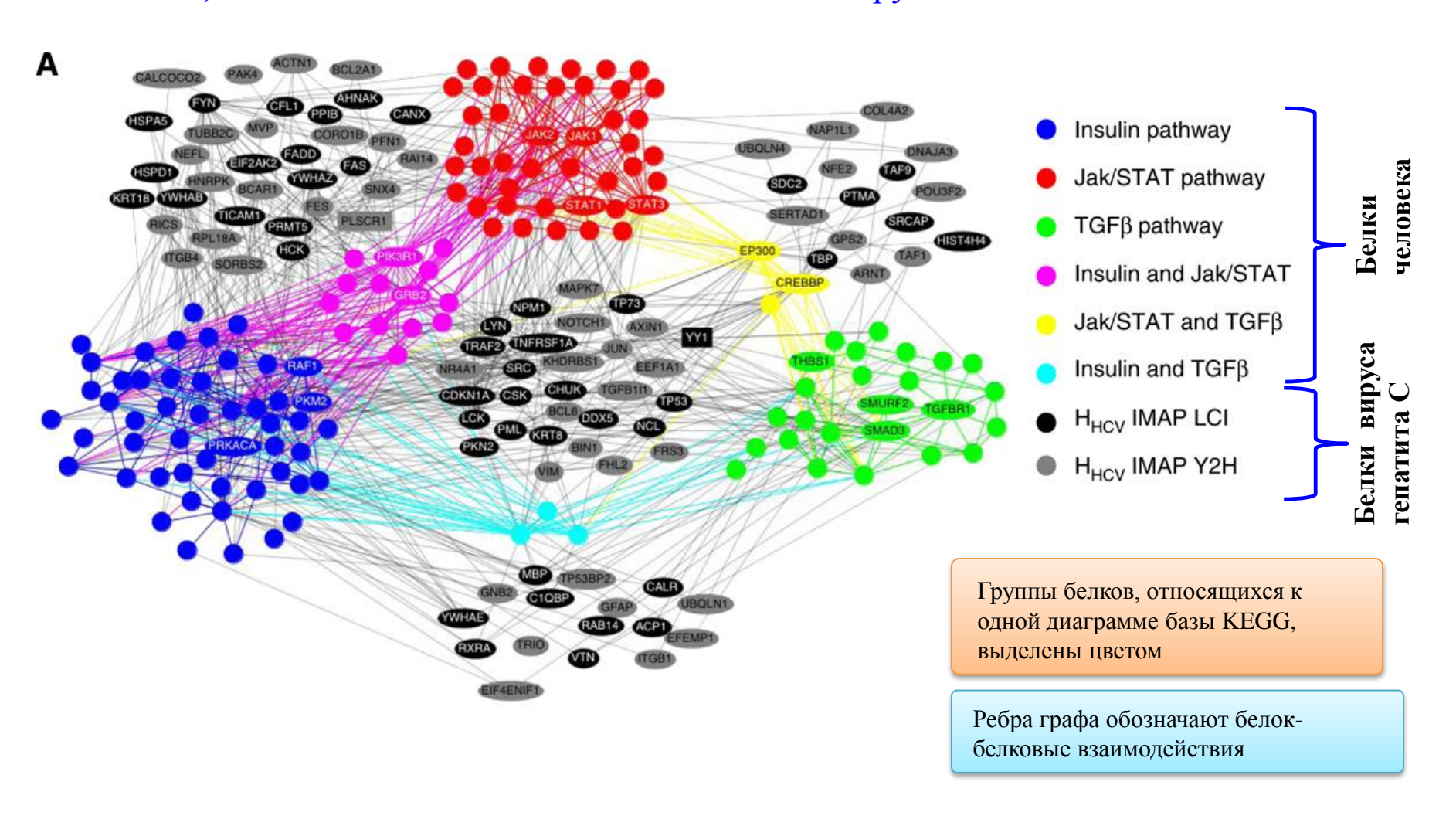
Коэкспрессию

Принадлежность генов/белков к одному метаболическому-сигнальному пути

Совместную встречаемость в текстах статей

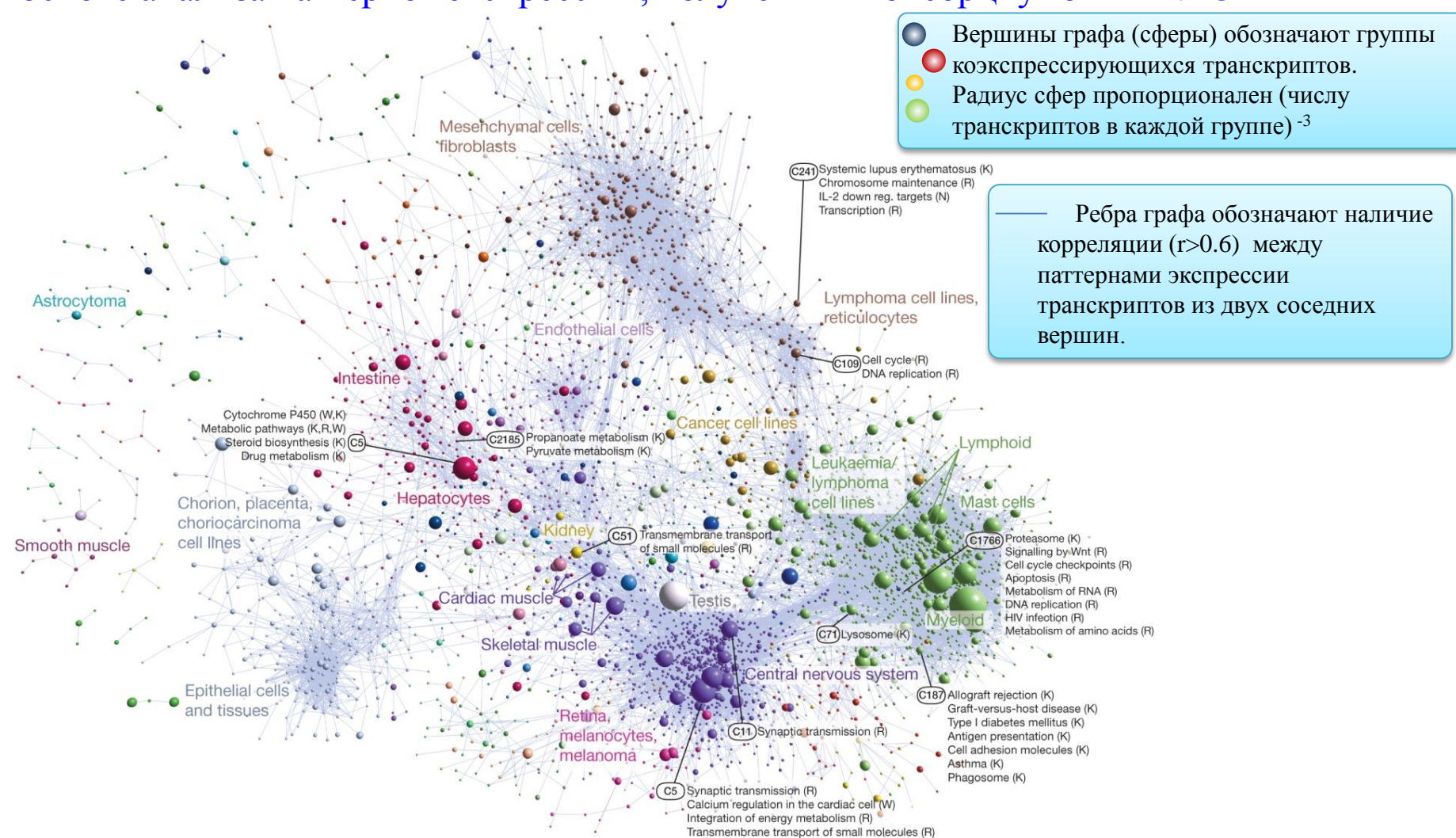
Сети взаимодействий между генами / белками широко используются для представления данных полногеномных исследований

Пример №1: представление сети белок-белковых взаимодействий между белками человека, имеющими взаимодействия с белками вируса гепатита С



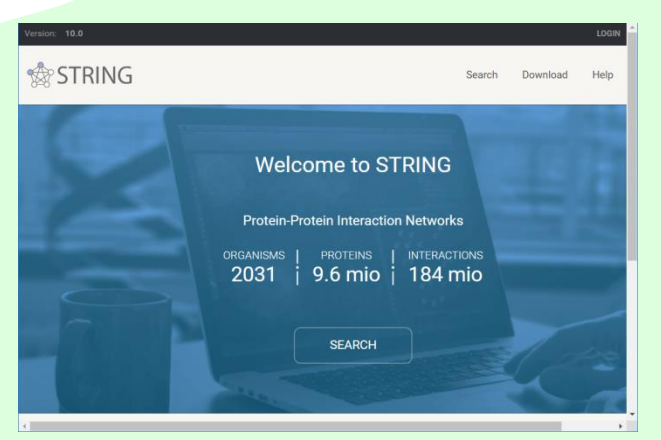
Сети взаимодействий между генами / белками широко используются для представления данных полногеномных исследований

Пример №2: представление коэкспрессирующихся генов/транскриптов человека на основе анализа паттернов экспрессии, полученных консорциумом FANTOM



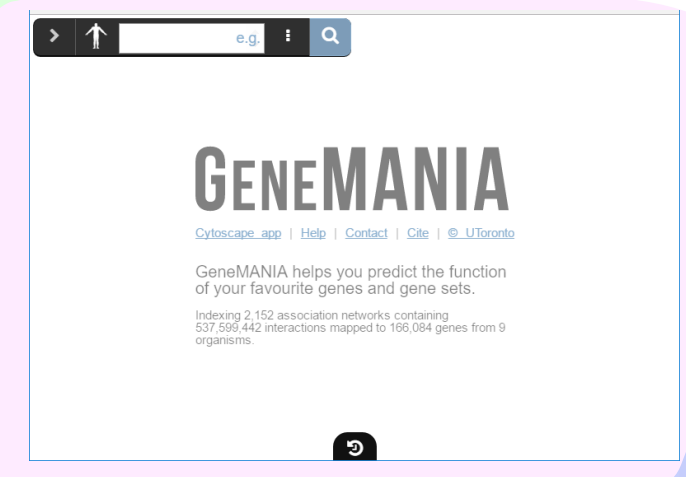
Как строить сети взаимодействий между генами / белками ??

Интернет-доступные информационные компьютерные системы, позволяющие экстрагировать данные по связям различных типов между генами/белками



STRING - functional protein association networks string-db.org/

GeneMANIA http://genemania.org/





Pathway Commons - A Resource for Biological Pathway Analysis

http://www.pathwaycommons.org/

Как строить сети взаимодействий между генами / белками ??

Интернет-доступные информационные компьютерные системы, позволяющие экстрагировать данные по связям раздичных типов между генами/белками

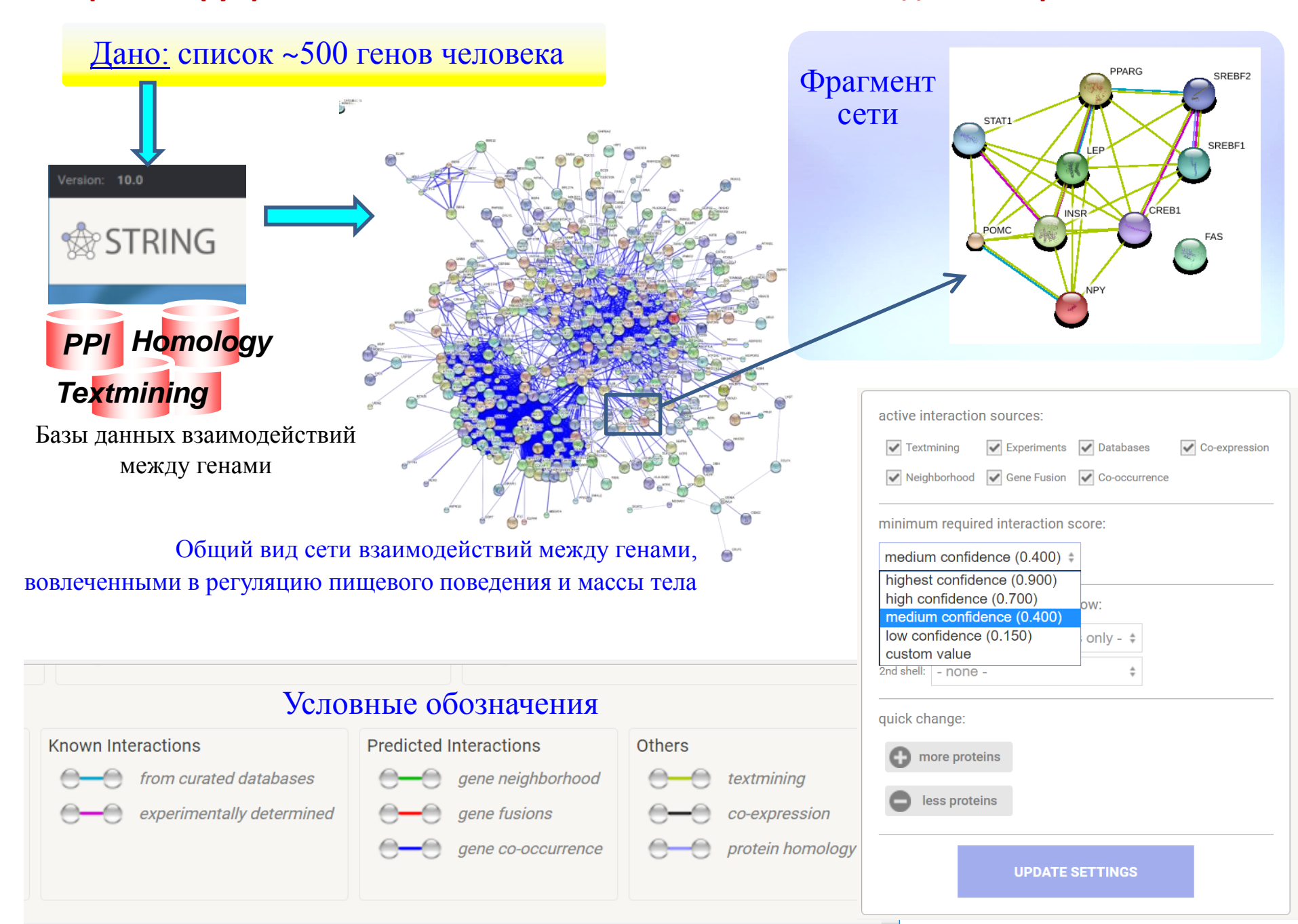


Pathway Commons aims to store and disseminate knowledge about biological pathways. Information is sourced from public pathway databases and is readily searched, visualized, and downloaded. The data is freely available under the license terms of each contributing

Pathway Commons - A Resource for Biological Pathway Analysis

http://www.pathwaycommons.org/

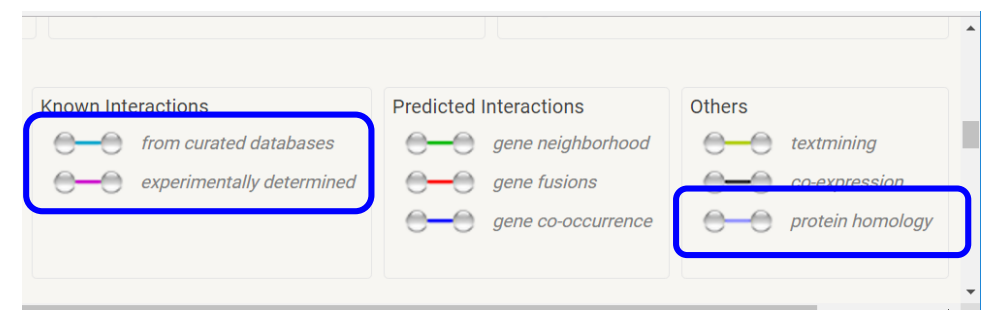
Сеть, реконструированная системой STRING, включает взаимодействия разных типов



Какие новые знания можно получить, анализируя взаимодействия разных типов ???

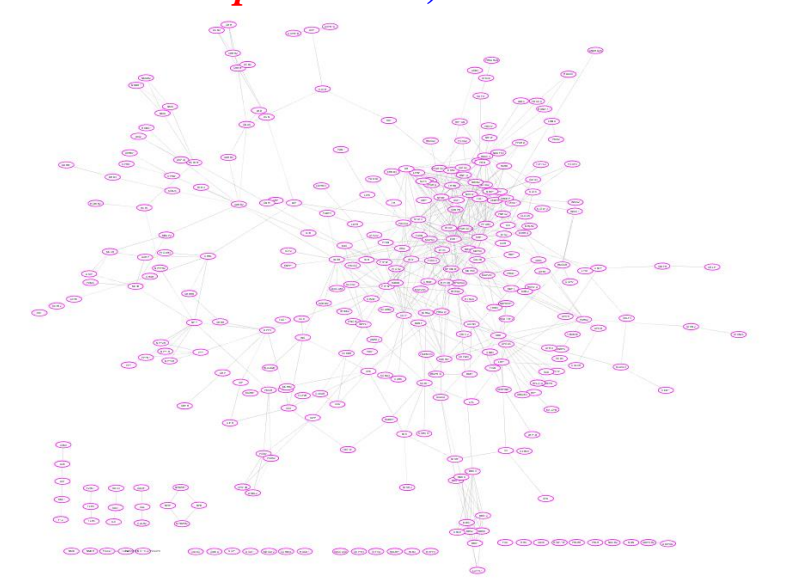
ДАНО:

578 генов, участвующих в регуляции пищевого поведения либо массы тела

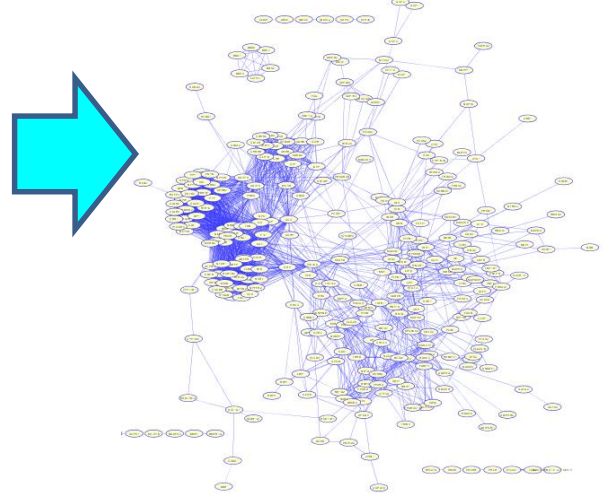




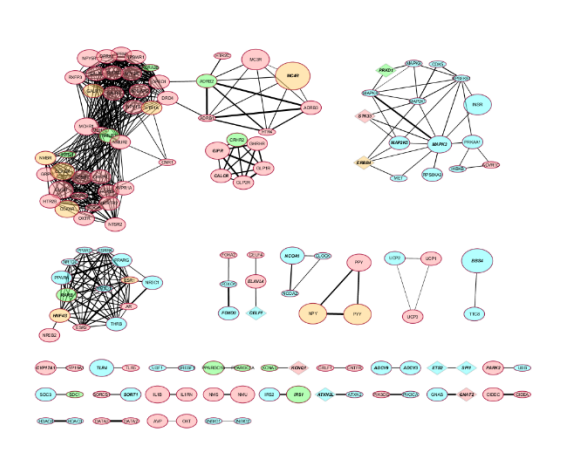
Подсеть белок-белковых взаимодействий (тип связи *Experimental*)



Подсеть совместной встречаемости в метаболических и сигнальных путях (тип связи *Knowledge*)



Подсеть взаимодействий, отображающих гомологию (тип связи *Homology*)



Ignatieva EV, et al.,. BMC Genet. 2016 Dec 22;17(Suppl 3):158.

Методический вопрос:

Нужно ли (можно ли) рассматривать связи всех типов сразу или лучше поотдельности ??

Рассмотрены три подсети:

Подсеть белок-белковых взаимодействий (тип связи Experimental)

Подсеть совместной встречаемости в метаболических и сигнальных путях

(тип связи Knowledge)

Подсеть взаимодействий, отображающих гомологию (тип связи *Homology*)

Количество ген участвующих в сетя	
Experimental (355)	
93	
Knowledge (304)	logy (142)
(А всего в запросе участвовало 578 генов	в)

Каждая сеть имела свои
количественные характеристики

Тин сети	Кол-во генов, эмеющих связи данного типа / доля генов от общего количества	Кол-во связей со скором > 0.4	Среднее число связей на ген
Experimental	355 (62%)	1243	4.28
Knowledge	304 (53%)	2397	15.87
Homology	142 (25%)	521	7.390
ВСЕГО	408 (~71%)		

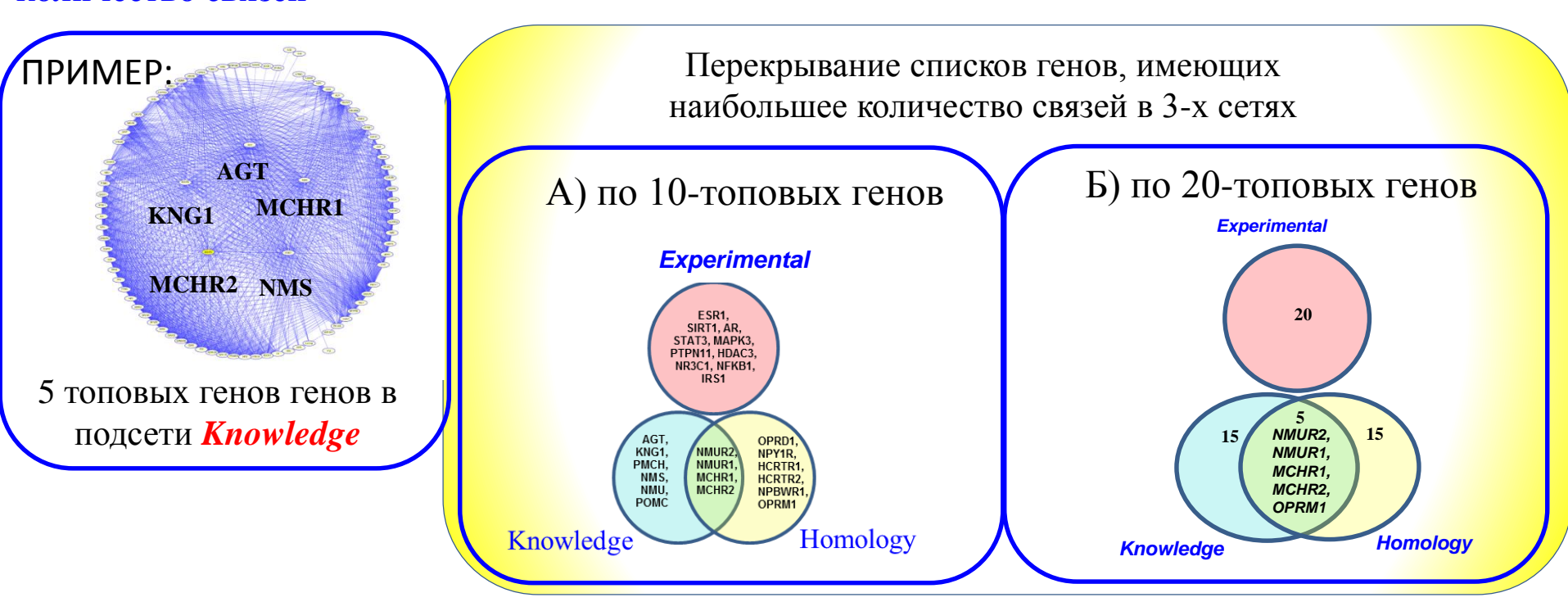
Всего сетями было охвачено 71% генов

Каждая подсеть включала определенное количество уникальных генов, которые не присутствовали в других подсетях Ни одна подсеть не включала все гены, участвовавшие в запросе

Ignatieva EV, et al.,. BMC Genet. 2016;17 (Suppl 3):158.

Продолжение Методический вопрос: Нужно ли рассматривать связи всех типов сразу или лучше по-отдельности ??

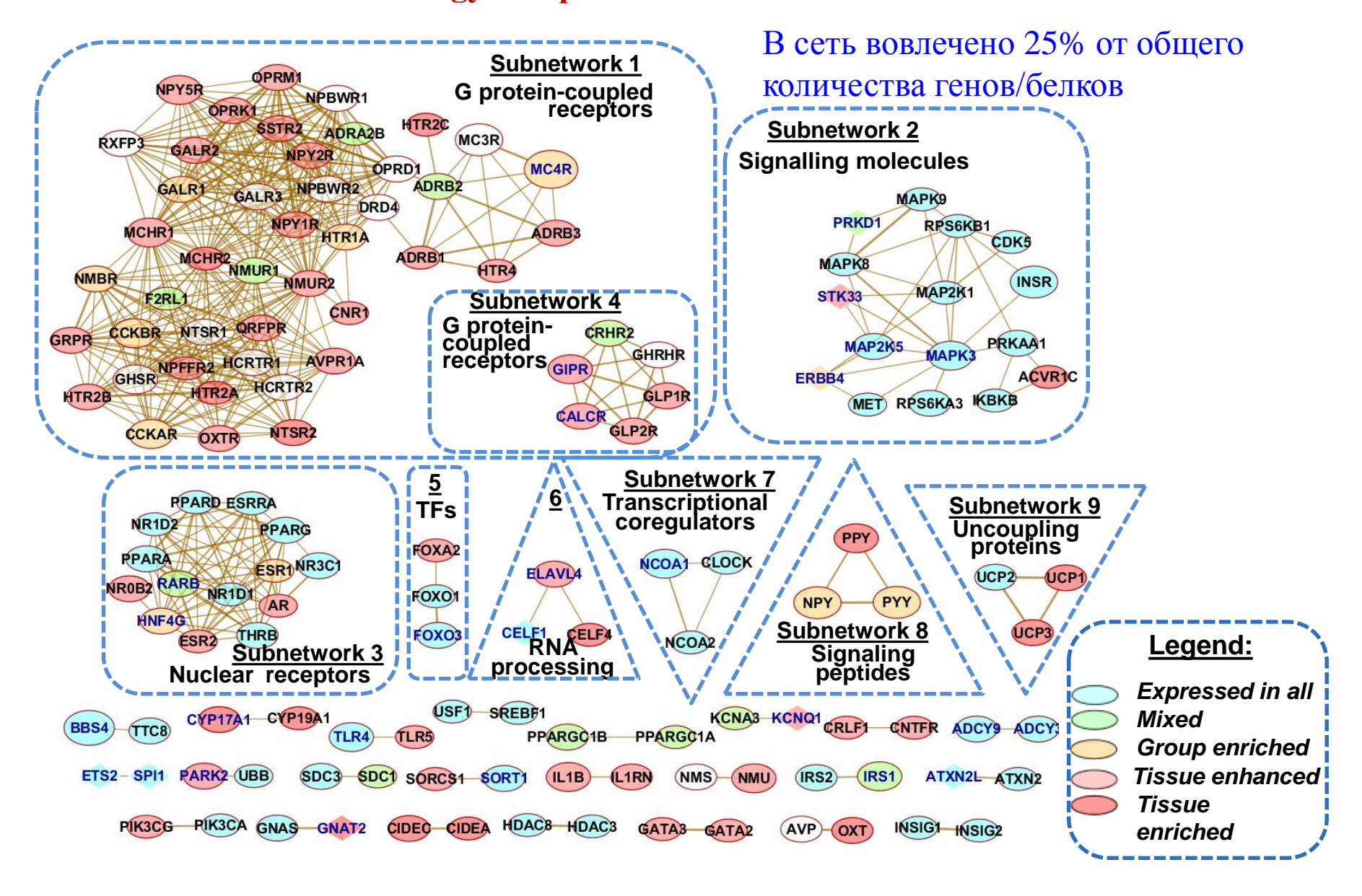
Для каждой сети были выделены «топовые гены», то есть гены, имеющие наибольшее количество связей



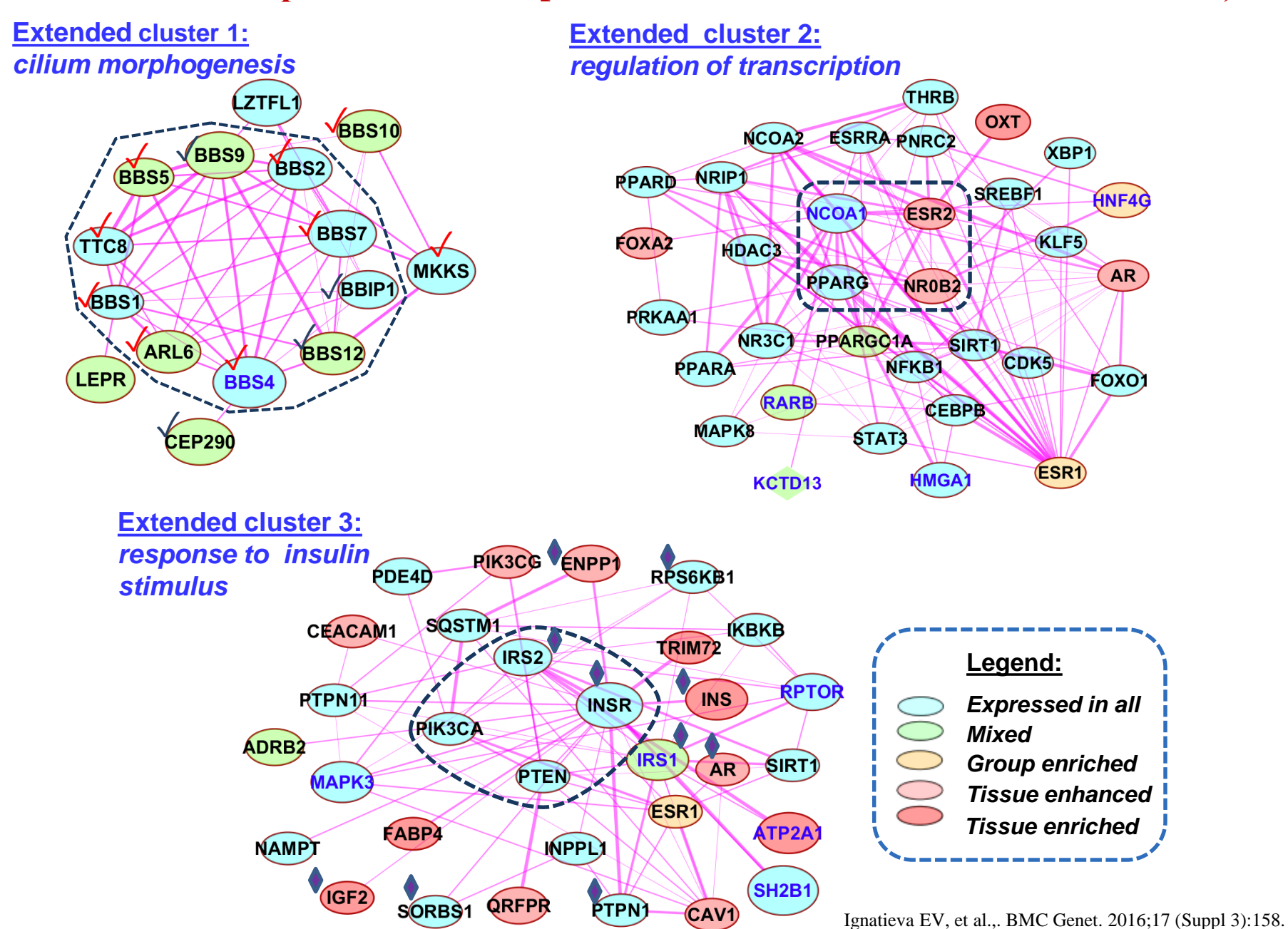
Каждая сеть содержала уникальный набор «топовых» генов. При рассмотрении множеств 20-ти топовых генов одна из сетей (*Experimental*) характеризовалась набором 20-топовых генов, абсолютно не перекрывающимися с топовыми генами других двух сетей

ВЫВОД: Все рассмотренные основные характеристики сетей различны Сети получились совсем разные !!!!

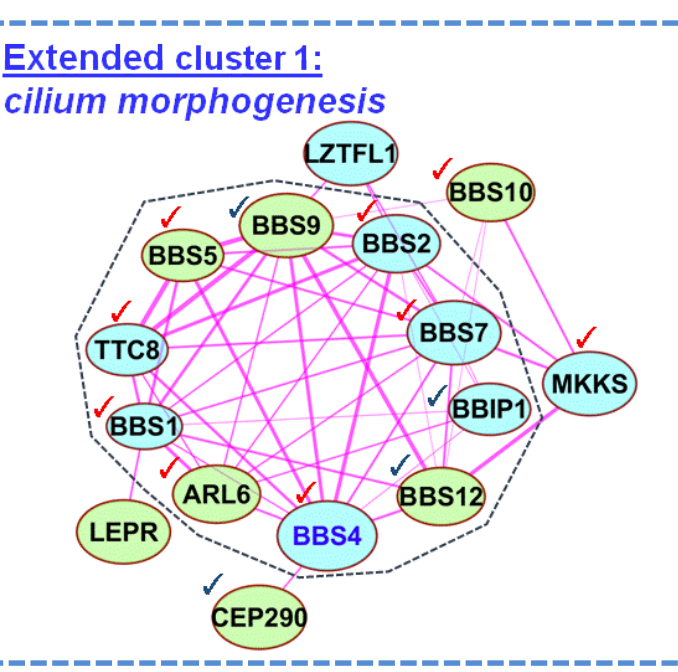
Анализ подсетей разных типов характеризует набор генов с разных сторон: Подсеть Homology содержит несколько несвязных подсетей



Анализ подсетей разных типов характеризует набор генов с разных сторон: Выявление кластеров в подсети Experimental (белок-белковые взаимодействия)



Биологическая функция белков из кластера 1



Гены , связанные с синдромом Барде — Бидля (Bardet-Biedl syndrome 1): BBS1, BBS7, BBS12, BBS4, BBS9, BBS2, ARL6 Кодируют структурные белки ресничек.

Внутриклеточный транспорт по микротрубочкам, участвуют развитии и во внутриклеточной передаче сигналов от рецепторов на мембране:

InsR - insulin receptor;

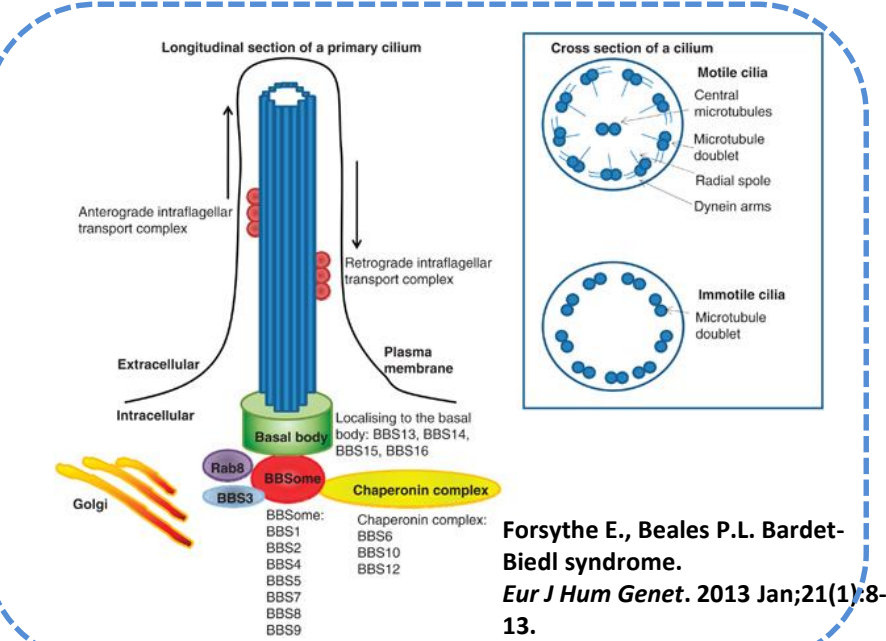
IGFR - insulin growth factor receptor;,

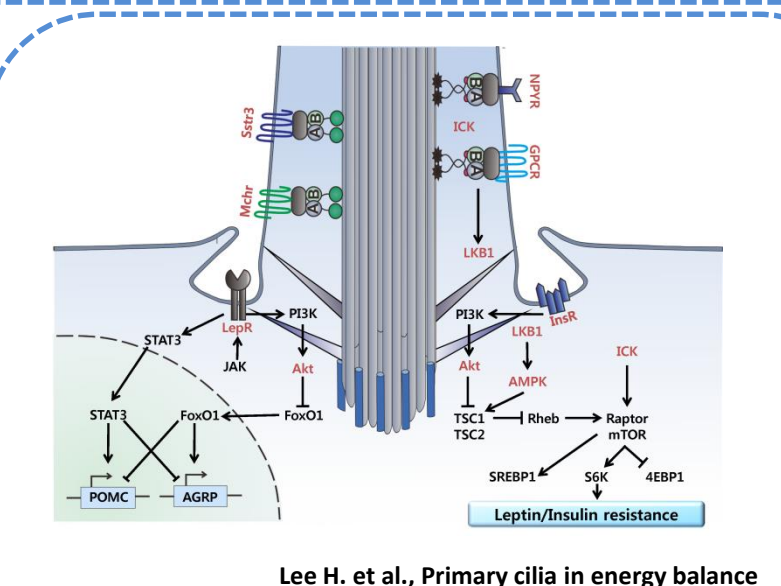
LepR - leptin receptor;

MCHR - melanin-concentrating hormone receptor;

NPYR - neuropeptide Y receptor

Активируют сигнальные пути (Hedgehog, Notch, Wnt, mTOR and PDGFRalpha)





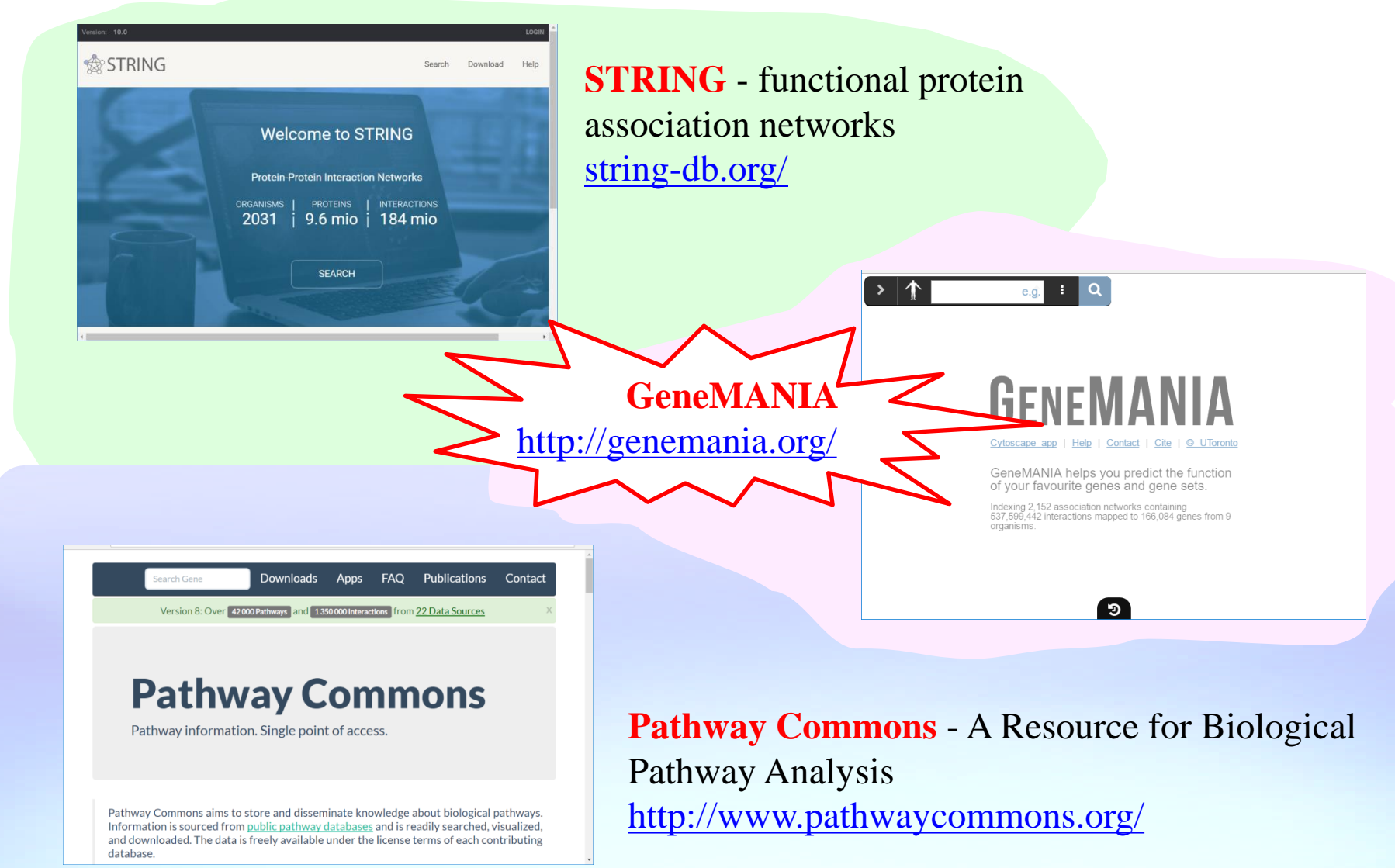
signaling and metabolic

disorder BMB Rep. 2015;48(12): 647-654

Ignatieva EV, et al., BMC Genet. 2016;17 (Suppl 3):158

Как строить сети взаимодействий между генами / белками ??

Интернет-доступные информационные компьютерные системы, позволяющие экстрагировать данные по связям различных типов между генами/белками



GeneMania

http://genemania.org/



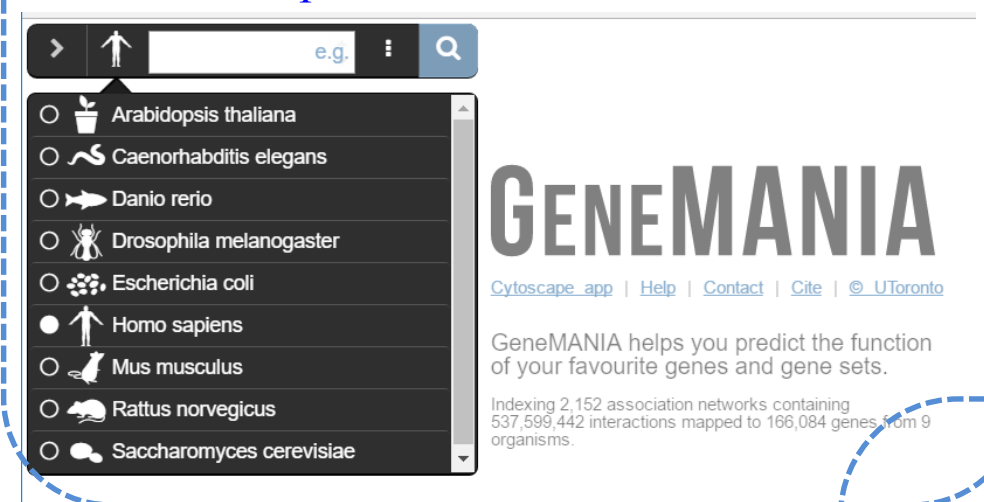
Ресурс, позволяющий определять функциональность генов и наборов генов. Имеет две реализации: Интернет-доступную, а также как плагин системы Cytoscape

Zuberi K, Franz M, Rodriguez H, Montojo J, Lopes CT, Bader GD, Morris Q. GeneMANIA prediction server 2013 update. Nucleic Acids Res. 2013 Jul;41(Web Server issue):W115-22.

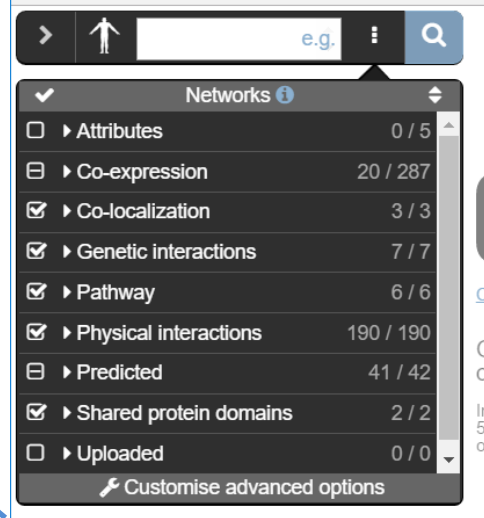
GeneMania

http://genemania.org/

Ресурс, позволяет работать с 9-ю видами организмов



А также выбирать (комбинировать) данные различных типов:



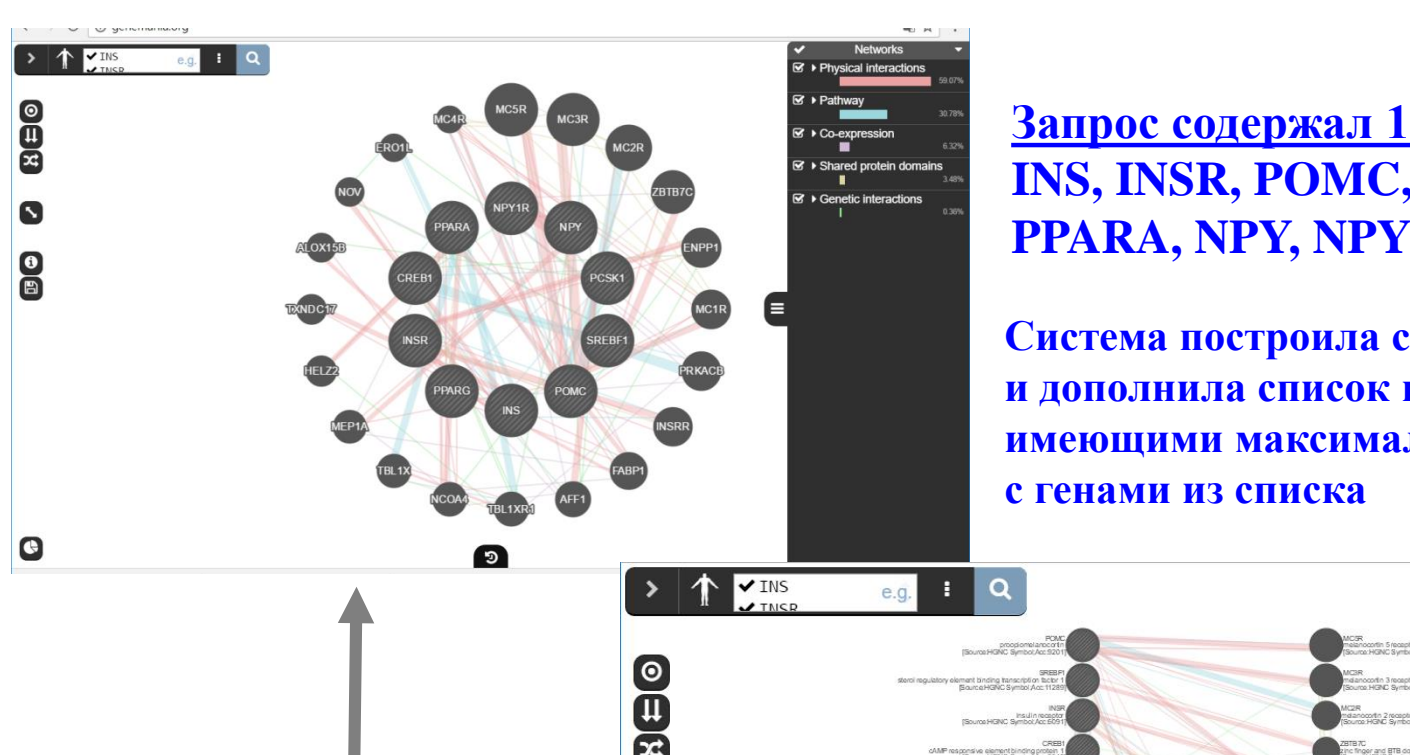
GENEMANIA

Cytoscape app | Help | Contact | Cite | © UToronto

GeneMANIA helps you predict the function of your favourite genes and gene sets.

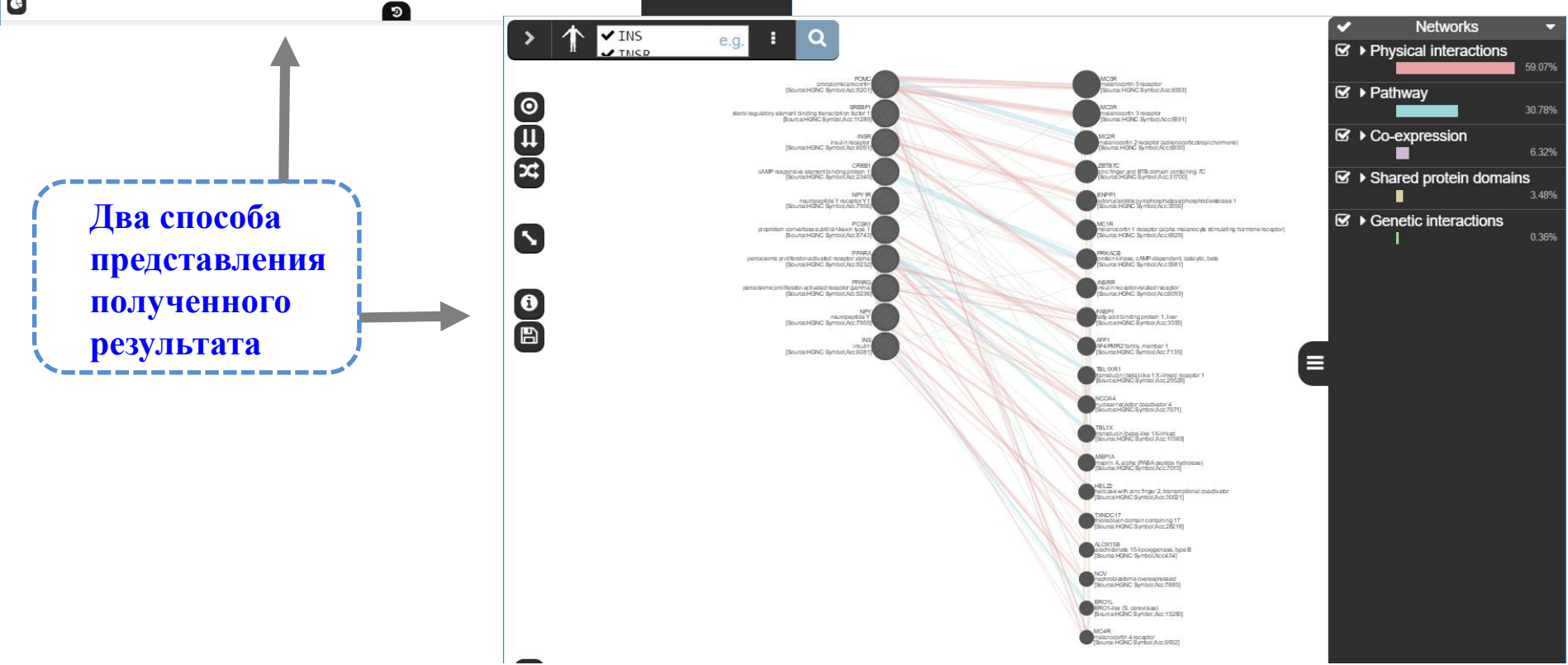
Indexing 2,152 association networks containing 537,599,442 interactions mapped to 166,084 genes from 9 organisms.

Результат тестового запроса к GeneMania



Запрос содержал 10 генов человека: INS, INSR, POMC, SREBF1, PPARG, PPARA, NPY, NPY1R, PCSK1, CREB1

Система построила связи между <u>10-ю генами</u> и дополнила список генов новыми генами, имеющими максимальное количество связей с генами из списка



Как строить и <u>анализировать</u> сети взаимодействий между генами / белками ??

Интернет-доступные информационные компьютерные системы, позволяющие экстрагировать данные по связям различных типов между генами/белками

STRING - functional protein

association networks string-db.org/







Pathway Commons

- A Resource for Biological Pathway Analysis http://www.pathwaycommons.org/



➤ Cytoscape - Network Data Integration, Analysis, and Visualization in a Box

Cytoscape компьютерная система, предназначенная для визуализации сетей межмолекулярных взаимодействий (http://www.cytoscape.org/)



Области использования:

Биология

Социология (Social Science)

Общий комплексный сетевой анализ (General Complex Network Analysis)

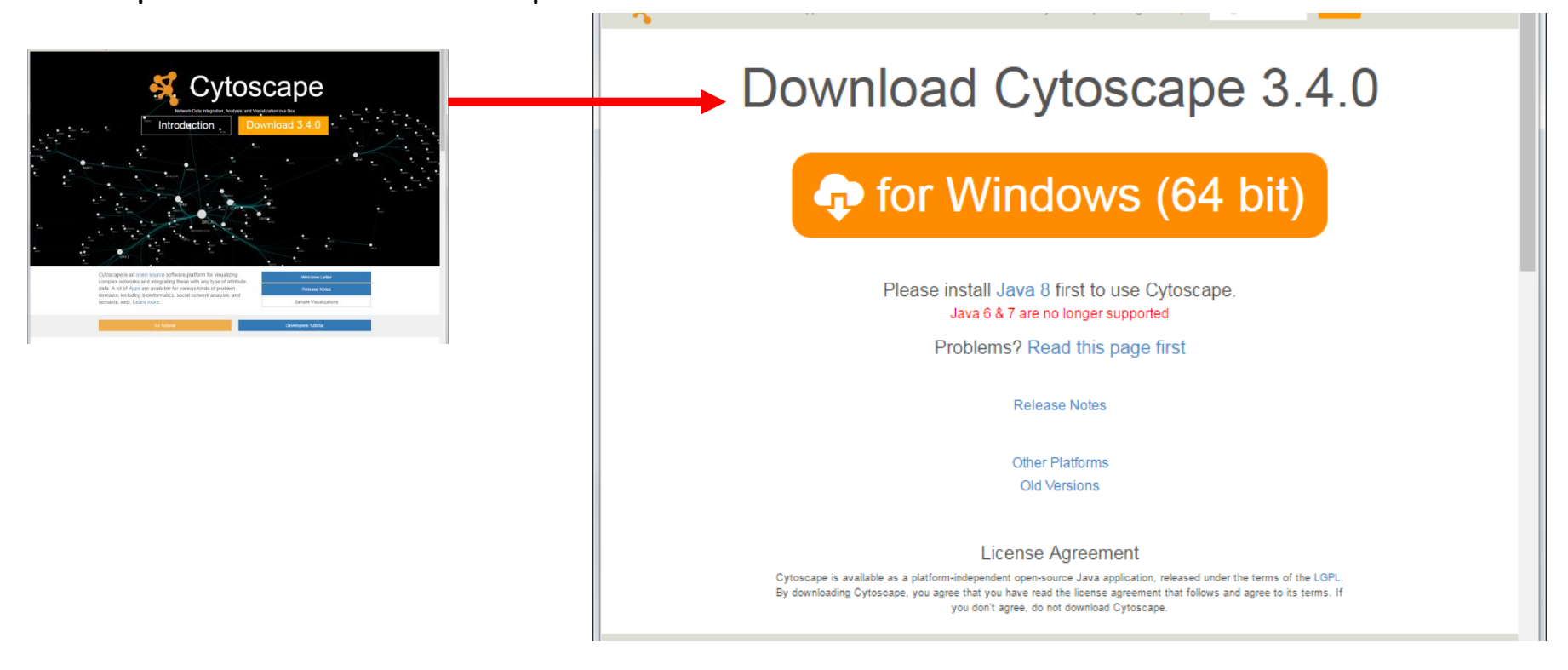
Franz M1, Lopes CT1, Huck G1, Dong Y1, Sumer O1, Bader GD1 Cytoscape.js: a graph theory library for visualisation and analysis. Bioinformatics. 2016 Jan 15;32(2):309-11.

Lopes CT1, Franz M, Kazi F, Donaldson SL, Morris Q, Bader GD.

Cytoscape Web: an interactive web-based network browser. Bioinformatics. 2010 Sep 15;26(18):2347-8.

*Cytoscape бесплатная к*омпьютерная система, которую можно скачать и установить

на персональном компьютере



Основные требования к компьютеру:

- 64-битная система
- Наличие Java 8

Franz M1, Lopes CT1, Huck G1, Dong Y1, Sumer O1, Bader GD1 Cytoscape.js: a graph theory library for visualisation and analysis. Bioinformatics. 2016 Jan 15;32(2):309-11.

Lopes CT1, Franz M, Kazi F, Donaldson SL, Morris Q, Bader GD.

Cytoscape Web: an interactive web-based network browser. Bioinformatics. 2010 Sep 15;26(18):2347-8.

Достоинства системы Cytoscape (http://www.cytoscape.org/)



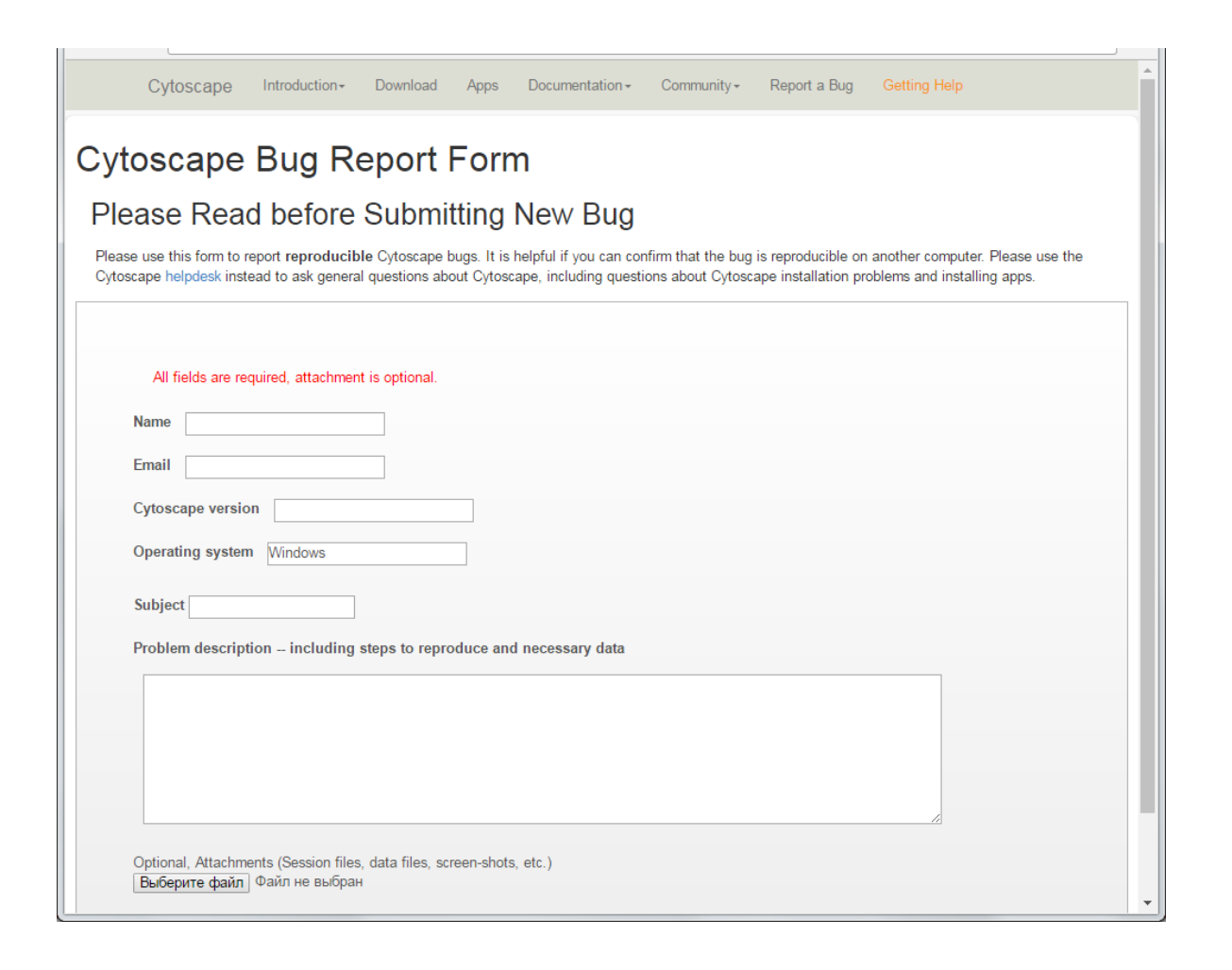
- **■***Cytoscape* компьютерная программа (система), (компьютерная платформа), (пакет программ) с *открытым исходным кодом*, это позволяет компьютерным специалистам всего мира участвовать в развитии *Cytoscape*.
- ■Функционирует отлаженная система отслеживания ошибок.
- ■Большое количество возможностей для анализа, поскольку отлажен механизм добавления новых функциональных модулей программы в виде плагинов (апплетов = Apps (formerly called Plugins)).
- Каждый плагин описан в отдельной публикации в рецензируемом журнале.
- Одна из самых цитируемых программ (компьютерных систем)
- Есть возможность учитывать при визуализации дополнительные данные многих различных типов (функциональная аннотация, информация об уровне экспрессии генов и пр.)

Franz M1, Lopes CT1, Huck G1, Dong Y1, Sumer O1, Bader GD1 Cytoscape.js: a graph theory library for visualisation and analysis. Bioinformatics. 2016 Jan 15;32(2):309-11.

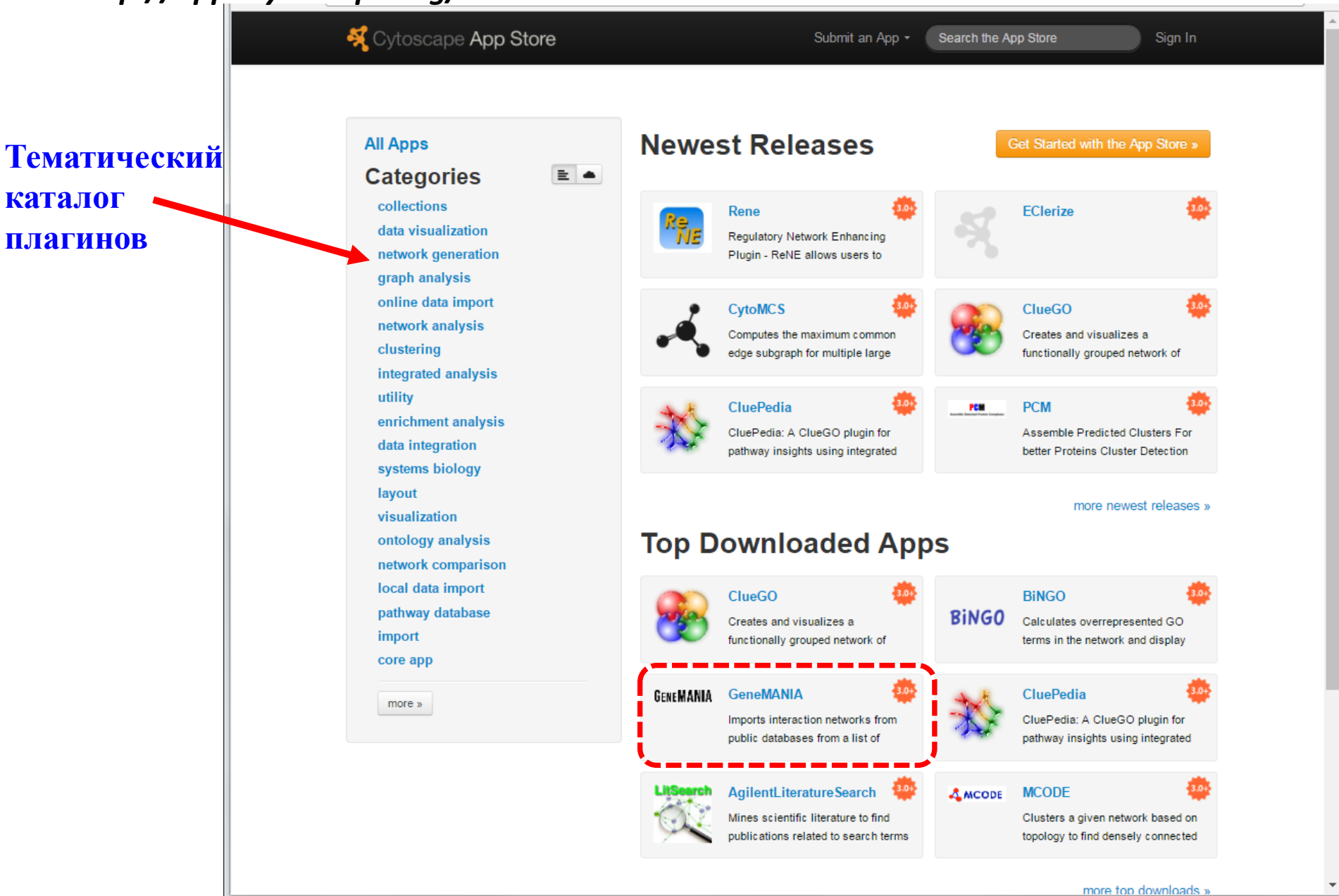
Lopes CT1, Franz M, Kazi F, Donaldson SL, Morris Q, Bader GD.

Cytoscape Web: an interactive web-based network browser. Bioinformatics. 2010 Sep 15;26(18):2347-8.

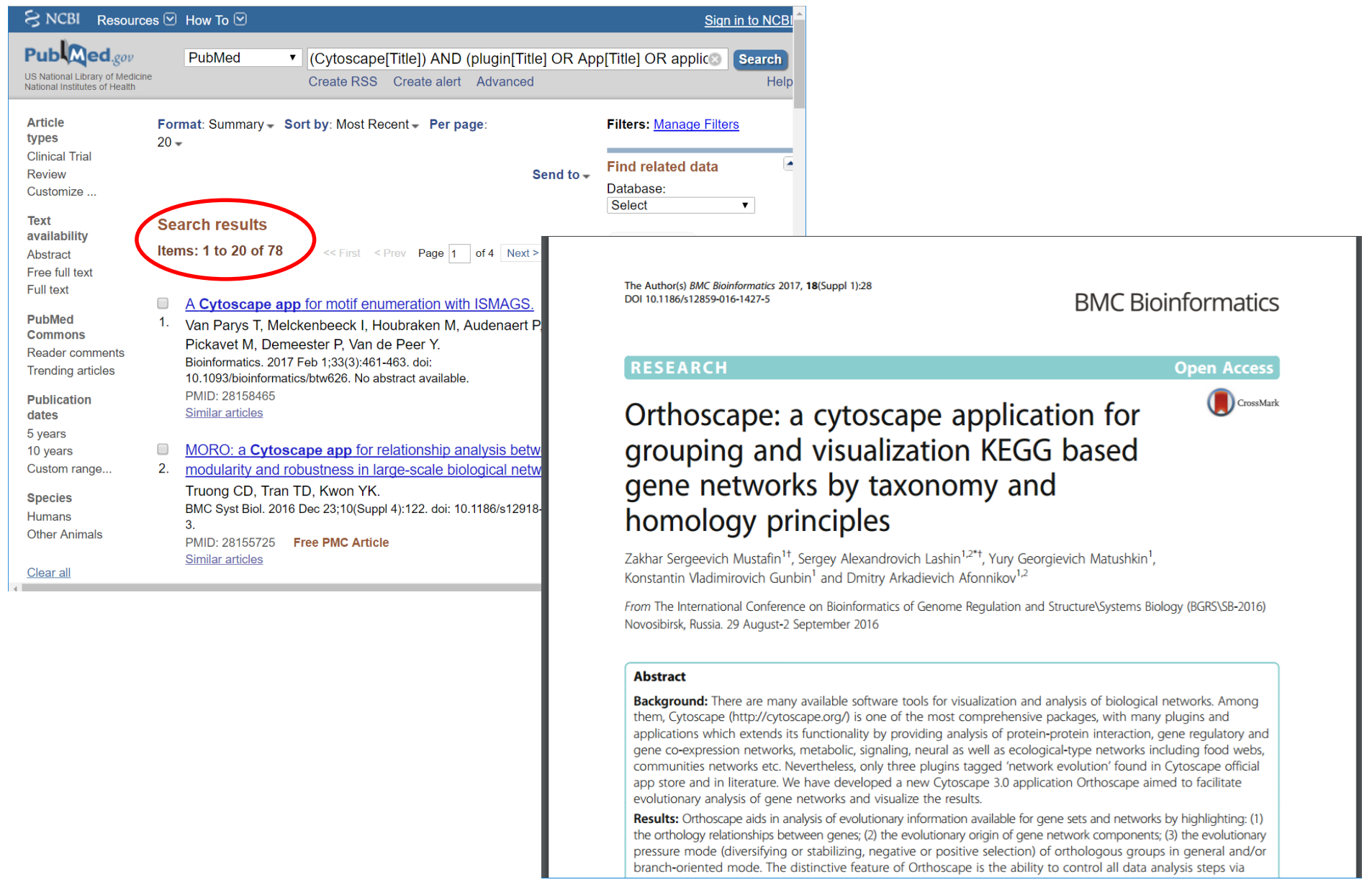
Cytoscape — функционирует отлаженная система отслеживания ошибок (багов) программы http://chianti.ucsd.edu/cyto_web/bugreport/bugreport.php



Cytoscape App Store – сайт, интегрирующий все плагины (апплеты) http://apps.cytoscape.org/



Плагины Cytoscape получают путевку в жизнь в форме публикации в рецензируемом журнале.



Возможности Cytoscape

В области молекулярной биологии, системной биологии, геномики и протеомики: Принимать (загружать) данные о молекулярным и генетическим взаимодействиям в стандартных форматах:

Simple interaction file (SIF or .sif format)

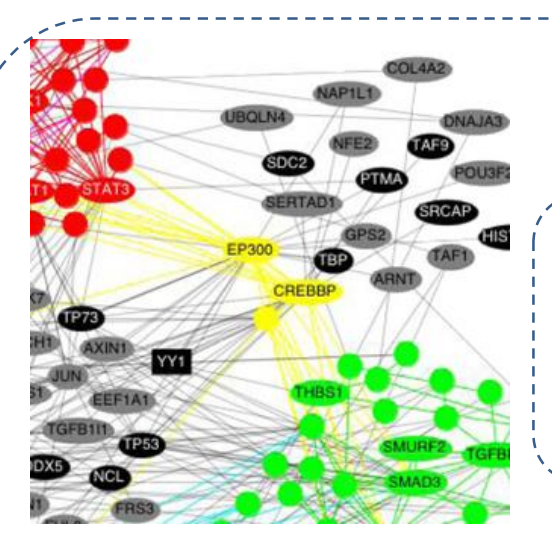
Nested network format (NNF or .nnf format)

Graph Markup Language (GML or .gml format)

XGMML (extensible graph markup and modelling language).

SBML, BioPAX, PSI-MI Level 1 and 2.5, GraphML, Delimited text, Excel Workbook (.xls, .xlsx)

Интегрировать данные о взаимодействиях с функциональной аннотацией объектов и связей



Условные обозначения

Толщина линии соответствует уровню достоверности белокбелкового взаимодействия Jak/STAT

Jak/STAT and TGFb

TGFb

Белок вируса HCV

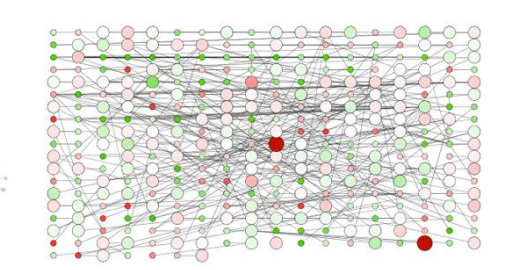
Фрагмент диаграммы, отображающей белок-белковые взаимодействия между белками вируса гепатита С и белками человека

B de Chassey et al. Hepatitis C virus infection protein network.// Molecular Systems Biology (2008) 4, 230.

Возможности Cytoscape (продолжение)

В области молекулярной биологии, системной биологии, геномики и протеомики:

Визуализация информации в различных режимах





Grid Layout

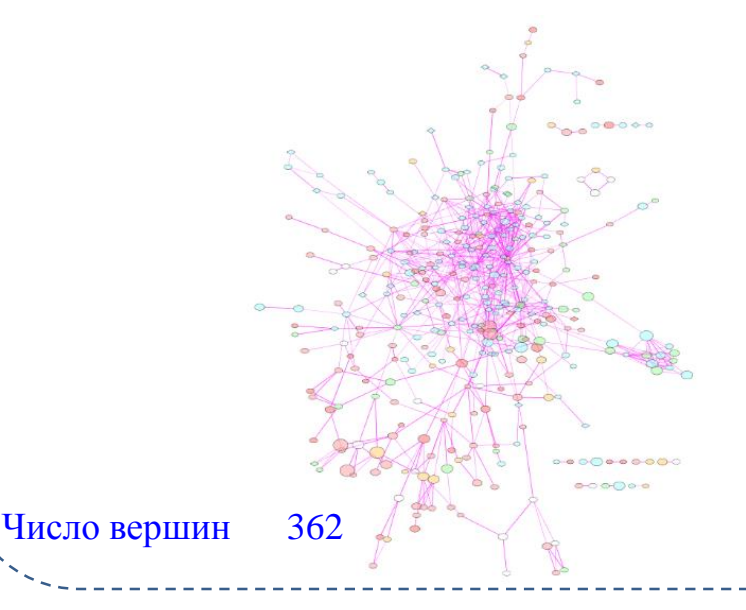


Circular Layout

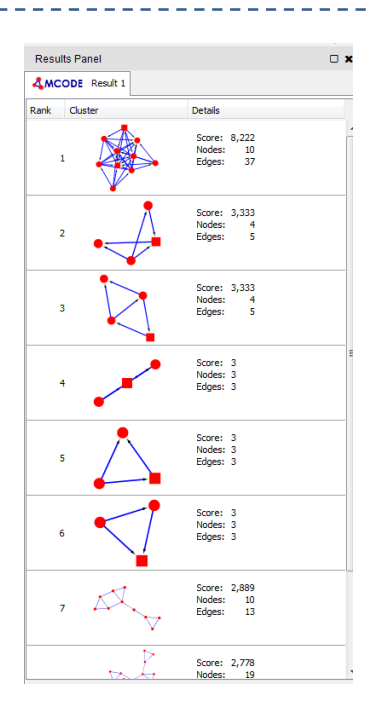


GroupAttributesLayout

Анализировать и моделировать на основе плагинов



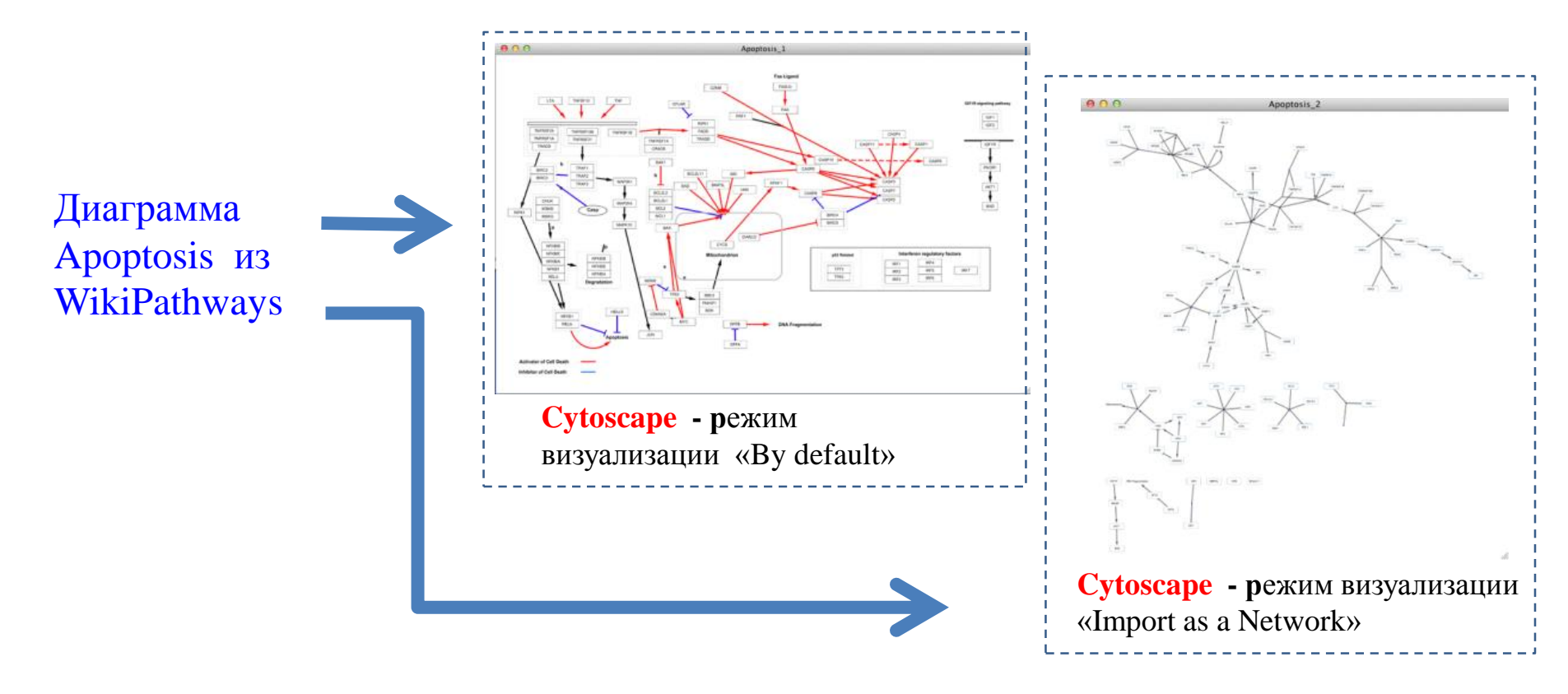
Кластеризация с помощью программы MCODE (плагин Cytoscape)



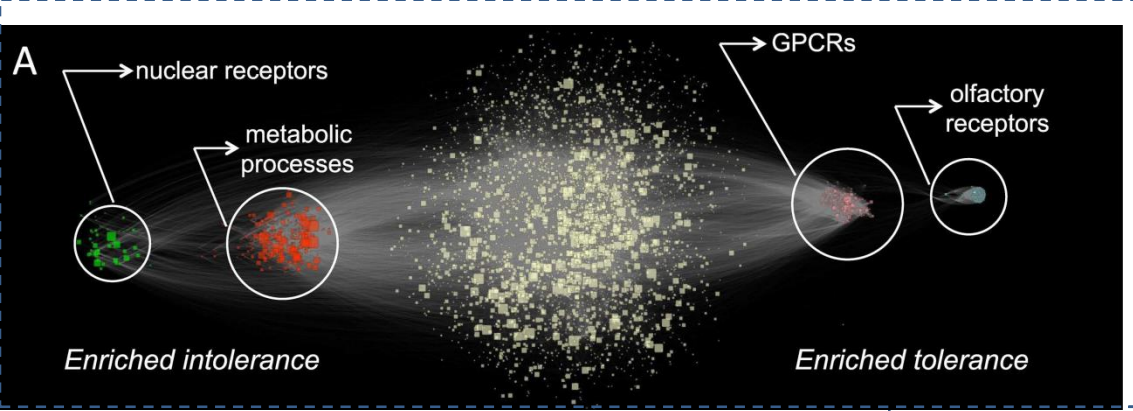
Возможности Cytoscape (продолжение)

В области молекулярной биологии, системной биологии, геномики и протеомики:

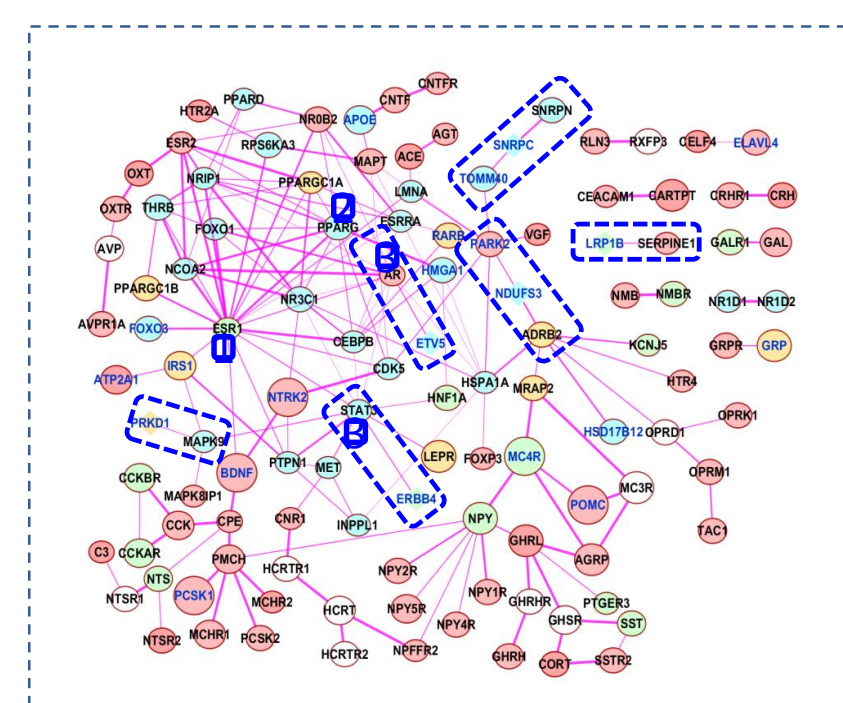
Визуализировать и анализировать данные о генных сетях человека (таких как WikiPathways, Reactome, KEGG).



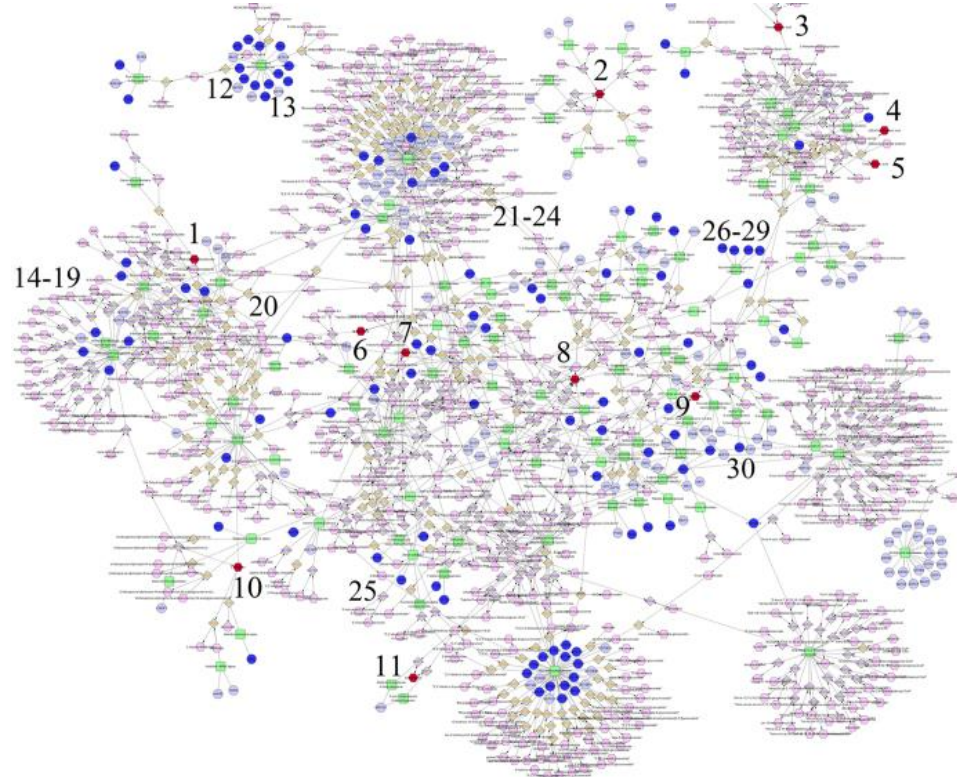
Примеры визуализации данных с помощью Cytoscape



Rackham OJ, Shihab HA, Johnson MR, Petretto E. EvoTol: a protein-sequence based evolutionary intolerance framework for disease-gene prioritization. Nucleic Acids Res. 2015;43(5):e33.



Ignatieva EV, Afonnikov DA, Saik OV, Rogaev EI, Kolchanov NA. A compendium of human genes regulating feeding behavior and body weight, its functional characterization and identification of GWAS genes involved in brain-specific PPI network. BMC Genet. 2016;17(Suppl 3):158.



A Comprehensive Analysis of Metabolomics and Transcriptomics in Cervical Cancer. Yang et al, *Sci Rep. 2017; 7: 43353*

Возможности Cytoscape (продолжение)



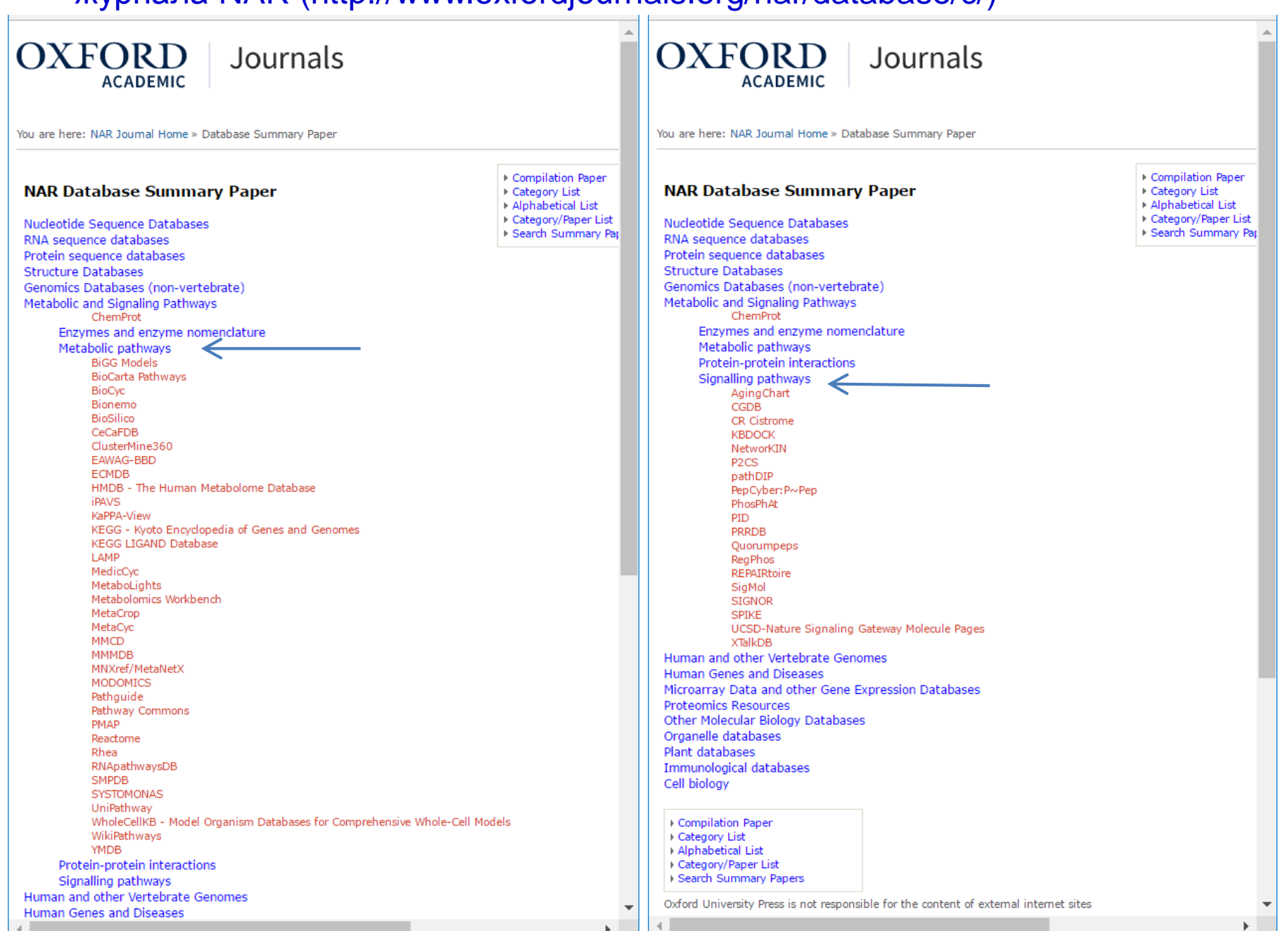
Общий комплексный сетевой анализ

- •Может применяться в любых отраслях знаний, где используется сетевое представление данных.
- •Подсчет статистики по различным характеристикам сетей
- •Поиск кратчайшего пути между вершинами
- •Выявление кластеров с использованием нескольких алгоритмов
- •Может быть использован совместно с другими популярными программами для анализа графов (igraph, Pajek, or GraphViz)

Часть 2.

Представление генных сетей в базах данных.

Сведения о базах данных по метаболическим и сигнальным на Вэб-сайте журнала NAR (http://www.oxfordjournals.org/nar/database/c/)



В лекции № 4 будет дана характеристика баз данных по генным сетям, а также по метаболическим и сигнальным путям:

- 1) GeneNet ИЦиГ СО РАН , г.Новосибирск http://wwwmgs.bionet.nsc.ru/mgs/gnw/genenet/
- 2) KEGG Kyoto encyclopedia of genes and genomes: integrated suite of databases on genes, proteins, and metabolic pathways http://www.genome.ad.jp/kegg
- 3) MetaCyc Metabolic Database http://metacyc.org/
 - + BioCyc (Database Collection) https://biocyc.org/
- 4) Reactome http://www.reactome.org/
- 5) BioCarta https://cgap.nci.nih.gov/Pathways/BioCarta Pathways
- 6) WikiPathways http://www.wikipathways.org/index.php/WikiPathways
- 7) Signor http://signor.uniroma2.it/
- 8) SPIKE http://www.cs.tau.ac.il/~spike/

GeneNet: публикация в Nucleic Acids Research 2005

Nucleic Acids Research, 2005, Vol. 33, Database issue D425-D427 doi:10.1093/nar/gki077

GeneNet in 2005

E. A. Ananko*, N. L. Podkolodny, I. L. Stepanenko, O. A. Podkolodnaya,

D. A. Rasskazov, D. S. Miginsky, V. A. Likhoshvai, A. V. Ratushny,

N. N. Podkolodnaya and N. A. Kolchanov

Institute of Cytology and Genetics, Siberian Branch of the Russian Academy of Sciences, Lavrentiev Avenue 10, Novosibirsk 630090, Russia

Received September 15, 2004; Revised and Accepted October 8, 2004

ABSTRACT

The GeneNet system is designed for collection and analysis of the data on gene and metabolic networks. of the manifold data on the expression and changes in the concentration of macromolecular interactions, enzymatic of automal agents signal topographica

GeneNet in 2005

- E. A. Ananko*, N. L. Podkolodny, I. L. Stepanenko, O. A. Podkolodnaya, D. A. Rasskazov, D. S. Miginsky, V. A. Likhoshvai, A. V. Ratushny,
- N. N. Podkolodnava and N. A. Kolchanov

Institute of Cytology and Genetics, Siberian Branch of the Russian Academy of Science: Lavrentiev Avenue 10, Novosibirsk 630090, Russia

Renaised Sentember 15, 2004: Revised and Amented Ontober 8, 2004

ABSTRACT

ASSTRACT
The Genette system is designed for collection and analysis of the data on gene and metabolic networks, signal transduction pathways and kinetic characteristics of elementary processes. In the past 2 years, the control of the control of the carbon part of the structure of the protein complexes and the interactions between the units are increased; (iii) two tables with kinetic constants and more detailed descriptions of certain reactions were detailed descriptions of certain reactions were supplemented. The current SRS release of the adoec; and (iv) amoule for kinetic modeling was supplemented. The current SRS release of the GeneNet database contains 37 graphical maps of gene networks, as well as descriptions of 1766 pro-teins, 1006 genes, 241 small molecules and 3254 rela-tionships between gene network units, and 552 kinetic constants. Information distributed between 16 interconstants. Information distributed between 16 internal information distributed between 16 internal publications. SRS release of the Genebic distalase, the graphical viewer and the modeling section are available at http://www.mga.bionet.nsc.rumgu/generoecus.

INTRODUCTION

Systematic arrangement and analysis of a variety of databaset a challenge. The Genebic systematic remaining the control of the control of

Systematic arrangement and analysis of a variety of a top of the state of the state

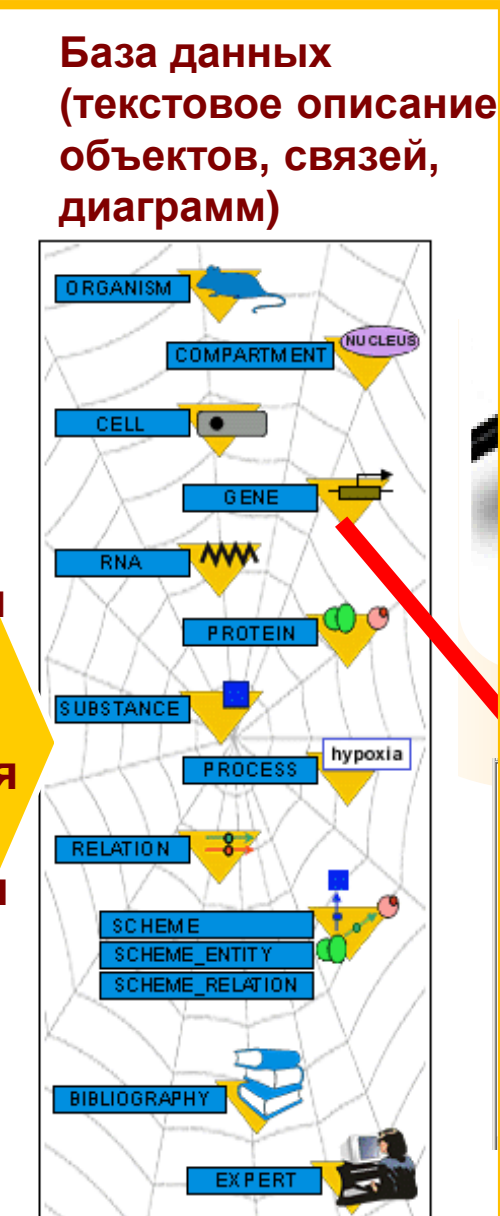
of the munifold ants on the expression regulation of guest and entanges in the concentration of baller motion. As and entanges in the concentration of baller motion, the macromolecular interactions, enzymatic reactions, the effects of external agents, signal transduction pulsavys, to name for The GeneNet diagrams represent mainly the universal particular procession incultaryote, (5). The GeneNet's task is not to give a detailed description of protein-posterin interac-front the other established databases. The intention is to describe, in more detail, the established between the gross (7). The information from the GeneNet database is further used in the developing of kinetic computer models of various belonged apprecise (5).

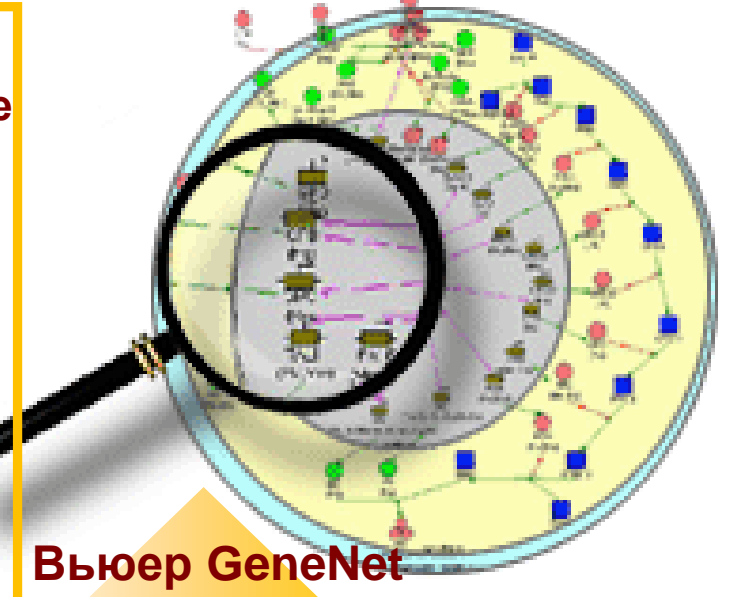
The GeneNet system consists of the following functional

Технология GeneNet: основные модули, которыми пользуются разработчики базы

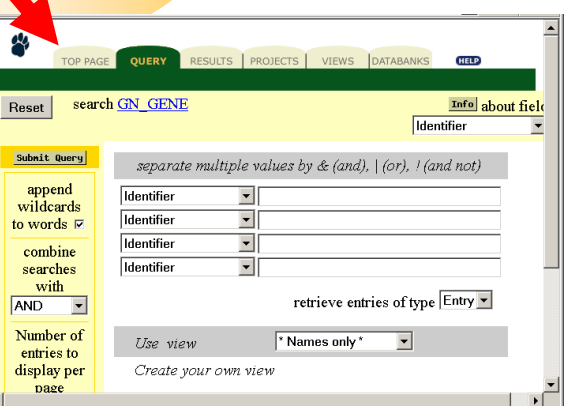


Графический редактор GeneEd для внесения новой информации





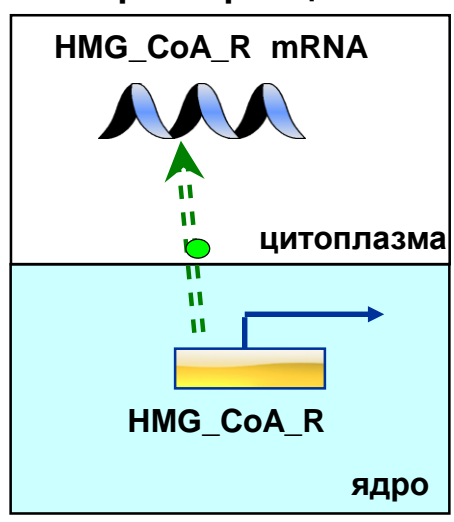
= редактор GeneEd, у которого отключена опция редактирования



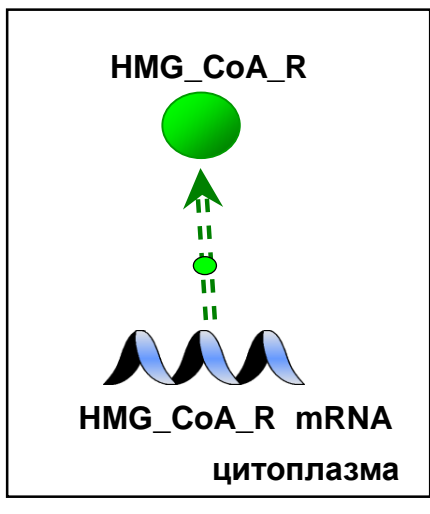
Доступ к информации через поисковую систему SRS

GeneNet: примеры графического изображения элементарных процессов (повторение)

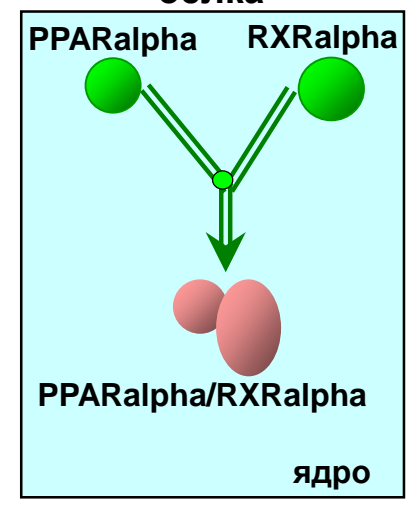
Транскрипция



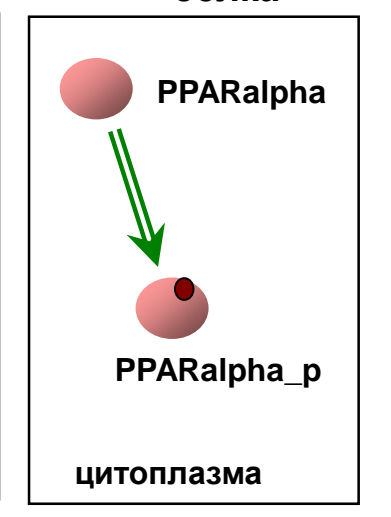
Трансляция



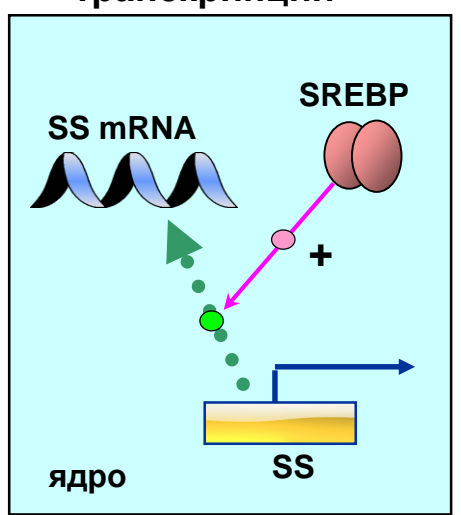
Мультимеризация белка



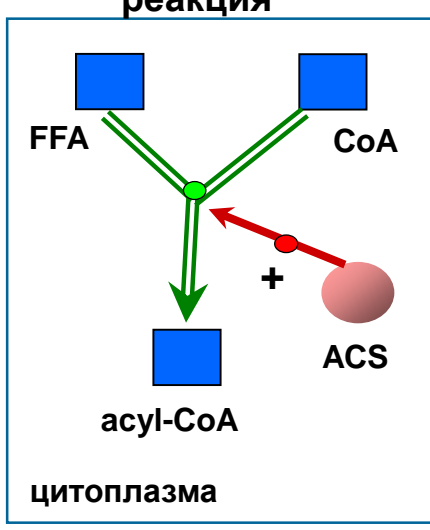
Фосфорилирование белка



Активация транскрипции



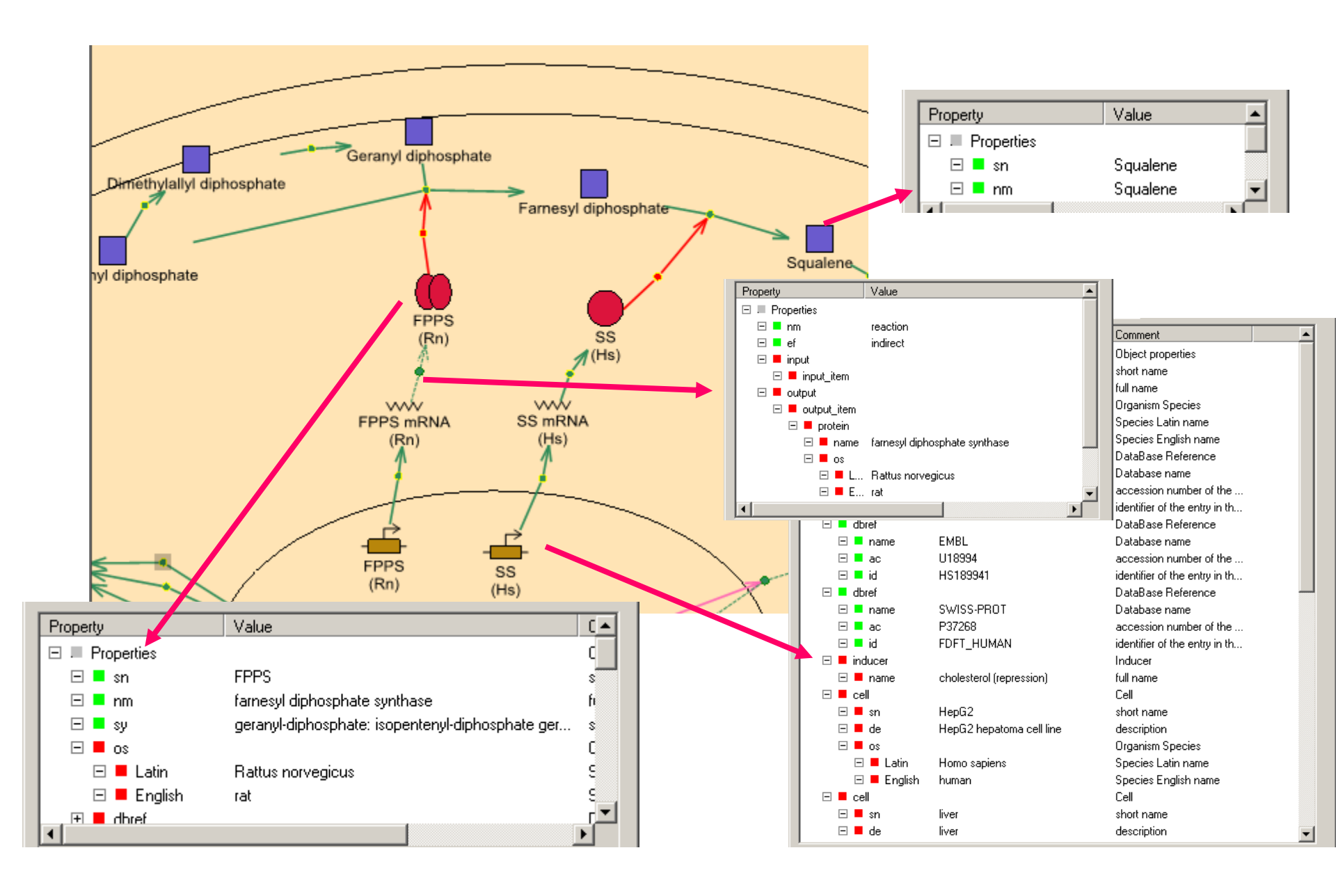
Ферментативная реакция



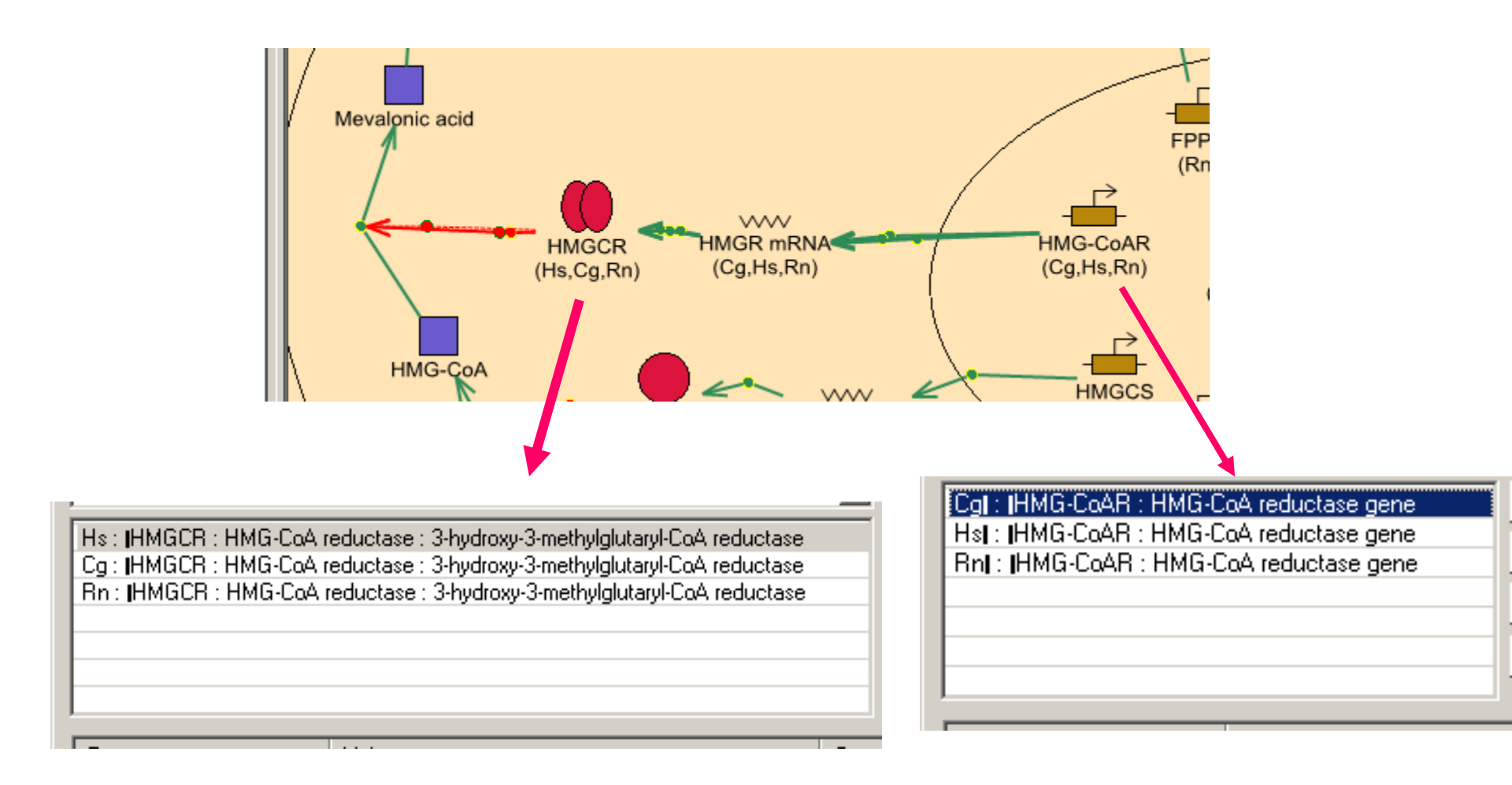




БАЗА GeneNet (ИЦиГ СО РАН): представление данных в графическом редакторе



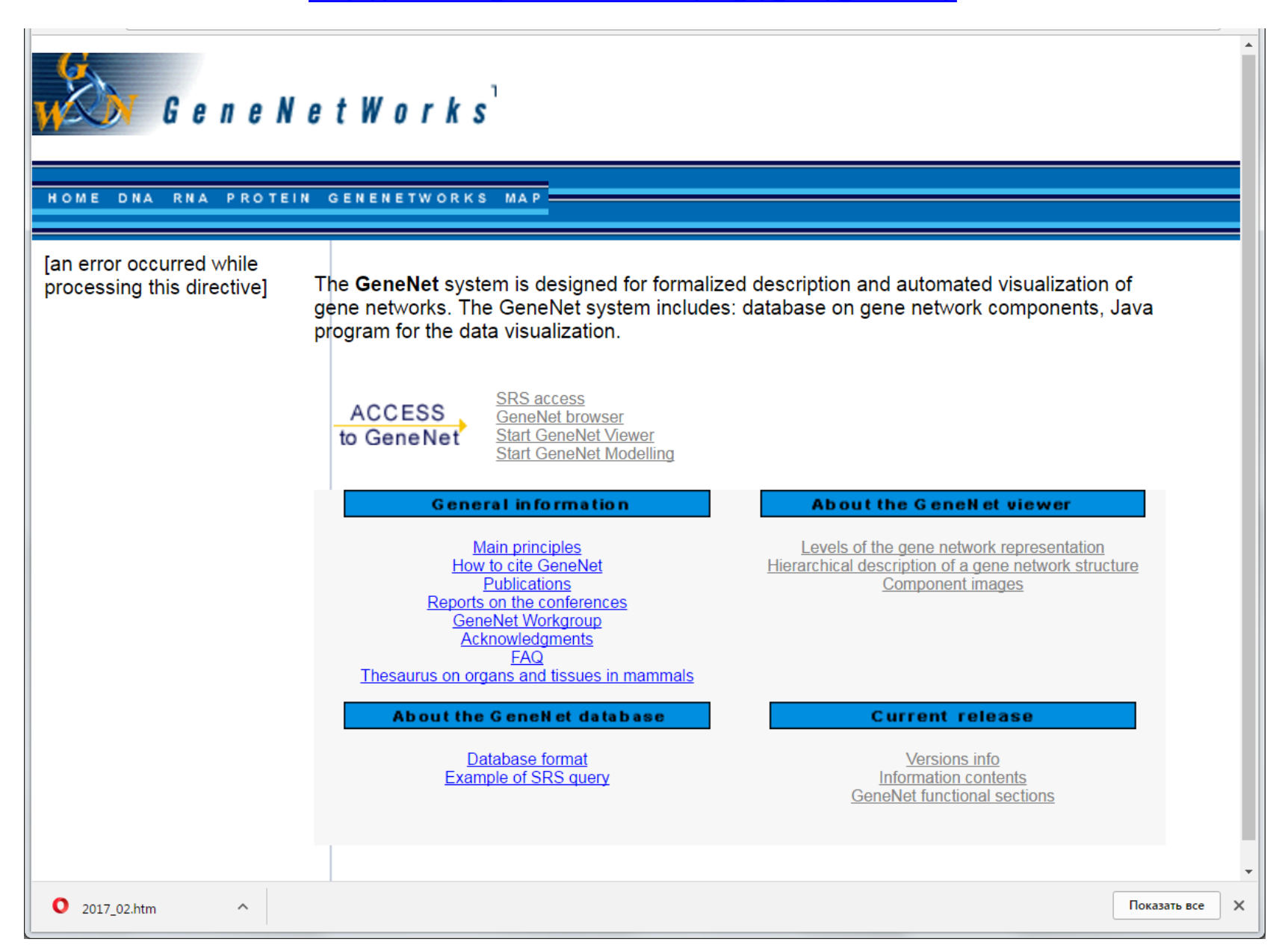
БАЗА GeneNet (ИЦиГ СО РАН) представление данных об объектах разных видов в графическом редакторе



Группа одноименных (гомологичных) объектов разных видов (гены, мРНК, белки) представлены на диаграмме в базе GeneNet одним образом. Имеется возможность просмотреть текстовую информацию о каждом объекте

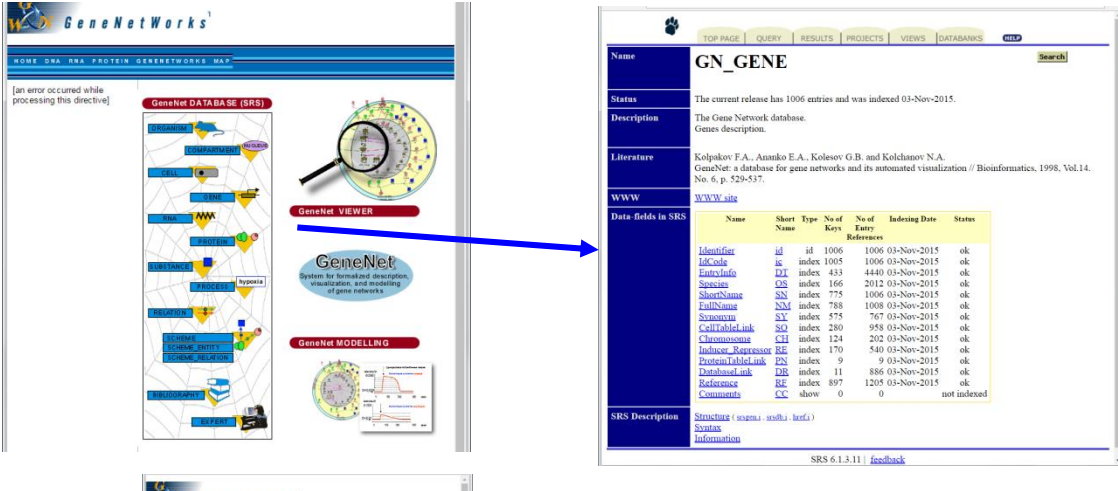
Интернет-доступная версия GeneNet

http://wwwmgs.bionet.nsc.ru/mgs/gnw/genenet/



Интернет-доступная версия GeneNet: основные модули

База GeneNet, доступная для поиска через систему SRS

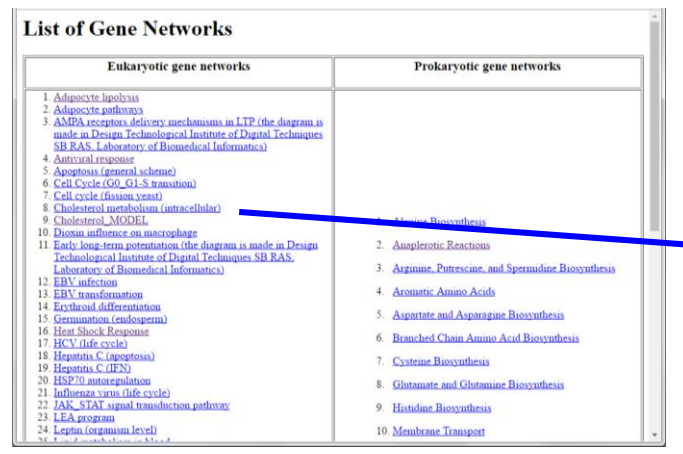


Браузер базы GeneNet – список видов организмов и соответствующих им генов





Список диаграмм



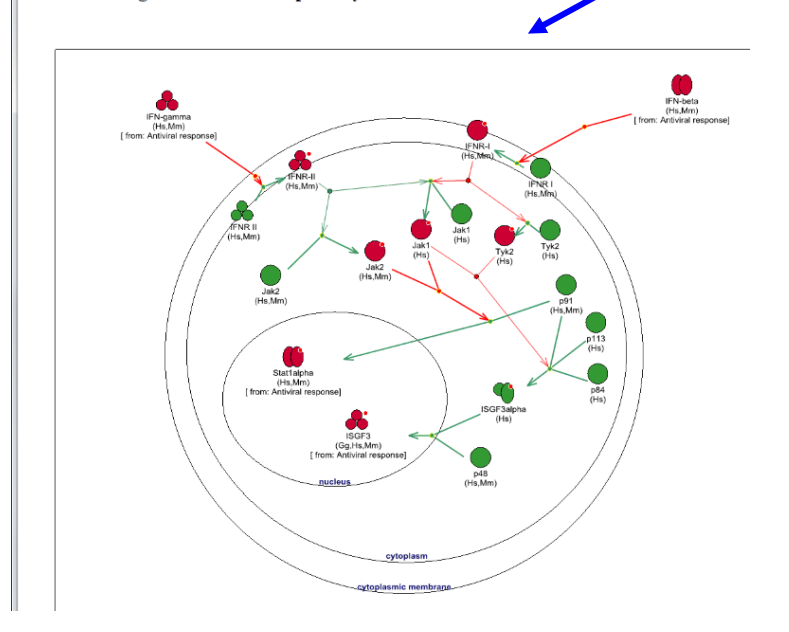
GeneNet: диаграмма, описывающая противовирусный ответ

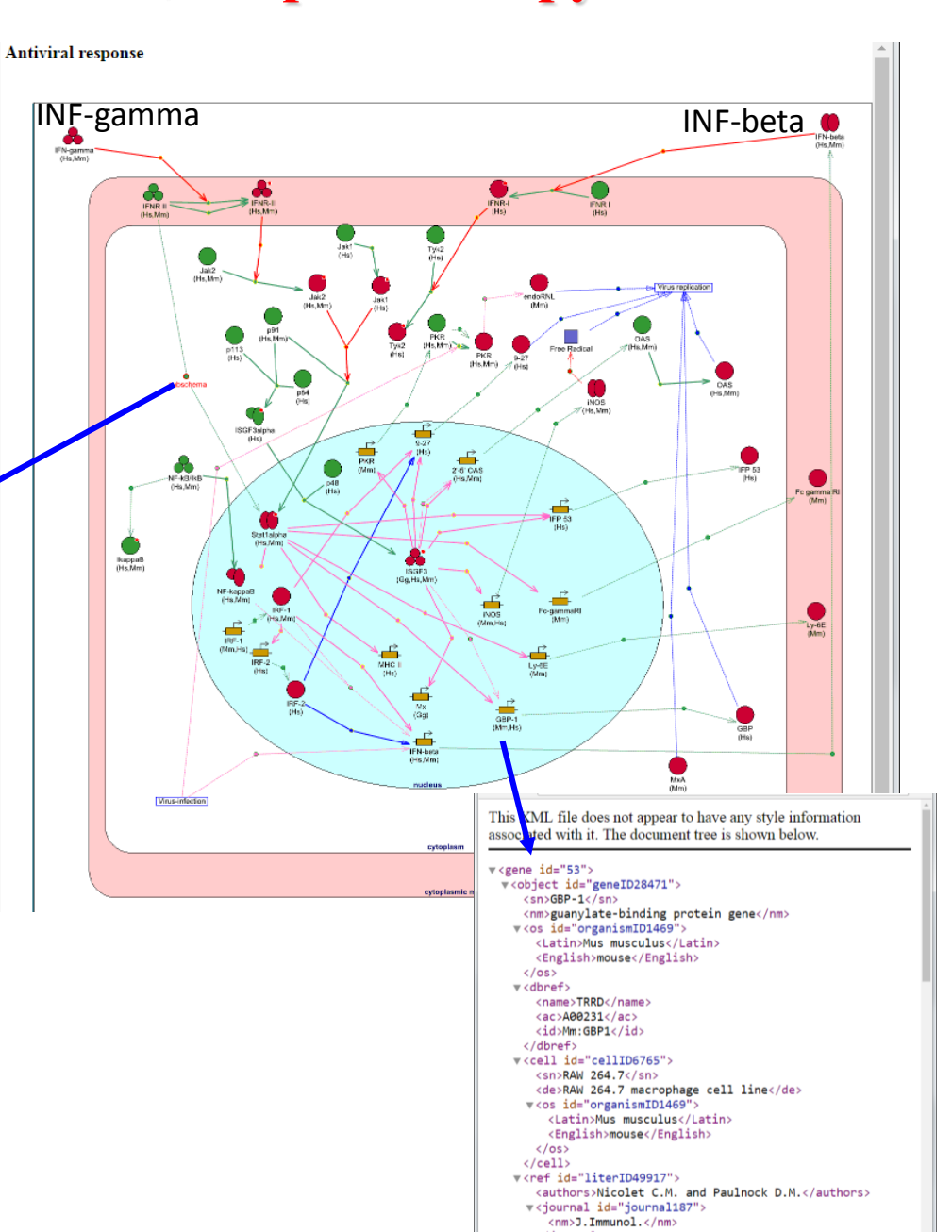


Гиперссылка на подсхему

JAK/STAT сигнальный путь

JAK/STAT signal transduction pahway





Информационное содержание интернет-доступной версии GeneNet



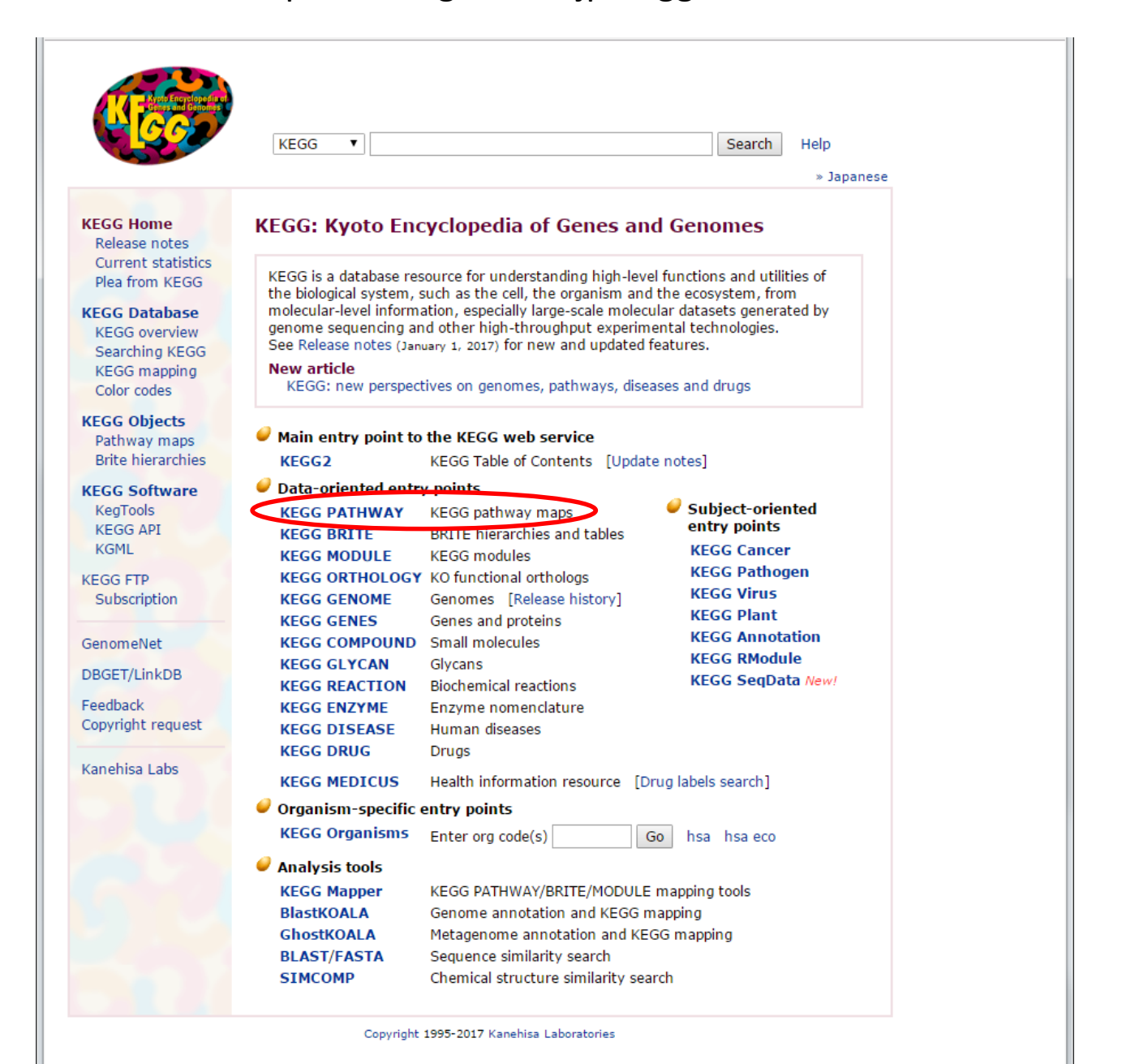
39 диаграмм 1006 генов 1766 белков 3634 связей 93 вида организмов

Тематические секции

Cell cycle
Lipid metabolism
Endocrine regulation
Erythrocyte maturation
Immune system
Plant genes networks
Stress response
Redox-regulation

KEGG: Kyoto Encyclopedia of Genes and Genomes

http://www.genome.jp/kegg/





KEGG PATHWAY Database

Wiring diagrams of molecular interactions, reactions, and relations

Menu PA	THWAY	BRITE	MODULE	ко	GENOME	GENES	LIGAND	DISE	ASE	DRUG	DBGET
Select p map	orefix Organ		Enter keyword	ls				Go	Help)	
							[New par	thway n	naps	Update	history]

Pathway Maps

KEGG PATHWAY is a collection of manually drawn pathway maps representing our knowledge on the molecular interaction and reaction networks for:

- 1. Metabolism
 - Global/overview Carbohydrate Energy Lipid Nucleotide Amino acid Other amino Glycan Cofactor/vitamin Terpenoid/PK Other secondary metabolite Xenobiotics Chemical structure
- 2. Genetic Information Processing
- 3. Environmental Information Processing
- 4. Cellular Processes
- 5. Organismal Systems
- 6. Human Diseases

and also on the structure relationships (KEGG drug structure maps) in:

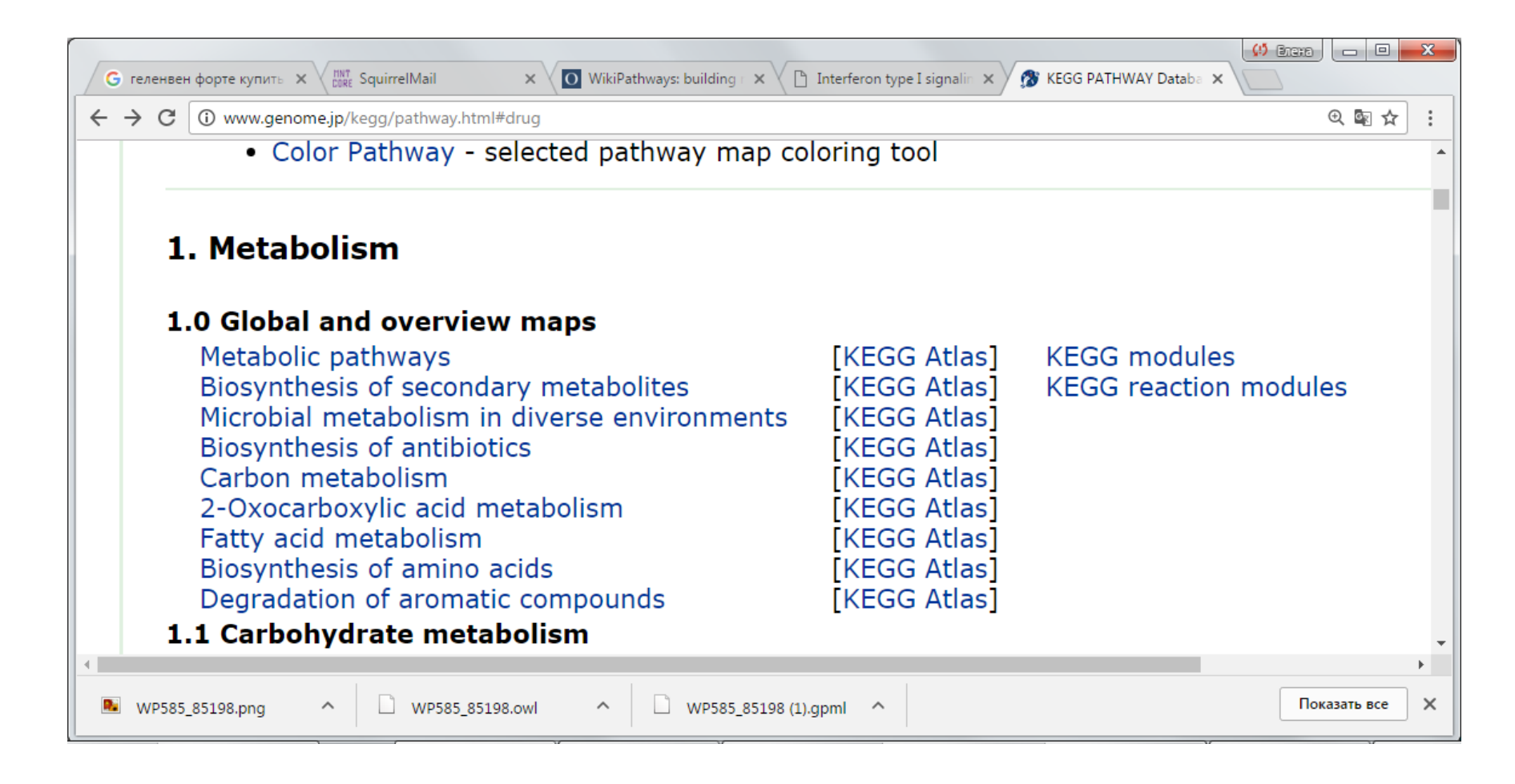
7. Drug Development

Pathway Mapping

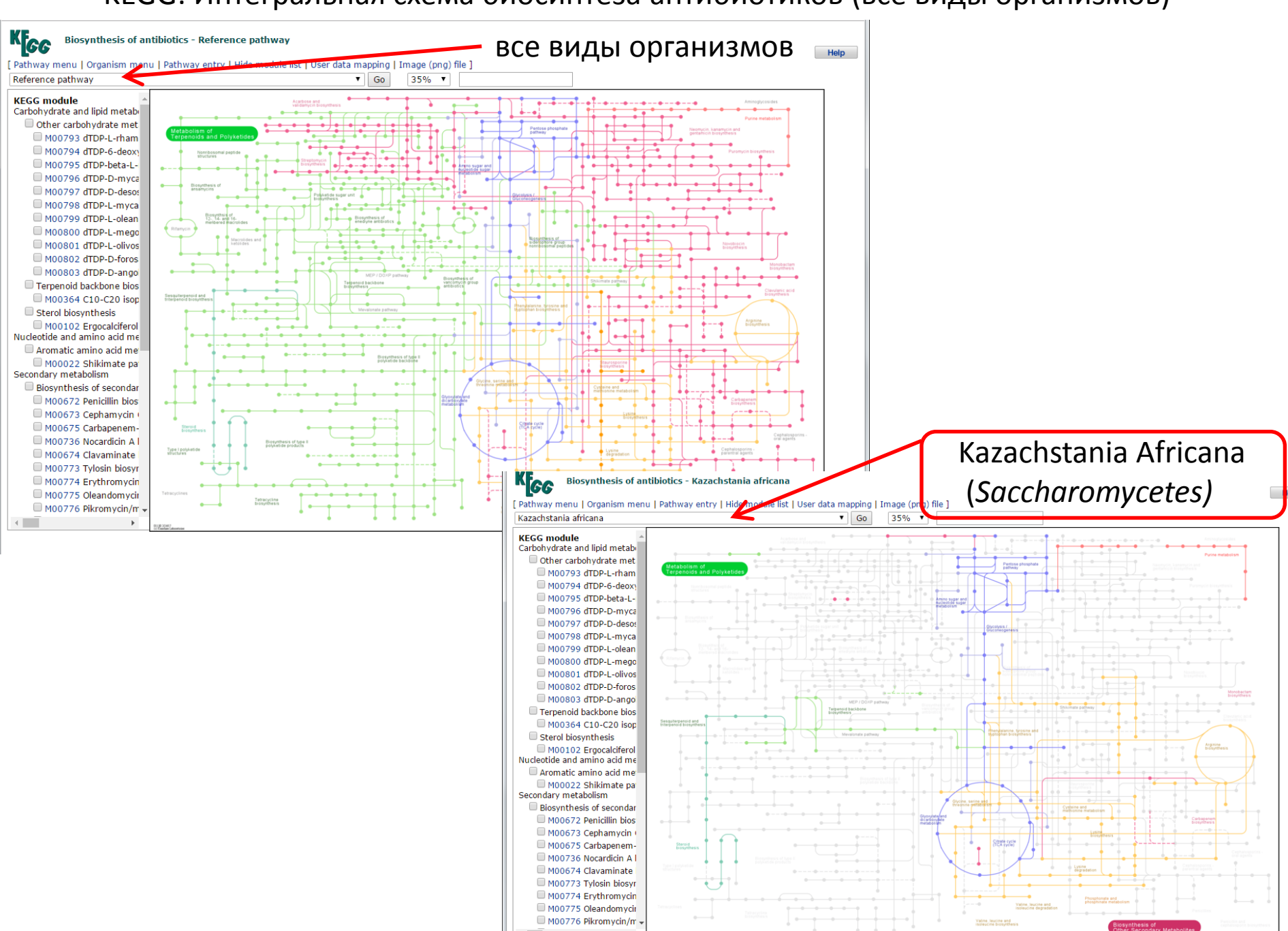
KEGG PATHWAY mapping is the process to map molecular datasets, especially large-scale datasets in genomics, transcriptomics, proteomics, and metabolomics, to the KEGG pathway maps for biological interpretaion of higher-level systemic functions.

- · Search Pathway basic pathway mapping tool
- Search&Color Pathway advanced pathway mapping tool
- · Color Pathway selected pathway map coloring tool

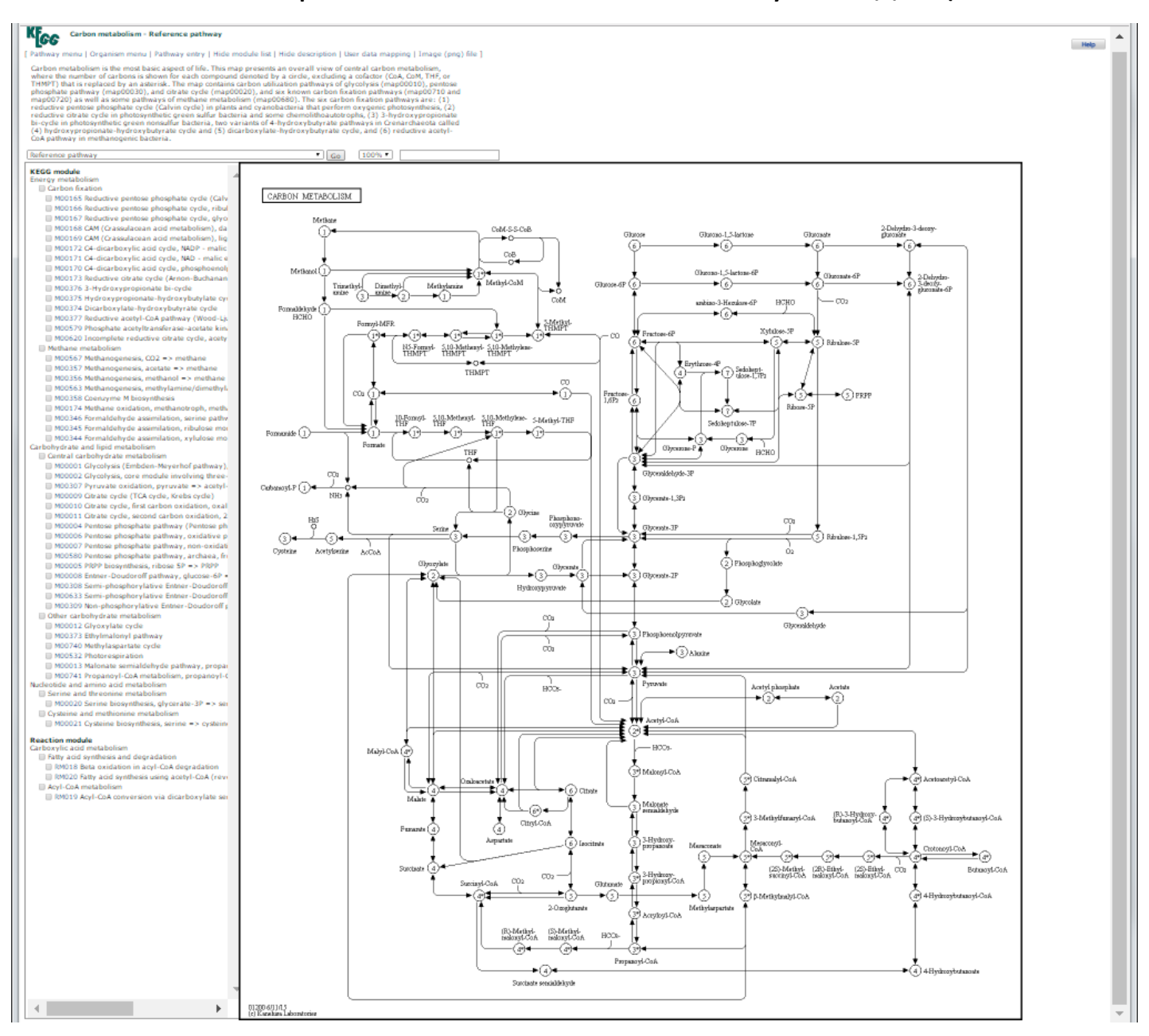
KEGG pathway: раздел, содержащий интегральные схемы (глобальные карты) метаболизма:



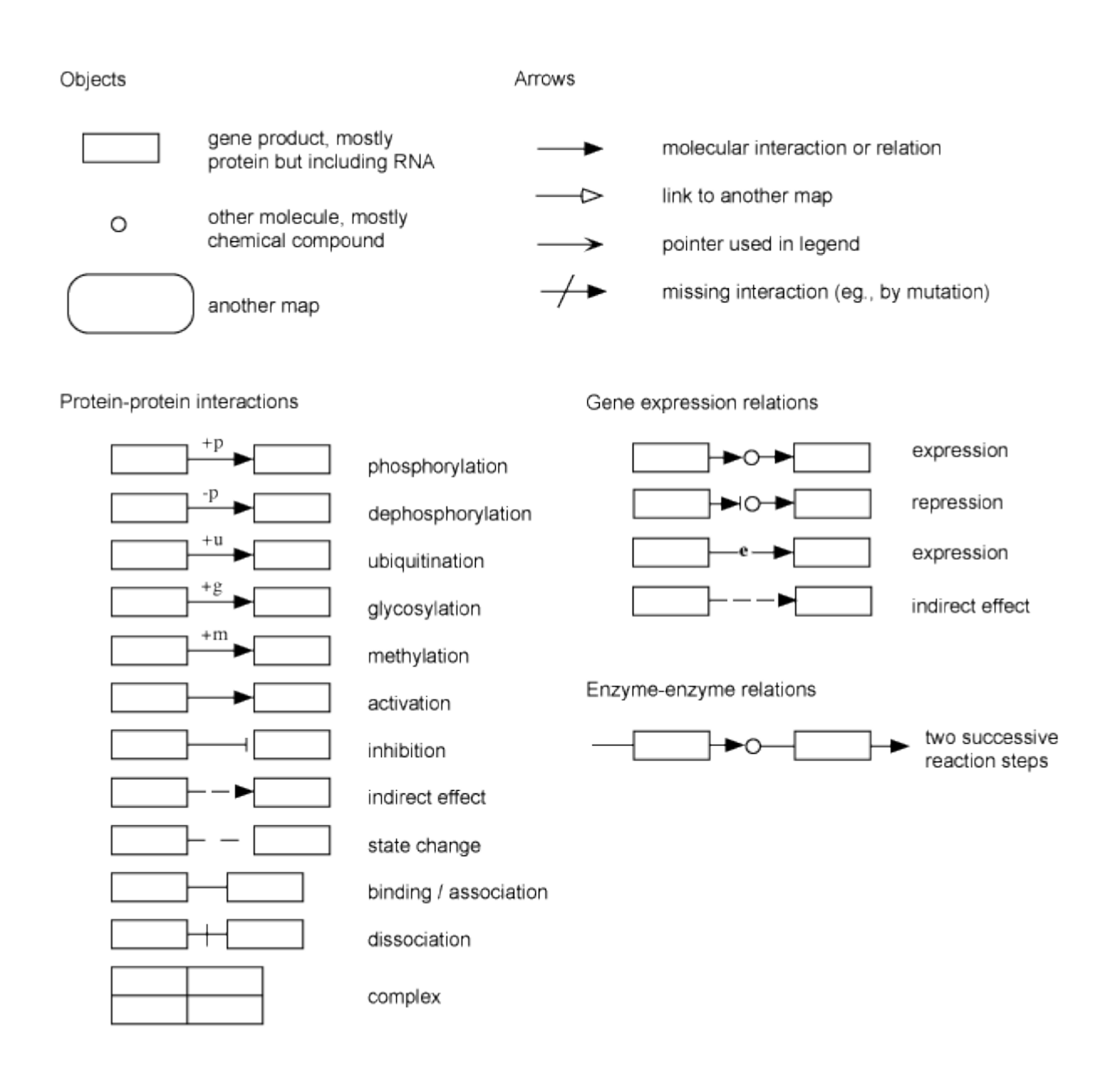
KEGG: Интегральная схема биосинтеза антибиотиков (все виды организмов)



KEGG: Интегральная схема метаболизма углеводов (Carbon metabolism)



KEGG: условные обозначение

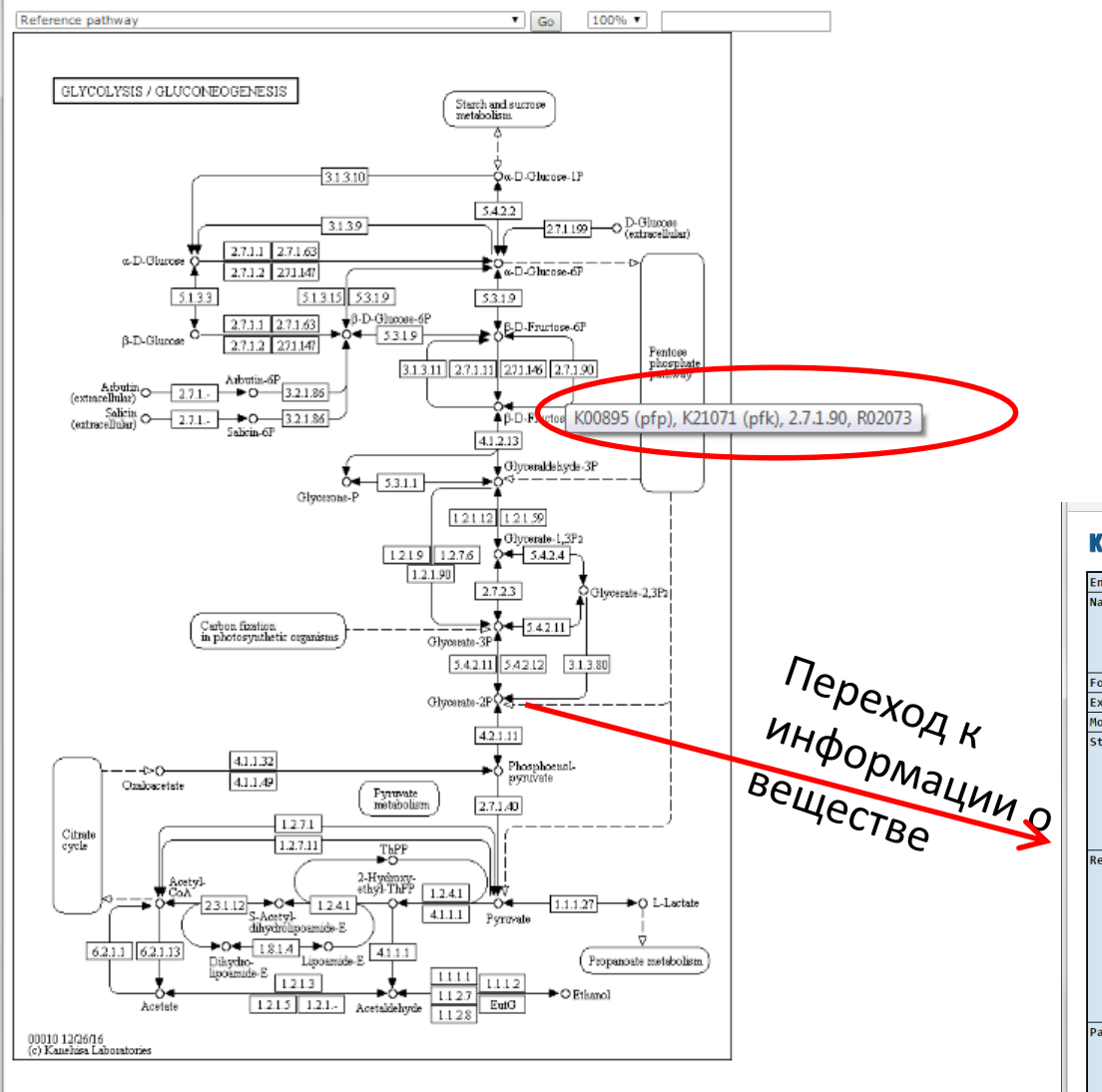


KEGG: диаграмма Glycolysis / Gluconeogenesis

Glycolysis / Gluconeogenesis - Reference pathway

[Pathway menu | Organism menu | Pathway entry | Hide description | User data mapping]

Glycolysis is the process of converting glucose into pyruvate and generating small amounts of ATP (energy) and NADH (reducing power). It is a central pathway that produces important precursor metabolites: six-carbon compounds of glucose-6P and fructose-6P and three-carbon compounds of glucose-6P, glycerale-3P, glycerate-3P, phosphoenolpyruvate, and pyruvate [MD: M00001]. Acetyl-CoA, another important precursor metabolite, is produced by oxidative decarboxylation of pyruvate [MD: M00007]. When the enzyme genes of this pathway are examined in completely sequenced genomes, the reaction steps of three-carbon compounds from glycerone-P to pyruvate form a conserved core module [MD: M00002], which is found in almost all organisms and which sometimes contains open structures in bacterial genomes. Gluconeogenesis is a synthesis pathway of glucose from noncarbohydrate precursors. It is essentially a reversal of glycolysis with minor variations of alternative paths [MD: M00003].



BXOД "Pyruvate" Разделе базы "KEGG Chemical Universe" KEGG COMPOUND: C00022 Pyruvate; Pyruvic acid: 2-Oxopropanoate: 2-Oxopropanoic acid: Pyroracemic acid Formula C3H4O3 Exact mass 88.016 Mol weight 88.0621 Structure KCF file DB search Jmol KegDraw Reaction R00203 R00205 R00206 R00207 R00208 R0020 11 R00212 R00213 R00214 R00215 R00216 R00217 R00218 R00219 R00220 R00221 R00223 R00224 R00226 R00237 R00258 RAA297 RAA324 RAA325 RAA344 RAA35A RAA353 RAA368 RAA369 R00396 R00398 R00400 R00409 R00430 R00452 R00453 R00470 R00471 R00532 R00543 R00562 R00572 R00576 R00585 R00659 R00666 R00673 R00692 R00703 R00704 R00724 R00728 R00750 R00782 R00906 R00907 R00930 R00985 R00986 R01012 R01031 R01032 R01064 R01085 R01138 R01147 R01148 R01196 R01215 Pathway map00010 Glycolysis / Gluconeogenesis map00020 Citrate cycle (TCA cycle)

map00030 Pentose phosphate pathway

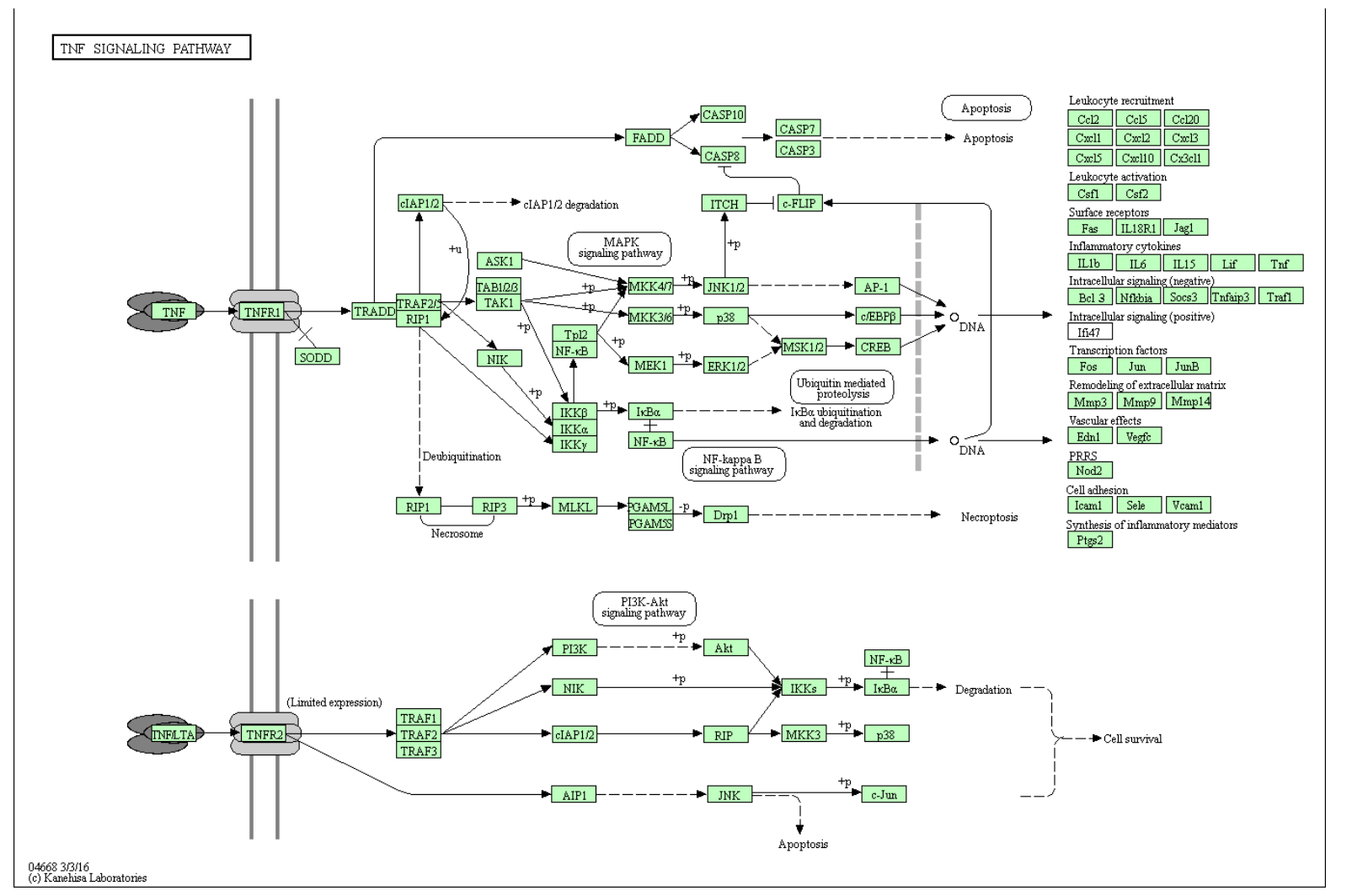
map00040 Pentose and glucuronate interconversions
map00053 Ascorbate and aldarate metabolism

BXOД "REACTION" в "**KEGG REACTION":** Одна из реакций с участием вещества «Pyruvate»

	REACTION: R00006
Entry	R00006 Reaction
Name	pyruvate:pyruvate acetaldehydetransferase (decarboxylating); 2-acetolactate pyruvate-lyase (carboxylating)
Definition	2-Acetolactate + CO2 <=> 2 Pyruvate
Equation	C00900 + C00011 <=> 2 C00022
	H ₃ C OH 2 H ₃ C OH C000022
Comment	TPP-dependent enzymatic reaction (R00014+R03050)
Reaction class	RC00106 C00022_C00900
Enzyme	2.2.1.6
Pathway	rn00770 Pantothenate and CoA biosynthesis
Orthology	K01652 acetolactate synthase I/II/III large subunit [EC:2.2.1.6] K01653 acetolactate synthase I/III small subunit [EC:2.2.1.6]

KEGG: схема сигнального пути, активируемого TNFa (TNF signaling pathway - Homo sapiens (human))





KEGG: информация из раздела Pathway entry для сигнального пути, активируемого TNFa (TNF signaling pathway - Homo sapiens (human))



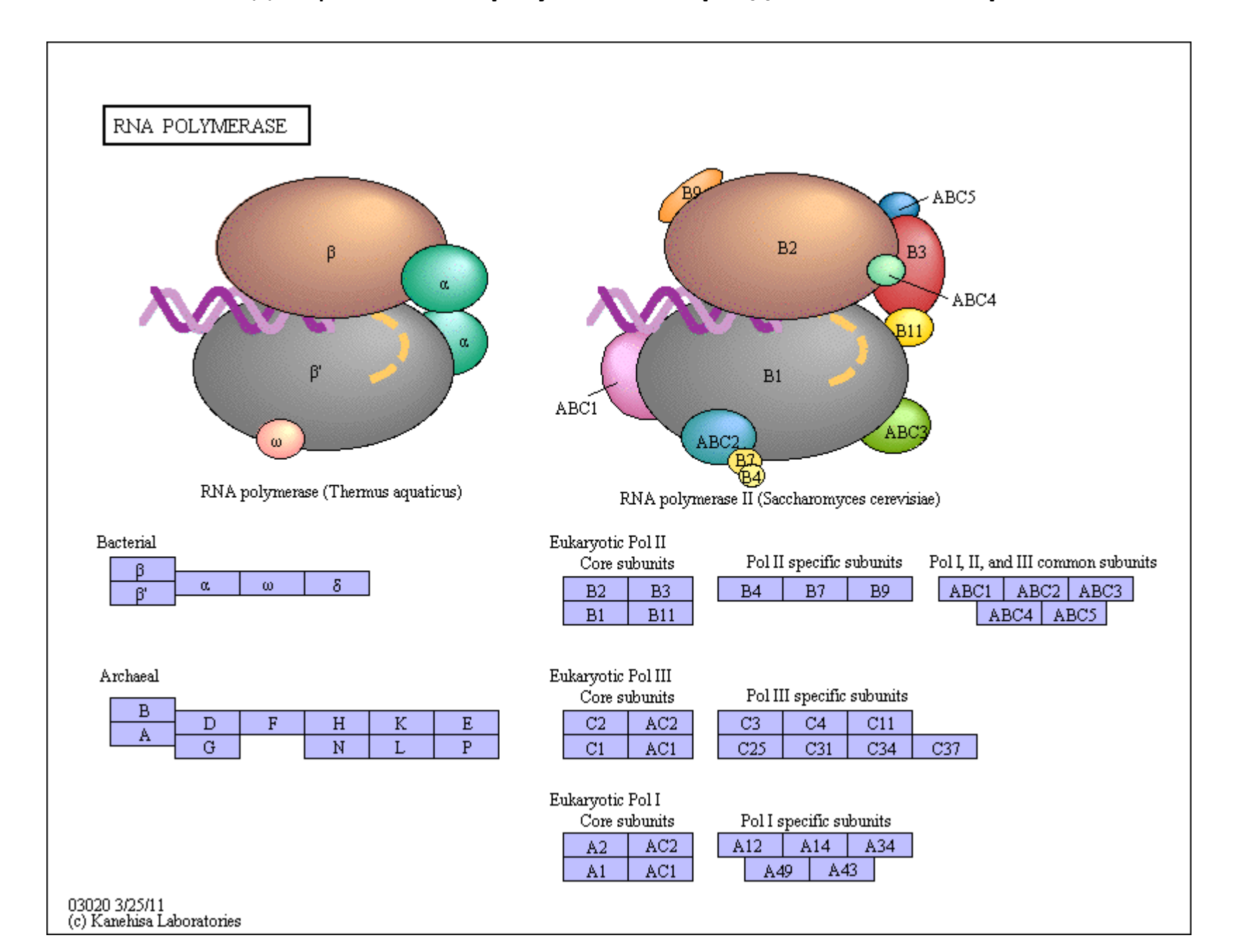
KEGG	PATHWAY: hsa04668
Entry	hsa04668 Pathway
Name	TNF signaling pathway - Homo sapiens (human)
	Tumor necrosis factor (TNF), as a critical cytokine, can induce a wide range of intracellular signal pathways including apoptosis and cell survival as well as inflammation and immunity. Activated TNF is assembled to a homotrimer and binds to its receptors (TNFR1, TNFR2) resulting in the trimerization of TNFR1 or TNFR2. TNFR1 is expressed by nearly all cells and is the major receptor for TNF (also called TNF-alpha). In contrast, TNFR2 is expressed in limited cells such as CO4 and CD8 T lymphocytes, endothelial cells, microglia, oligodendrocytes, neuron subtypes, cardiac myocytes, thymocytes and human mesenchymal stem cells. It is the receptor for both TNF and LTA (also called TNF-beta). Upon binding of the ligand, TNFR mediates the association of some adaptor proteins such as TRADD or TRAF2, which in turn initiate recruitment of signal transducers. TNFR1 signaling induces activation of many genes, primarily controlled by two distinct pathways, NF-kappa B pathway and the MAPK cascade, or apoptosis and necroptosis. TNFR2 signaling activates NF-kappa B pathway including PI3K-dependent NF-kappa B pathway and JNK pathway leading to survival.
Class	Environmental Information Processing; Signal transduction BRITE hierarchy
Pathway map	hsa04668 TNF signaling pathway TOP INCOME. NOT THE PROPERTY AND ADDRESS OF THE PROPER
Other DBs	BSID: 812256
Onganism	GO: 0033209
Organism	Homo sapiens (human) [GN:hsa]
Gene	7124 TNF; tumor necrosis factor [KO:K03156] 7132 TNFRSF1A; TNF receptor superfamily member 1A [KO:K03158] 9530 BAG4; BCL2 associated athanogene 4 [KO:K09558] 8717 TRADD; TNFRSF1A associated via death domain [KO:K03171] 7186 TRAF2; TNF receptor associated factor 2 [KO:K03173] [EC:2.3.2.27] 7188 TRAF5; TNF receptor associated factor 5 [KO:K09849] 8737 RIPK1; receptor interacting serine/threonine kinase 1 [KO:K02861] [EC:2.7.11.1] 329 BIRC2; baculoviral IAP repeat containing 2 [KO:K16060] 330 BIRC3; baculoviral IAP repeat containing 3 [KO:K16060] 6885 MAP3K7; mitogen-activated protein kinase kinase kinase 7 [KO:K04427] [EC:2.7.11.25] 10454 TAB1; TGF-beta activated kinase 1 (MAP3K7) binding protein 1

[KU-K84483]

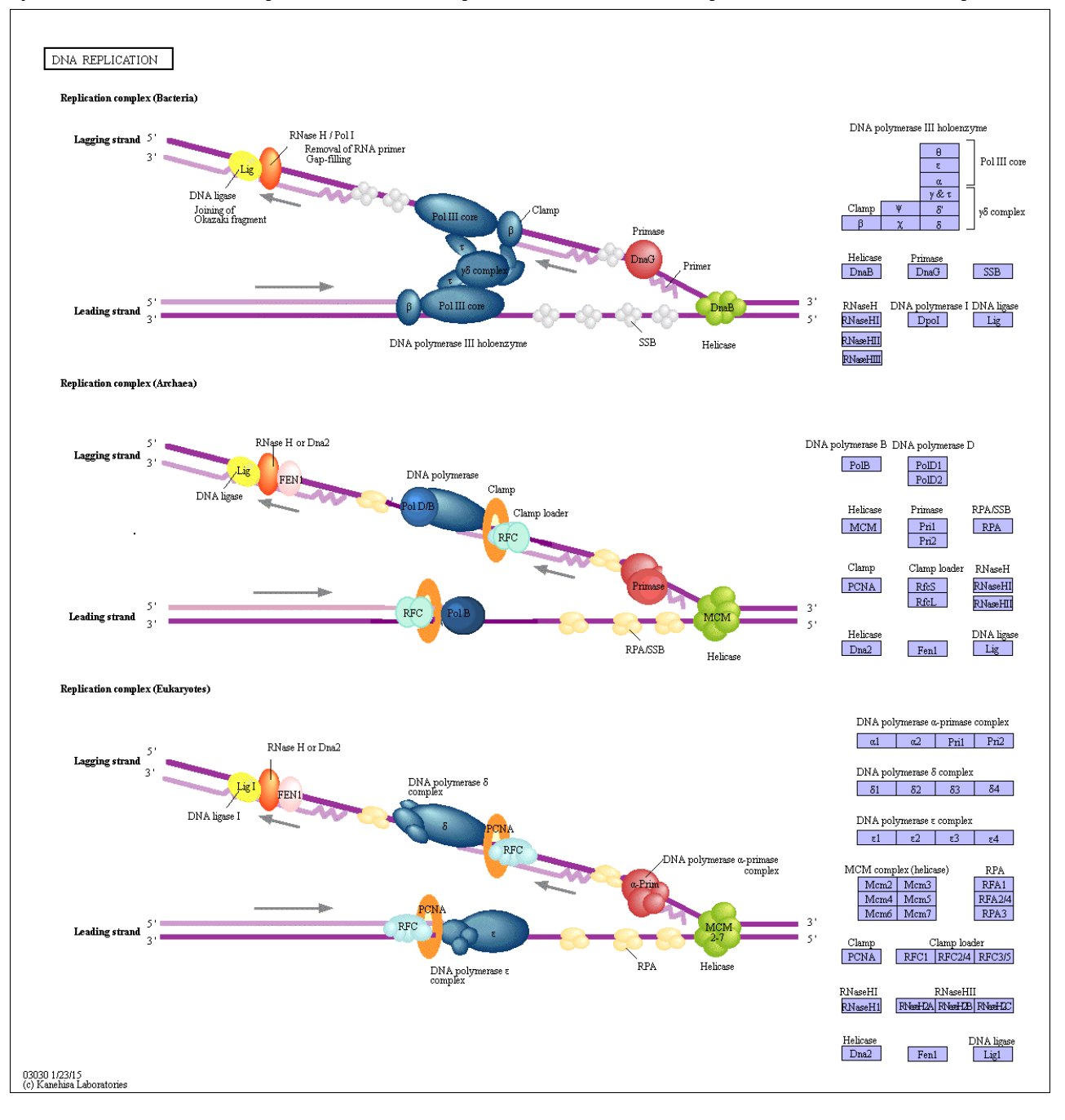
All links

Pathway (1) BioSystems (1) Genome (1) KEGG GENOME (1) Gene (108) KEGG GENES (108) All databases (110) Download RDF

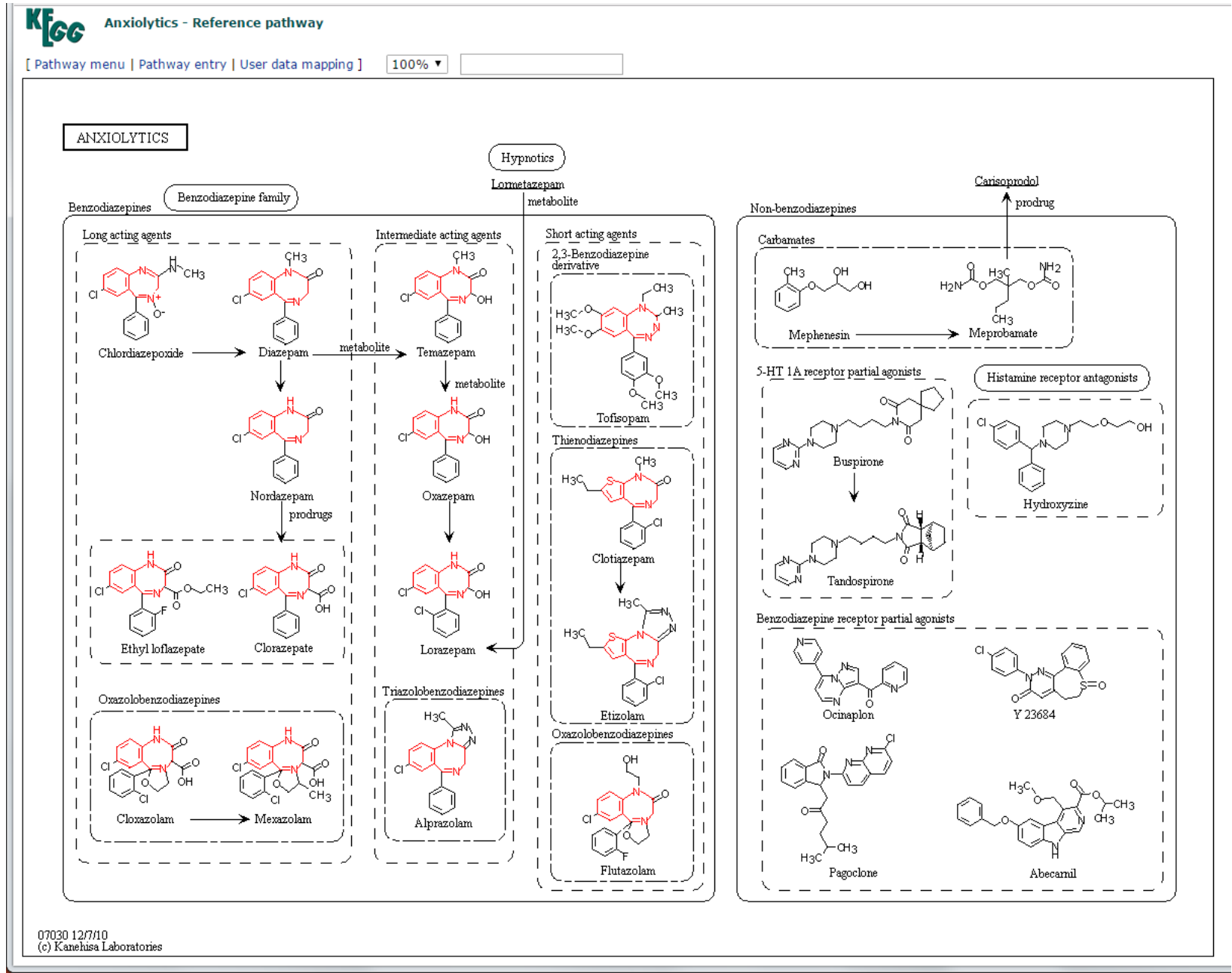
KEGG: диаграмма RNA polymerase из раздела 2.1 Transcription



KEGG: диаграмма DNA replication из раздела 2.4 Replication and repair



KEGG: диаграмма Anxiolytics из раздела 7.3 Chronology: Nervous system agents



Анксиолитики (= транквилизаторы): вещества, снимающие тревогу, страх, усталость

Статистика базы KEGG pathway

IEIC ACIOS DA	elc Acids	
HOIOS	HOIUS DE	ā
HOIOS	HOIUS DE	=
HOIOS	HOIUS DE	•
C/		'n
C/		6
C/		=
J	5	V.
7	ď	-
	Ċ,	낽
- 55	v.	H
v.	_	

Manually drawn KEGG reference pathway maps

Category	Type	Number of maps ^a
Metabolism	Global map	4
	Overview map	5
	Regular map	160
	Chemical structure transformation map	9
Genetic information processing	Regular map	22
Environmental information processing	Regular map	38
Cellular processes	Regular map	24
Organismal systems	Regular map	78
Human diseases	Regular map	81
Drug development	Drug structure map	75

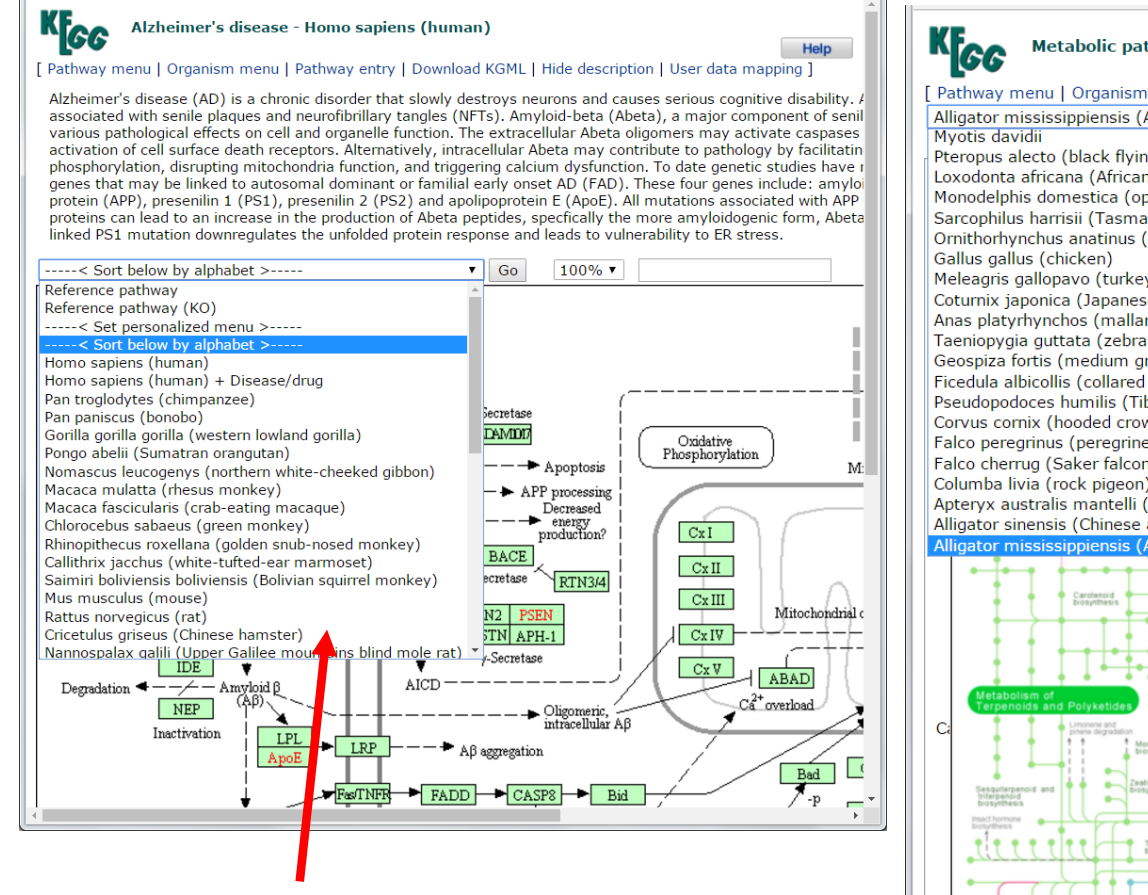
^aAs of 1 October 2016.

 $\Sigma = 496$

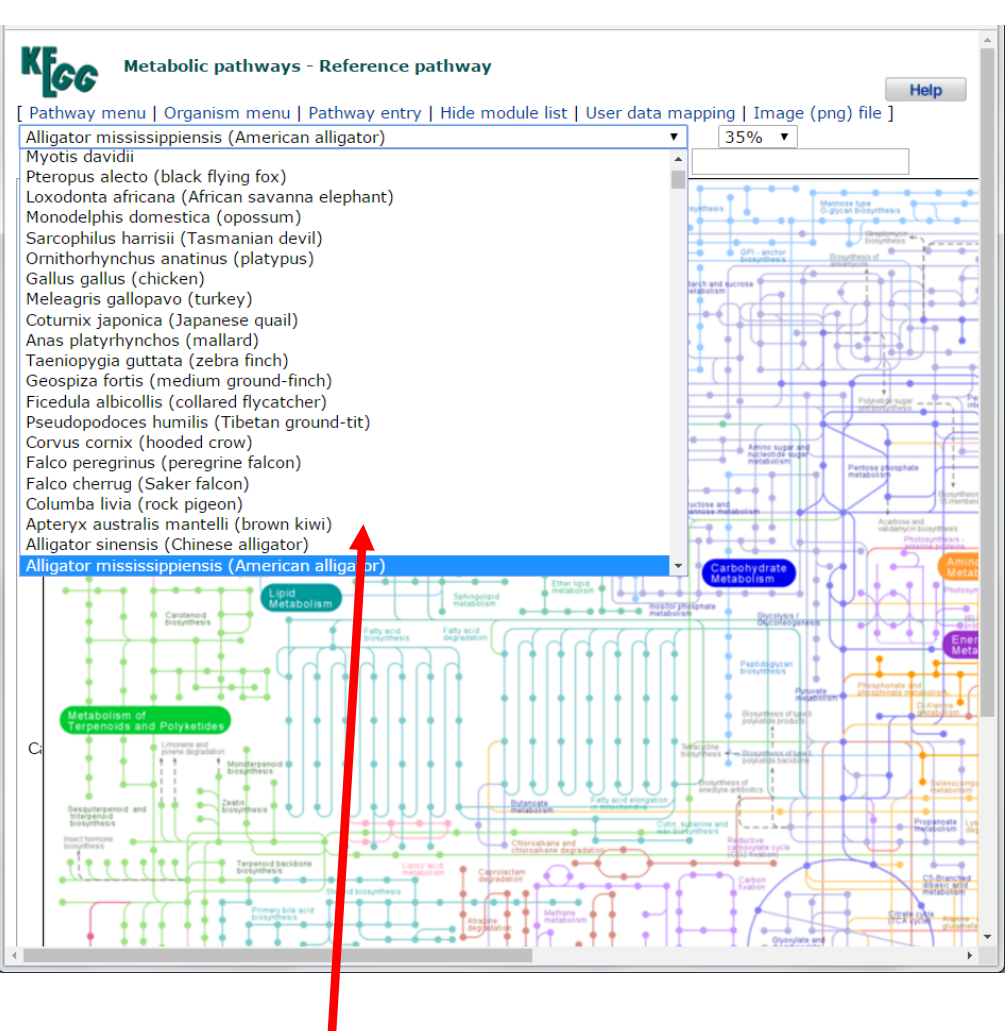
Kanehisa M, Furumichi M, Tanabe M, Sato Y, Morishima K. KEGG: new perspectives on genomes, pathways, diseases and drugs. Nucleic Acids Res. 2017 Jan 4;45(D1):D353-D361.

А сколько видов представлено в базе KEGG pathway?

- Ответ зависит от того, какой вход (pathway) мы рассматриваем.

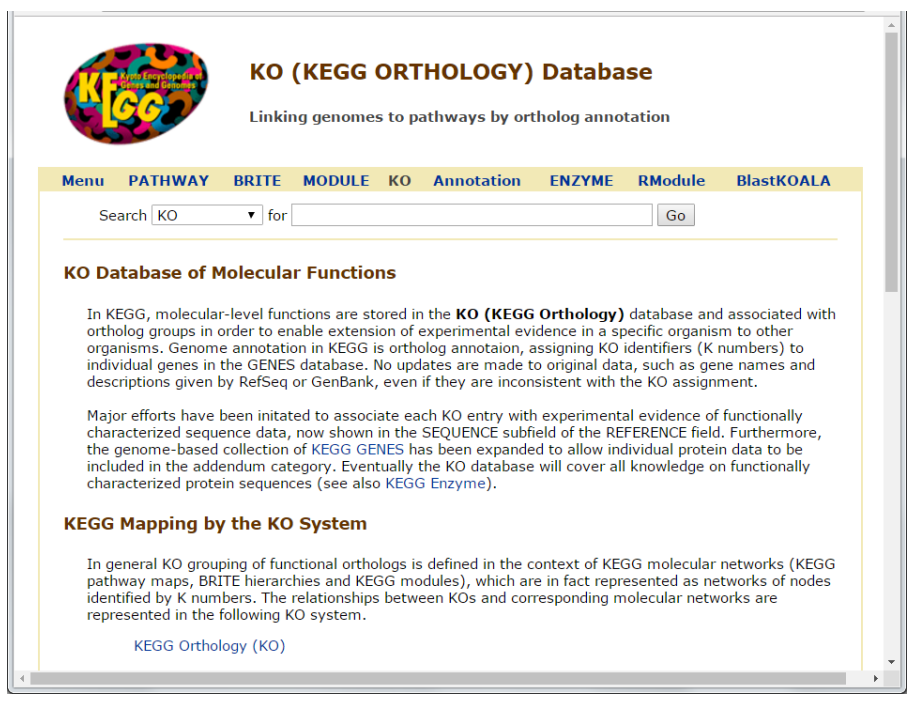


42 вида организмов



> 1000 видов организмов

KEGG ORTHOLOGY



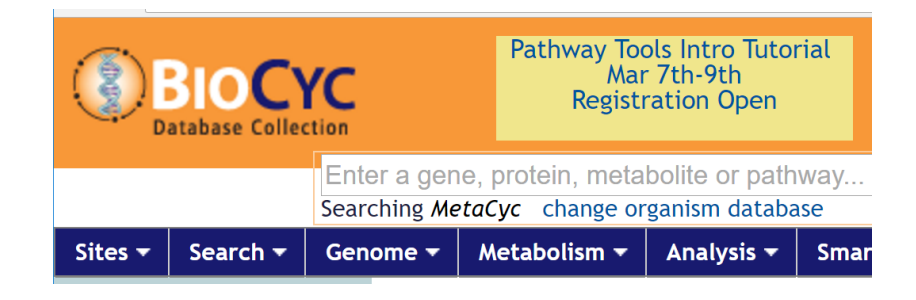
	^
Enter K numbers (Example) K00161 K00162 K00163 K00627 K00382	
K00161	
Filter Orthodor to bla Mary mathematica Mary module Constitution Constitution	
riller Ortholog table Map pathway Map brite Map module Get title Get entry Clear	_
	Enter K numbers (Example) K00161 K00162 K00163 K00627 K00382 K00161 Filter Ortholog table Map pathway Map brite Map module Get title Get entry Clear

Гены всех видов сгруппированы в группы ортологов. Каждая группа имеет индивидуальный идентификатор (вида К00161), через который можно вести поиск как по генам, так и по разделу KEGG Pathway

All	•		
Grp	Genus	Organism	K00161 (PDHA)[4084]
E.Ani	Homo	hsa	5161 5160
E.Ani	Pan	ptr	471255 465525
E.Ani	Pan	pps	100984797 100993455
E.Ani	Gorilla	ggo	101128322 101125835
E.Ani	Pongo	pon	100174745 100443483
E.Ani	Nomascus	nle	100587584 100595000
E.Ani	Macaca	mcc	709359 100423990
E.Ani	Macaca	mcf	102125852 102140136
E.Ani	Chlorocebus	csab	103231682 103235992
E.Ani	Rhinopithecus	rro	104679850 104682411
E.Ani	Callithrix	cjc	100403644 100400144
E.Ani	Saimiri	sbq	101051150 101046119
E.Ani	Mus	mmu	18597 18598
E.Ani	Rattus	rno	117098 29554
E.Ani	Cricetulus	cge	100774853 100772790
E.Ani	Nannospalax	ngi	103728085 103736226 103741428
E.Ani	Heterocephalus	hgl	101716937 101710793
E.Ani	Oryctolagus	ocu	100350273 100357349
E.Ani	Tupaia	tup	102502588 102496416
E.Ani	Canis	cfa	480858
E.Ani	Ailuropoda	aml	100471829 100467550
E.Ani	Ursus	umr	103668166 103677911
E.Ani	Felis	fca	101080765 101081627
E.Ani	Panthera	ptg	102963682 102968217

Семейство баз данных MetaCyc - BioCyc





МетаСус содержит более 2400 метаболических путей из >46 000 публикаций для 2816 видов организмов

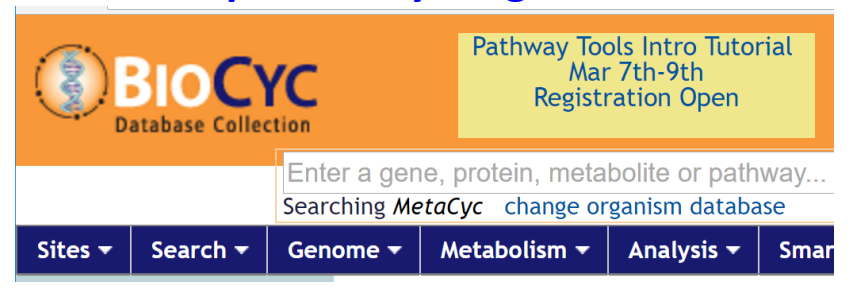
ВіоСус - Коллекция 9390 организм-специфичных Pathway/Genome Databases (PGDBs), каждая из которых содержит полный геном и предсказанные метаболические сети данного организма (включая описание метаболитов, ферменты, реакции, метаболичекие пути, предсказанные опероны, транспортные системы и фильтры, позволяющие получать информацию о метаболических путях)

Общий формат представления данных, поисковые системы, средства анализа

Базы развиваются с 2005 года (BioCyc) и 2001 года (MetaCyc)

Caspi R, et al., The MetaCyc database of metabolic pathways and enzymes and the BioCyc collection of Pathway/Genome Databases. Nucleic Acids Res. 2014;42:D459-71

Информационное содержание базы данных BioCyc https://biocyc.org/



9390 организм-специфичных Pathway/Genome Databases (PGDBs), Три уровня достоверности данных:

Tier 1 PGDBs - ручной способ наполнения:

EcoCyc, - база по Escherichia coli K-12.

MetaCyc, - экспериментально исследованные ферменты и метаболические пути 2,740 видов организмов

AraCyc

HumanCyc

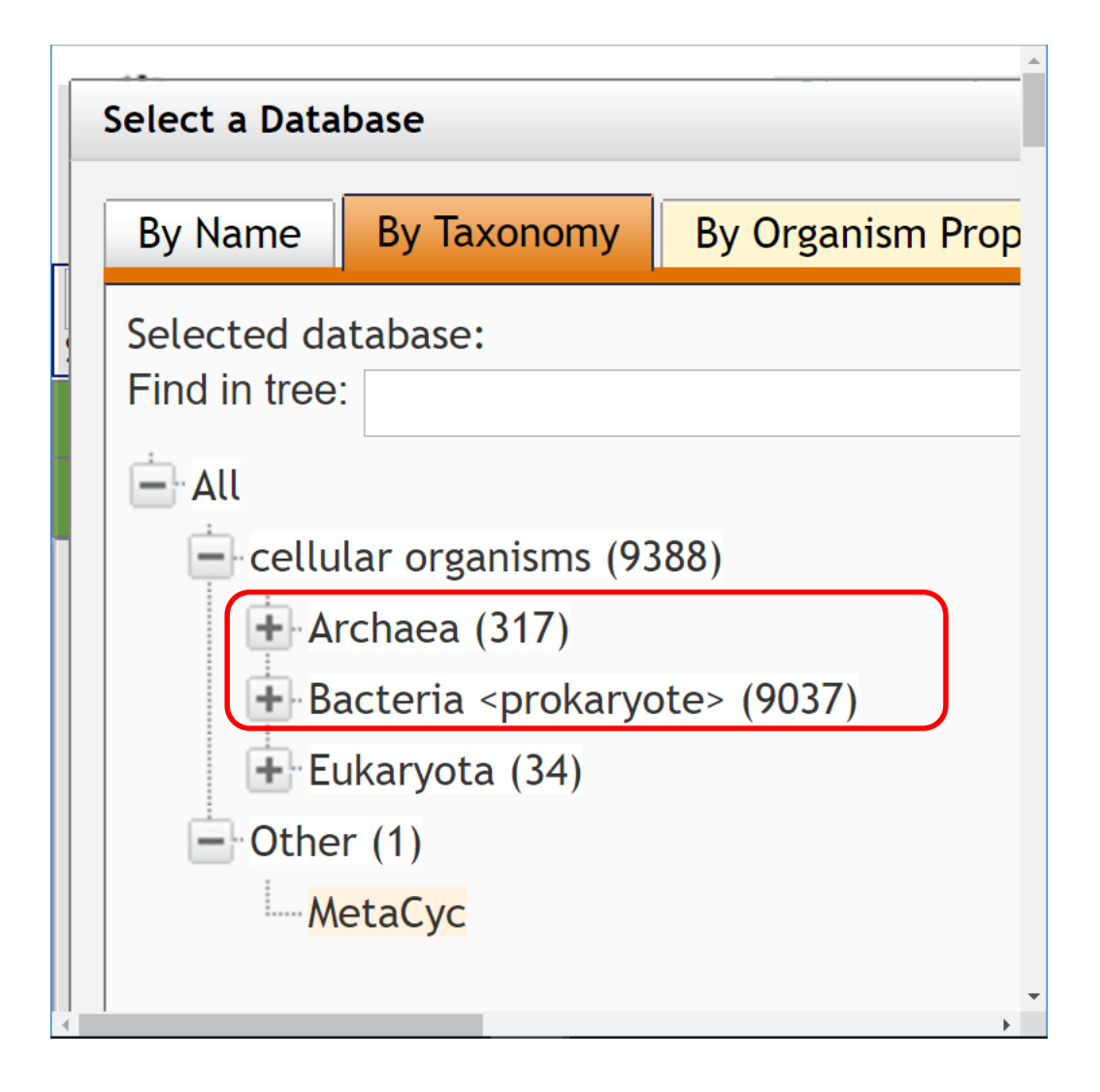
LeishCyc (*Leishmania major*)

YeastCyc

Tier 2 содержит 42 PGDBs. Данные сгенерированы программой PathoLogic и подвергнуты неглубокой ручной проверке.

Tier 3 содержит 7,625 PGDBs. Данные сгенерированы программой PathoLogic и не подвергались ручной проверке совсем.

Виды организмов, представленные в базе ВіоСус



Наибольшее количество информации относится к прокариотам

Информационное содержание базы данных MetaCyc https://metacyc.org/



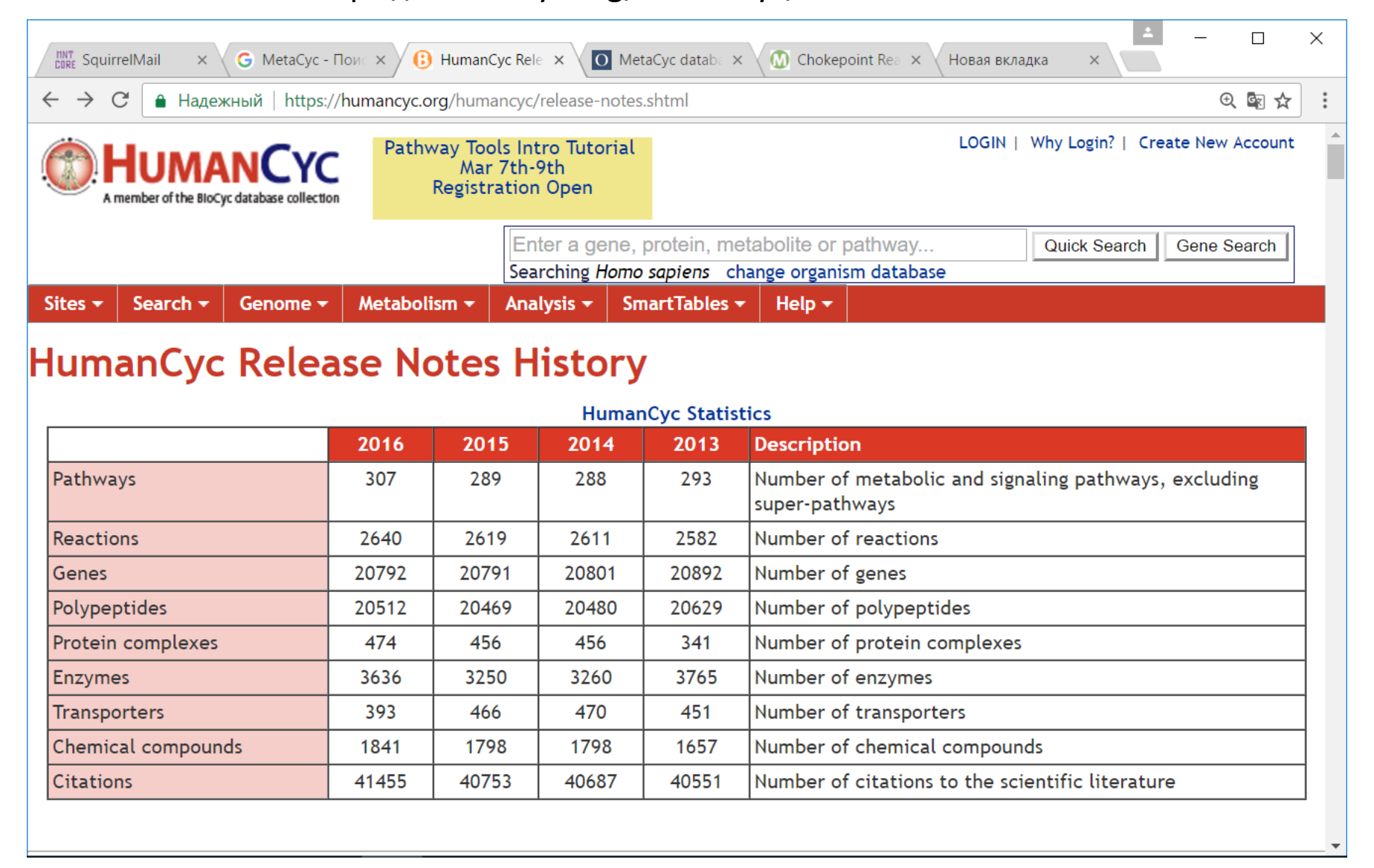
МеtaСус содержит более 2490 метаболических путей из > 46 000 публикаций для 2816 видов организмов

MetaCyc: список видов, для которых имеется 20 и более метаболических путей с экспериментально подтвержденными данными

Bacteria		Eukarya	•	Archaea	
Escherichia coli	329	Arabidopsis thaliana	335	Methanocaldococcus jannaschii	29
Pseudomonas aeruginosa	71	Homo sapiens	264	Methanosarcina barkeri	22
Bacillus subtilis	62	Saccharomyces cerevisiae	188	Sulfolobus solfataricus	21
Pseudomonas putida	51	Rattus norvegicus	83		
Salmonella typhimurium	41	Glycine max	62		
Pseudomonas fluorescens	32	Solanum lycopersicum	55		
Mycobacterium tuberculosis	31	Pisum sativum	55		
Klebsiella pneumoniae	29	Mus musculus	54		
Synechocystis sp. PCC 6803	27	Zea mays	48		
Enterobacter aerogenes	26	Nicotiana tabacum	46		
Agrobacterium tumefaciens	24	Oryza sativa	46		
		Solanum tuberosum	43		
		Catharanthus roseus	30		
		Spinacia oleraca	29		
		Hordeum vulgare	27		
		Triticum aestivum	25		
		Bos taurus	23		
		Petunia x hybrida	21		
		Sus scrofa	20		

Информационное содержание базы HumanCyc

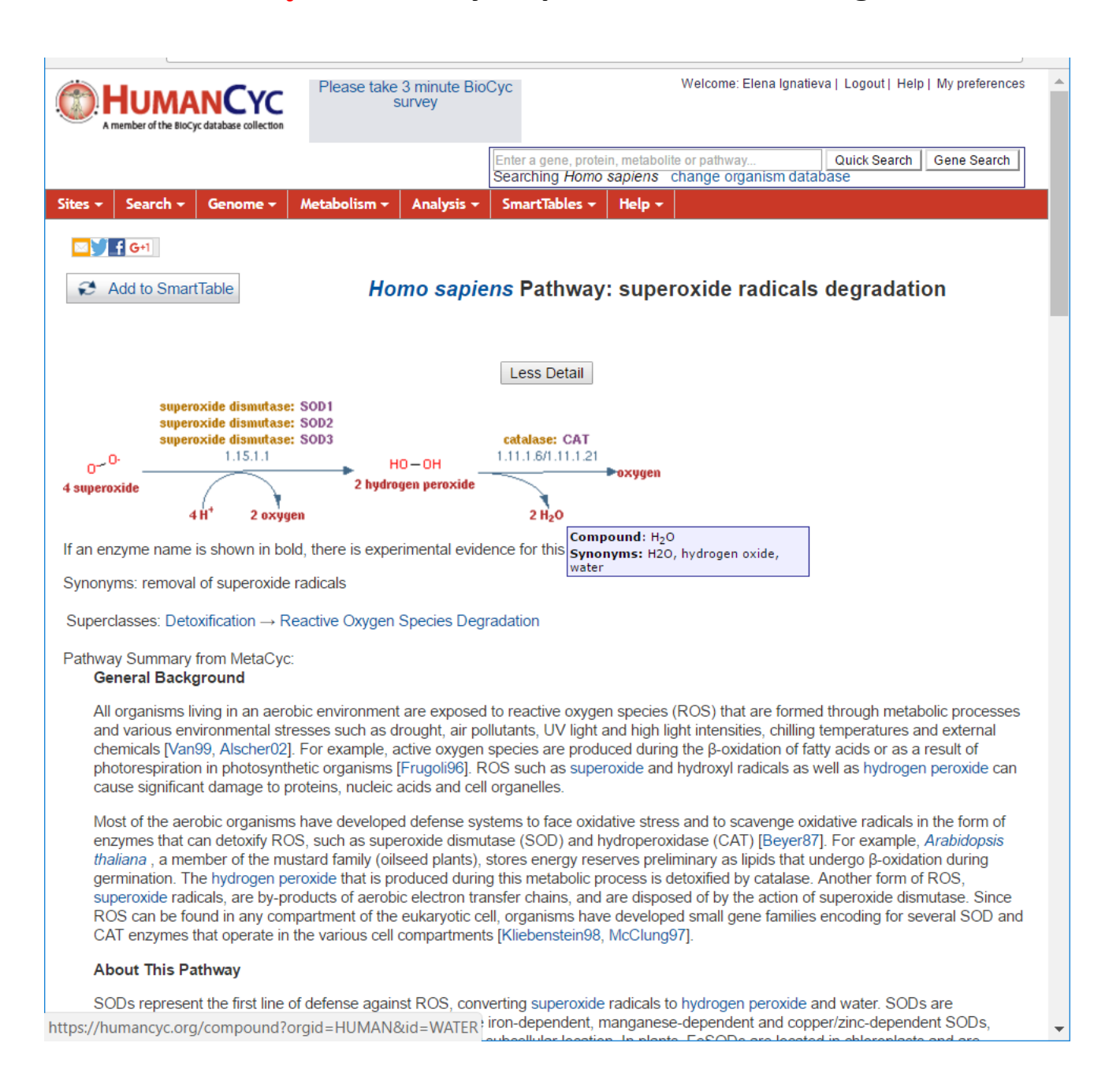
https://humancyc.org/humancyc/release-notes.shtml



HumanCyc – возможности поиска и пролистывания информаци



HumanCyc - Pathway: superoxide radicals degradation



HumanCyc - Pathway: superoxide radicals degradation (продолжение)

About This Pathway

✓ show operations
 ✓ a

SODs represent the first line of defense against ROS, converting superoxide radicals to hydrogen peroxide and water. SODs are differentiated with regard to their metal cofactor. There are iron-dependent, manganese-dependent and copper/zinc-dependent SODs, which differ not only in their metal cofactor but also in their subcellular location. In plants, FeSODs are located in chloroplasts and are regarded the most ancient SOD group. MnSODs are found in the mitochondrion and the peroxisome and are structurally very similar to FeSODs. The last group, the Cu-ZnSODs operates in chloroplasts, the cytosol and even the extracellular space. They are structurally very different from the other two SOD groups because of the different electrical properties of copper in comparison to iron or manganese, which resulted in a major structural change in the protein [Alscher02].

To date seven SODs have been identified in *Arabidopsis thaliana*, three of them iron-dependent, three having copper as metal cofactor and one manganese-dependent SOD [Hindges92, Van90, Kliebenstein98]. It has been demonstrated that a copper-chaperone (AtCCS, At1g12520) is crucial for the activation of all three Cu/Zn-dependent SODs in this organism. The SOD holoenzyme usually constitutes either a homodimer or a homotetramer. However, the exact composition of the SODs in Arabidopsis is currently not known and remains to be verified (here displayed as polypeptides).

Catalase is second in the defense line against active oxygen, converting hydrogen peroxide into water and oxygen. Three genes encoding subunits of catalase and at least 6 catalase isoenzymes have been identified in Arabidopsis so far [Zhong94, McClung97, Frugoli96, Zhong96]. Besides their implication in detoxifying ROS, catalases are thought to play a role in the signal transduction pathway in plants leading to the development of SAR (systemic aquired resistance) [Jones94]. The functional protein of catalase is a tetramer but the question whether it exists as homo- or heterotetramer of different subunits remains to be investigated.

Superpathways: reactive oxygen species degradation

Locations of Mapped Genes:



Pathway Evidence Glyph:

000

This organism is in the expected taxonomic range for this pathway.

Key to pathway glyph edge colors: ?

- An enzyme catalyzing this reaction is present in this organism
- The reaction is unique to this pathway in MetaCyc

Credits

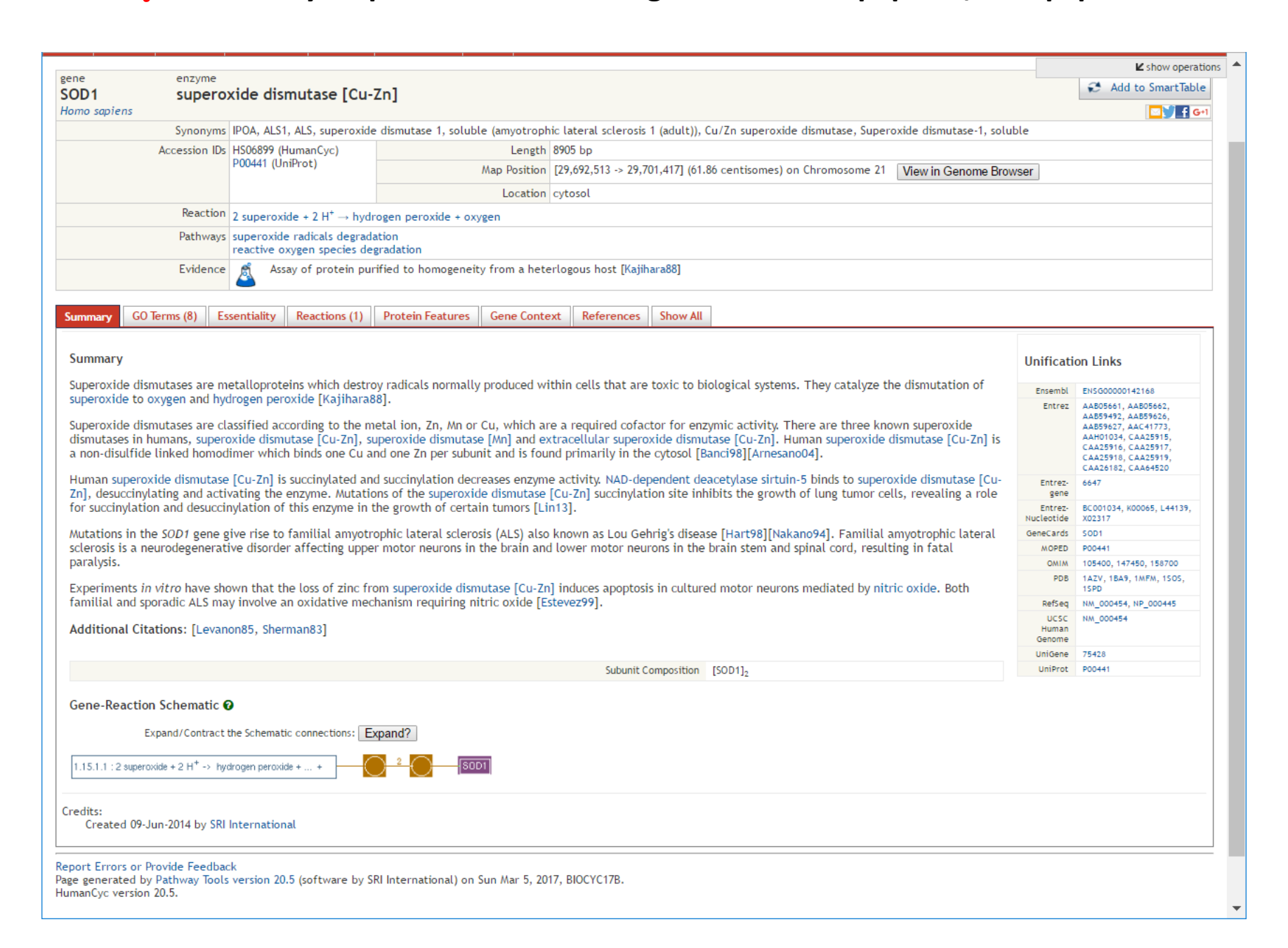
Created in MetaCyc 07-Dec-1994 by Riley M , Marine Biological Laboratory Reviewed in MetaCyc 30-Nov-2006 by Foerster H , The Arabidopsis Information Resource Revised in MetaCyc 20-Feb-2009 by Caspi R , SRI International Imported from MetaCyc 01-Nov-2016 by Caspi R , SRI International

References

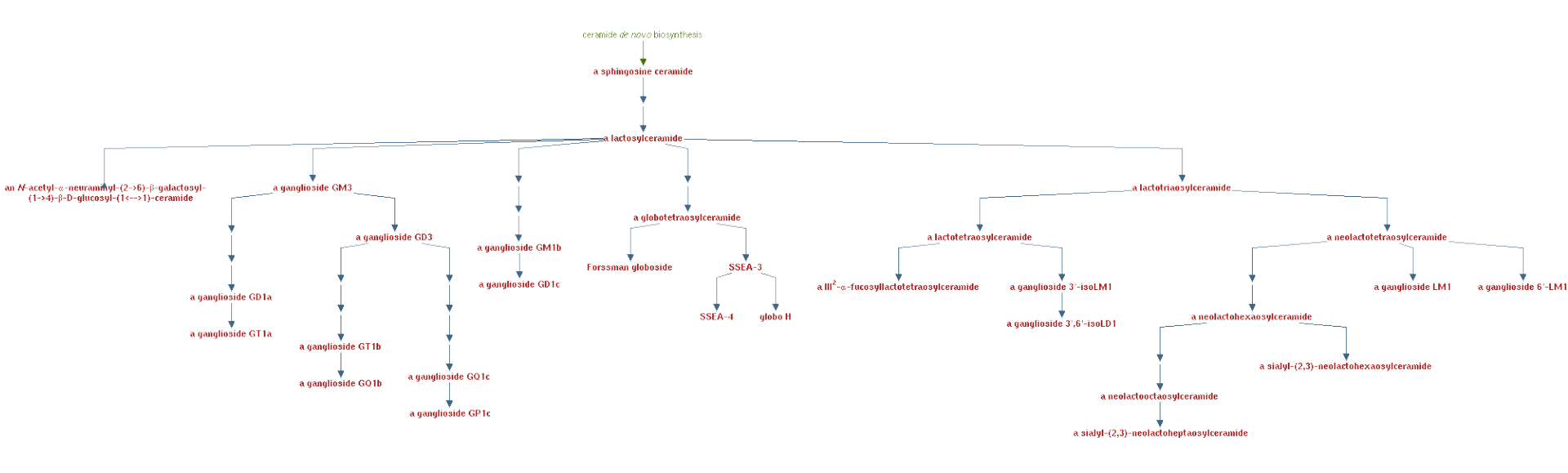
Alscher02: Alscher RG, Erturk N, Heath LS (2002). "Role of superoxide dismutases (SODs) in controlling oxidative stress in plants." J Exp Bot 53(372):1331-41. PMID: 11997379

Beyer87: Beyer WF Jr, Fridovich I (1987). "Catalases-with and without heme." In MG Simic, KA Taylor, JF Ward, C Von Sonntag, eds, Oxygen Radicals in Biology and Medicine. Plenum, New York, 651-661.

HumanCyc —Pathway: superoxide radicals degradation — информация о ферменте SOD



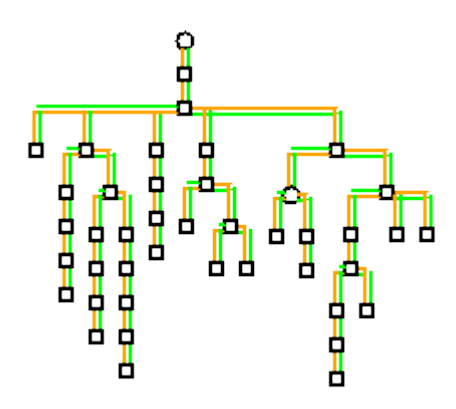
HumanCyc: Pathway: super pathway of glycosphingolipids biosynthesis



Pyrimidines Cofactors T tRNAs

(Any filled shape) Phosphorylated

Pathway Evidence Glyph:



Key to Pathway Evidence Glyph

Edge Colors: An enzyme catalyzing this reaction is present in this organism No enzyme catalyzing this reaction has been identified in this organism An enzyme catalyzing this reaction was identified in this organism by the Pathway Hole Filler The reaction is an orphan, meaning no enzyme catalyzing this reaction has been sequenced in any organism The reaction has been designated a key reaction of this pathway The reaction and any enzyme that catalyzes it (if one has been identified) is unique to this pathway - Represents spontaneous reactions, or lines that do not represent reactions (e.g. in polymerization pathways) Node Shapes: Amino Acids Carbohydrates Proteins Purines



ЕсоСус: информационное содержание

Data type	Number (Release 20.1)
Genes	4505
Gene products covered by a mini- review	3884
Gene products with GO terms with EXP evidence	3350
Enzymes	1567
Metabolic reactions	1913
Compounds	2699
Transporters	282
Transport reactions	485
Transported substrates	338
Transcription factors	204
Regulatory interactions	6399

EcoCyc as Keseler et al. (2017), "EcoCyc: reflecting new knowledge about Escherichia coli K-12", Nucleic Acids Research 45:D543-50.

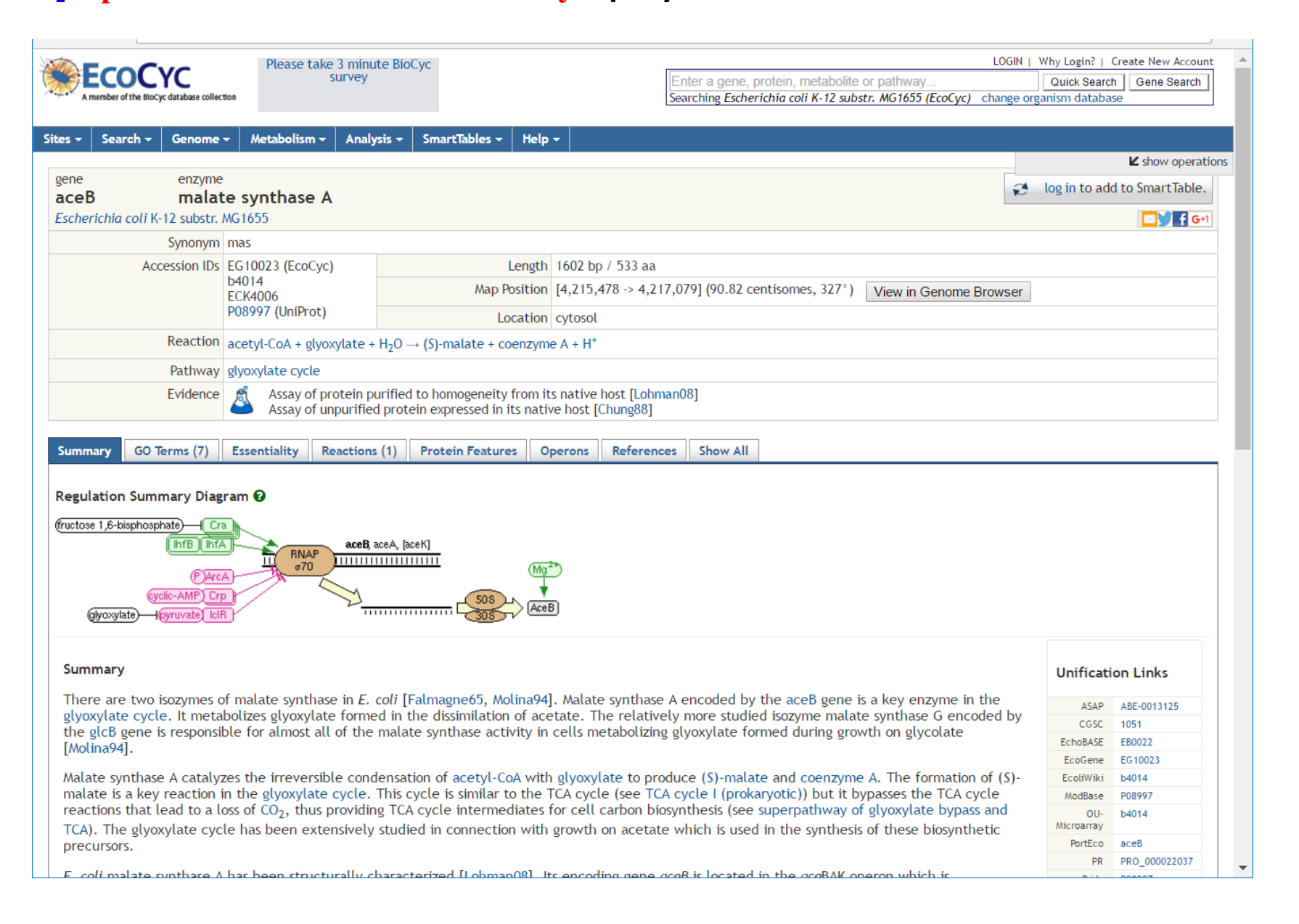


EcoCyc: статистика по данным, относящимся к регуляции транскрипции

Data type	Total	New
Transcription Unit	3553	95
Promoter	3841	73
Terminator	283	31
Transcription Factor	205	14
Transcription Factor Binding Site	2836	199
Regulatory Interaction	3374	183

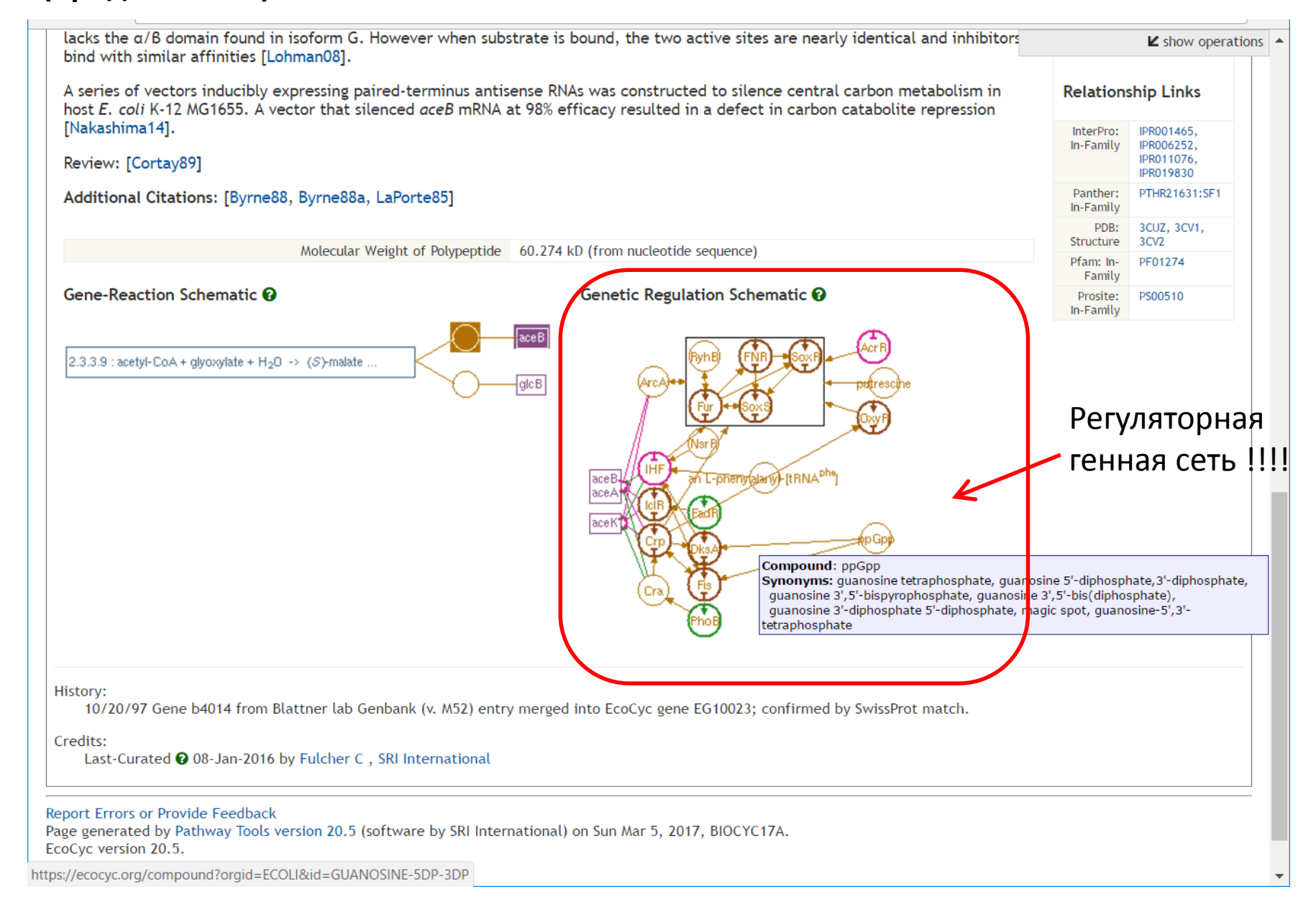
EcoCyc as Keseler et al. (2017), "EcoCyc: reflecting new knowledge about Escherichia coli K-12", Nucleic Acids Research 45:D543-50.

Представление данных в ЕсоСус: результат поиска по названию гена асеВ



_ Представление данных в ЕсоСус: результат поиска по названию гена асеВ

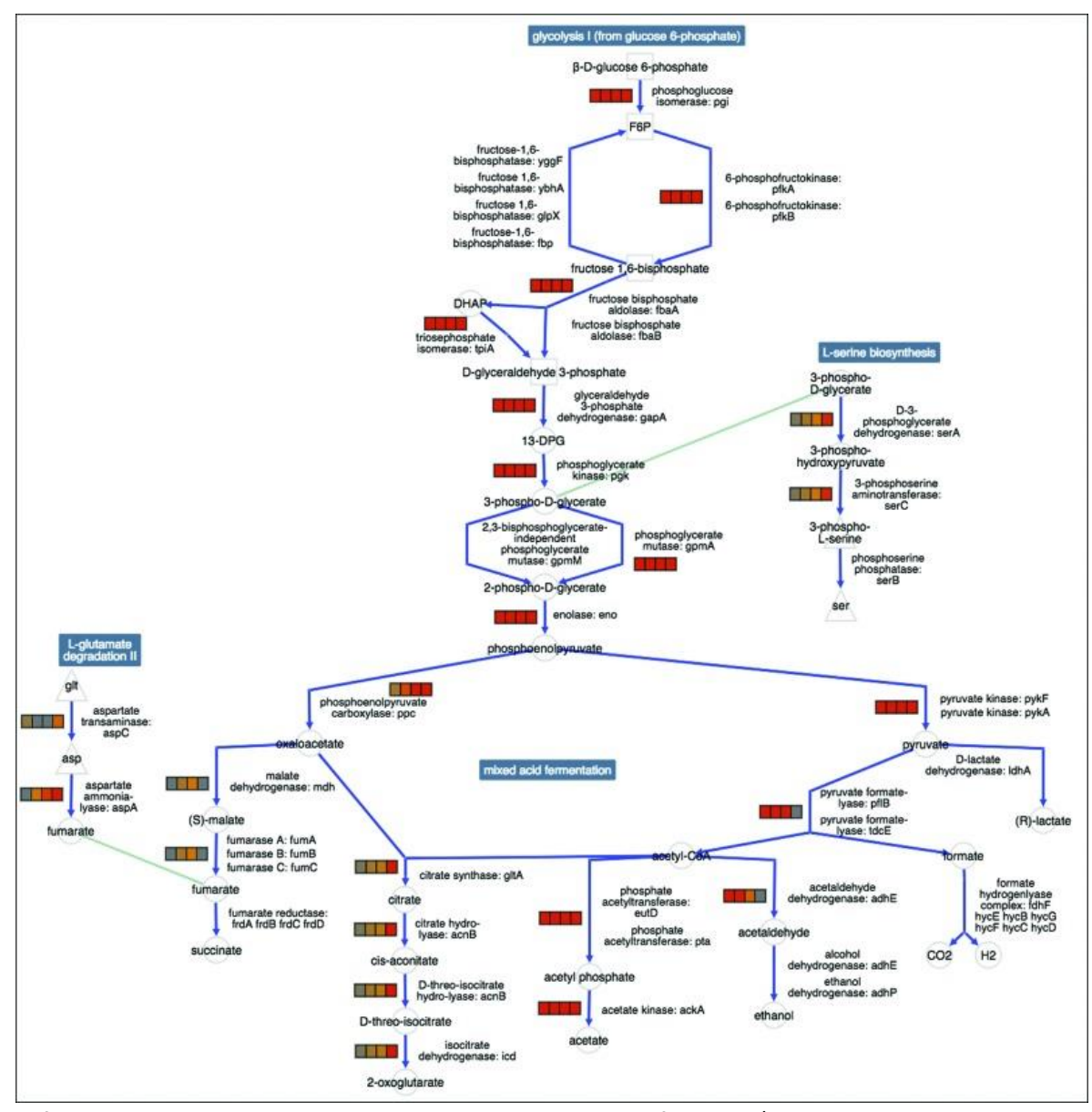
(продолжение)



Самостоятельное изучение !!!! Pathway Tools Intro Tutorial Mar 7th-9th Registration Open Genome ▼ SmartTables ▼ Sites ▼ Search ▼ Metabolism -Analysis -Help ▼ Search Genes, Proteins or RNAs Search Compounds Search Reactions Callection Search Pathways Search DNA or mRNA Sites Pathway Tools Intr orial LOGIN I Why Login? | Create Nev Quick Search Gene Enter a gene, protein, metabolite or pathway. Search Growth Media Registr pen Searching Homo sapiens change organism database o ac Advanced Search info Cross Organism Search Search ▼ Genome ▼ Metabolism ▼ Analysis ▼ SmartTables ▼ Help ▼ **BLAST Search** tran o no Cellular Overview Sequence Pattern Search subs Run Metabolic Model hame Google Search of this Site Dead-end Metabolites righ ars h BioCyc Data Chokepoint Reactions Metabolic Route Search Metabolite Translation Service Subscriptions are now re-Pathway Collages information on obtaining **Browse Pathway Ontology** Escherichia coli O157:H7 str. Sakai Chromosome 1: Gene: trpA Product: tryptophan synthase subunit alpha transition to subscription Browse Enzyme Commission Ontology **Browse Compound Ontology** subscription if your instit Generate Metabolic Map Poster right corner of this page or appears nere. Multi-organism Genome Browser image generated by BioCyc is a collection of 9390 Pathway/Genome Databases Comparative Genome Analysis (PGDBs), plus software tools for understanding their data. Multiple comparative analysis tools are available in this website. **Getting Started**

ВіоСус: возможности для поиска и анализа данных

BioCyc: одна из новых возможностей – конструирование супердиаграммы из выбранного набора диаграмм. (Pathway Collage tool)



ВіоСус: скачать данные можно, купив лицензию

DOWNLOAD BIOCYC DATABASES AND PATHWAY TOOLS SOFTWARE

We provide two types of downloadable materials for the BioCyc databases and Pathway Tools software.

Note that the BioCyc web-based SmartTables facility can save you significant time in answering large-scale data analysis questions, and is significantly easier to use than is downloading and parsing BioCyc files. See the SmartTables menu.

Download BioCyc Data Files

We provide the BioCyc databases (such as EcoCyc and MetaCyc) as collections of data files in several alternative formats including the following.

Due to BioCyc moving to a subscription model in 2016, access to BioCyc DBs other than EcoCyc or MetaCyc requires burchase of a subscription (with the exception that older versions of BioCyc are freely available).

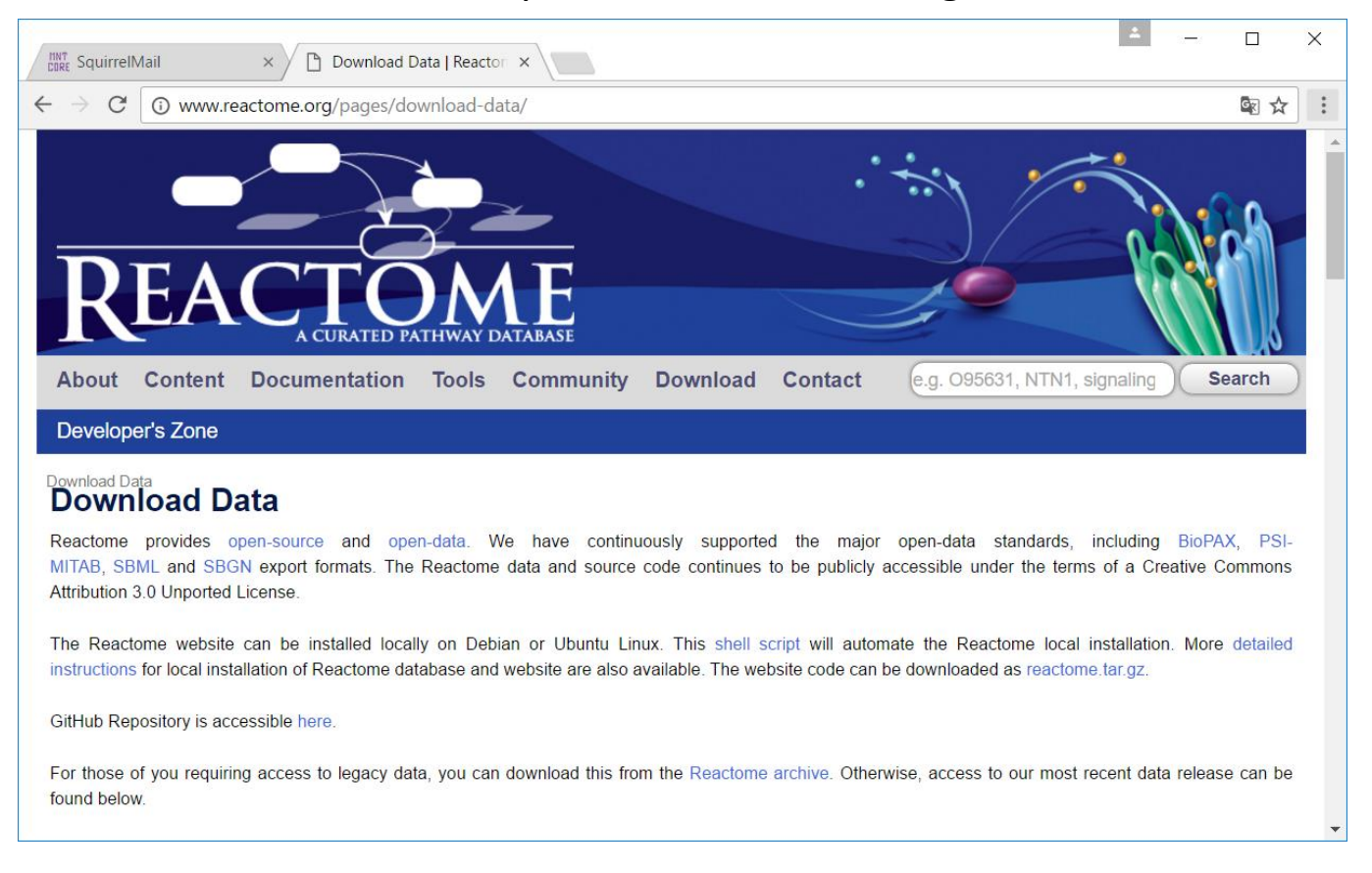
- BioPAX format
- Pathway Tools attribute-value format
- Pathway Tools tabular format
- SBML format
- Gene Ontology annotations (EcoCyc only): [Download from GO Web site]

Click here for an exact listing of files provided and their formats.

Programmatic Access to BioCyc Data

We provide several APIs for accessing BioCyc data.

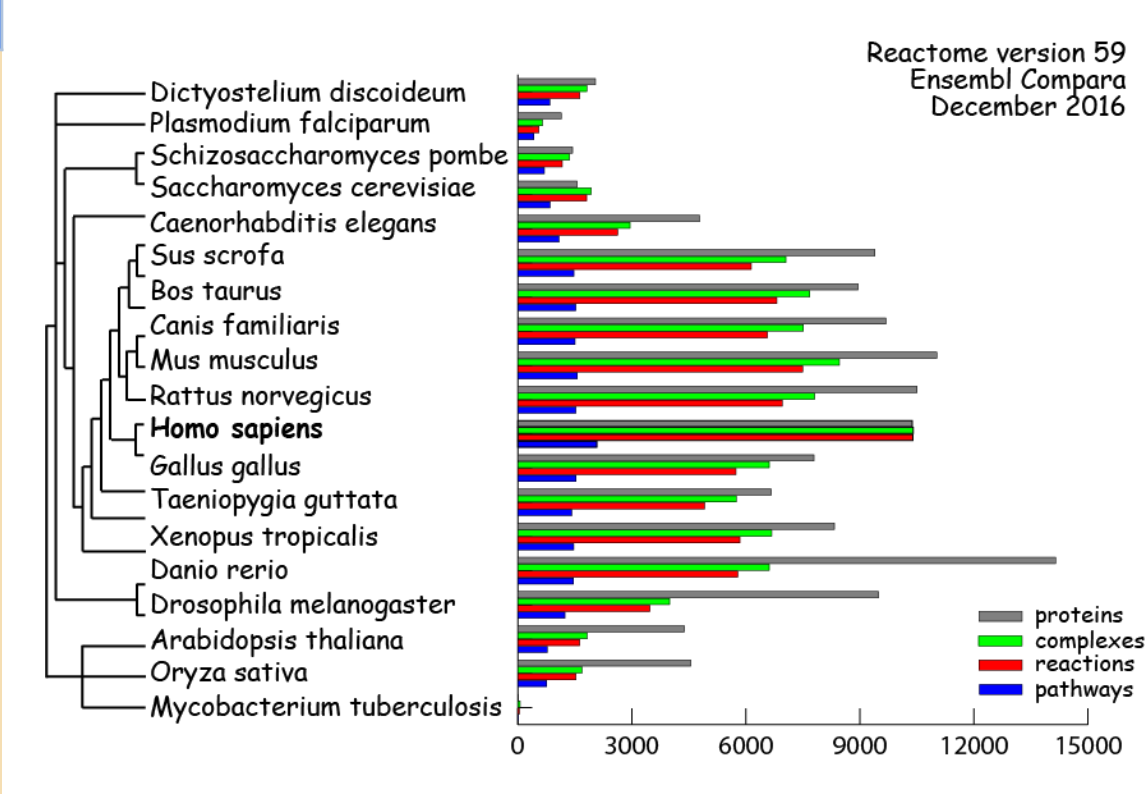
БАЗА ДАННЫХ REACTOME http://www.reactome.org/



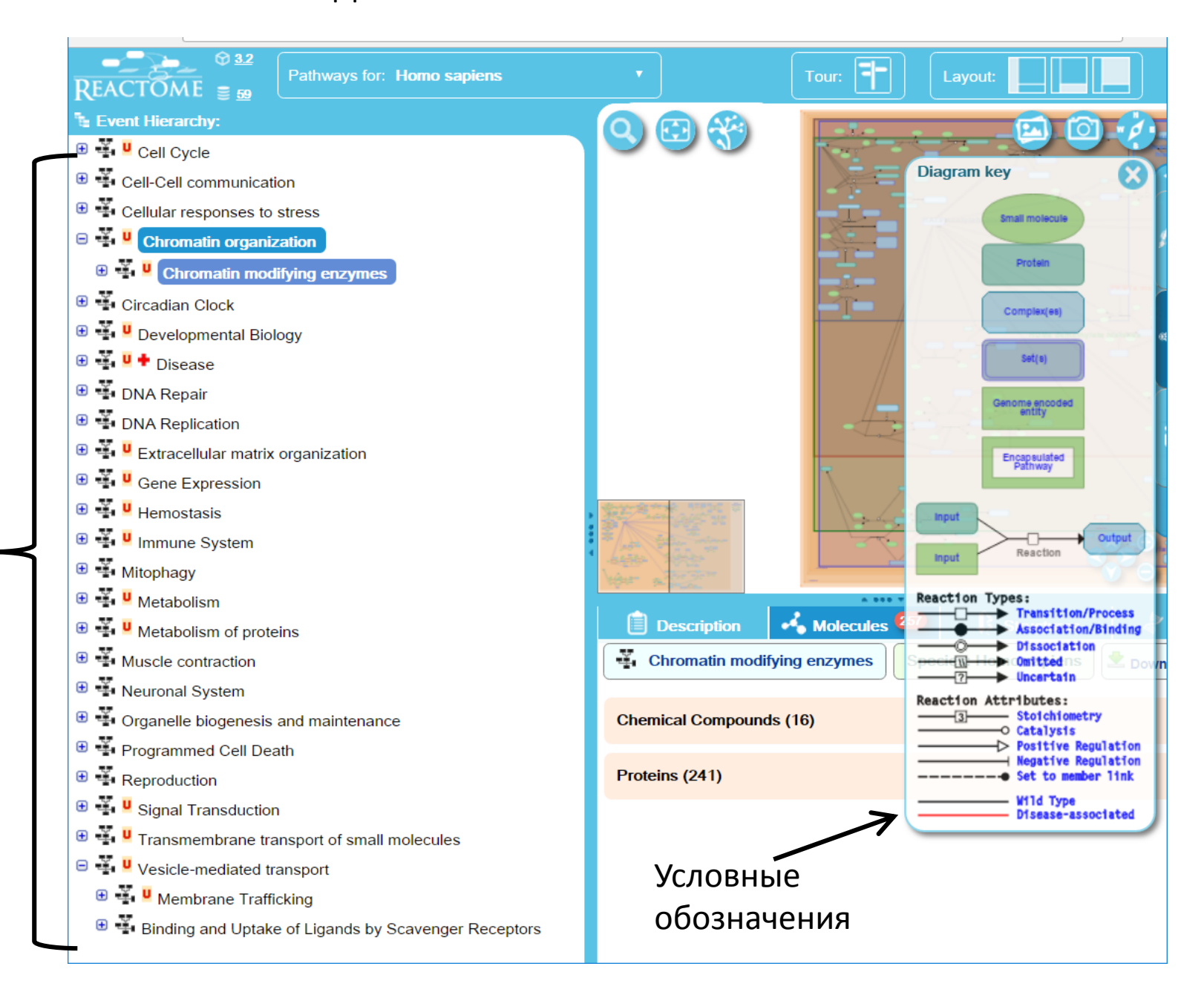
Reactome provides <u>open-source</u> and <u>open-data</u>. We have continuously supported the major open-data standards, including <u>BioPAX</u>, <u>PSI-MITAB</u>, <u>SBML</u> and <u>SBGN</u> export formats. The Reactome data and source code continues to be publicly accessible under the terms of a Creative Commons Attribution 3.0 Unported License.

БАЗА ДАННЫХ REACTOME(Version 59): статистика

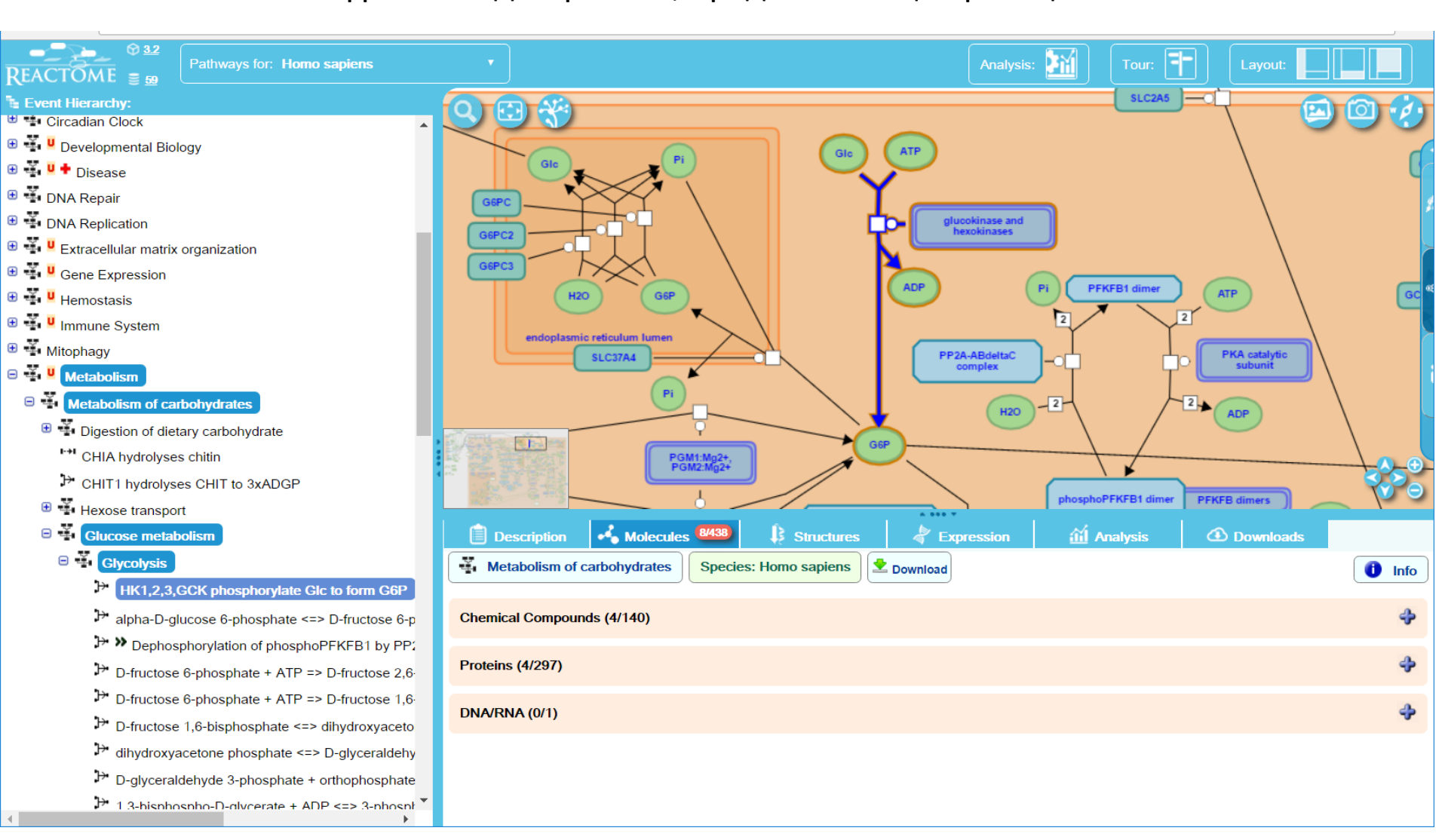
Species	PROTEINS	COMPLE- XES	REAC- TIONS	PATHWAYS
D. discoideum	2042	1815	1631	841
P. falciparum	1144	648	555	424
S. pombe	1440	1362	1167	695
S. cerevisiae	1558	1932	1810	850
C. elegans	4780	2954	2627	1084
S. scrofa	9394	7050	6141	1473
B. taurus	8951	7684	6813	1526
C. familiaris	9683	7514	6566	1504
M. musculus	11020	8459	7491	1568
R. norvegicus	10506	7810	6957	1528
*H. sapiens	10374	10399	10391	2080
G. gallus	7790	6615	5737	1533
T. guttata	6666	5746	4915	1419
X. tropicalis	8328	6677	5841	1468
D. rerio	14148	6617	5784	1467
D. melanogaster	9487	3996	3472	1239
A. thaliana	4381	1821	1624	772
O. sativa	4550	1690	1530	761
M. tuberculosis	13	58	40	12



БАЗА ДАННЫХ REACTOME

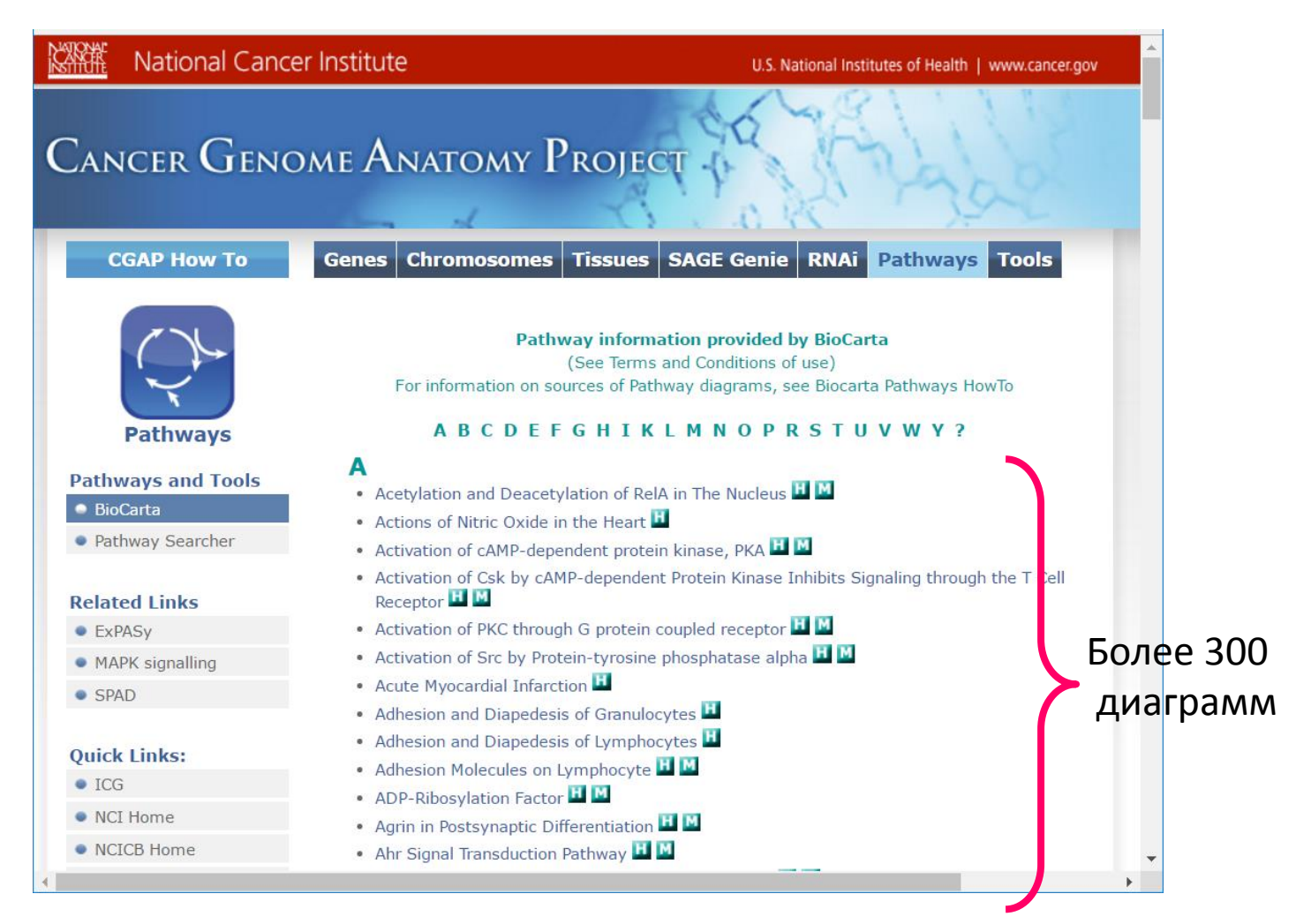


БАЗА ДАННЫХ REACTOME: фрагмент диаграммы, представляющей реакции гликолиза



ИНФОРМАЦИОННЫЙ PECYPC BIOCARTA

https://cgap.nci.nih.gov/Pathways/BioCarta_Pathways



БАЗА НЕ ОБНОВЛЯЕТСЯ:

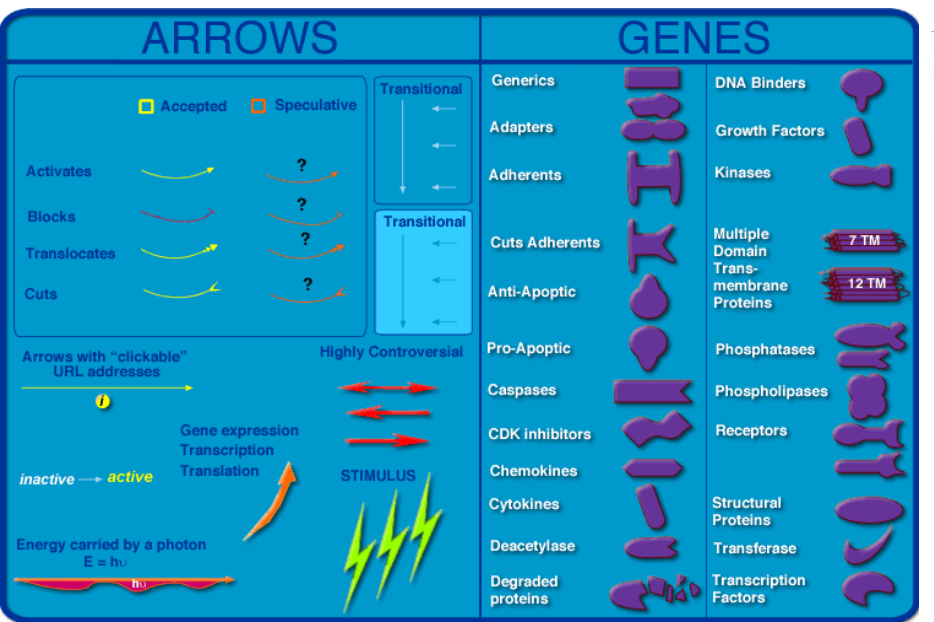
BioCarta had not been updating its pathways. The information provided might have been outdated. As a result, we have discontinued offering pathway information online. You may view our pathway figures at http://cgap.nci.nih.gov/Pathways/BioCarta_Pathways.

http://www.biocarta.com/

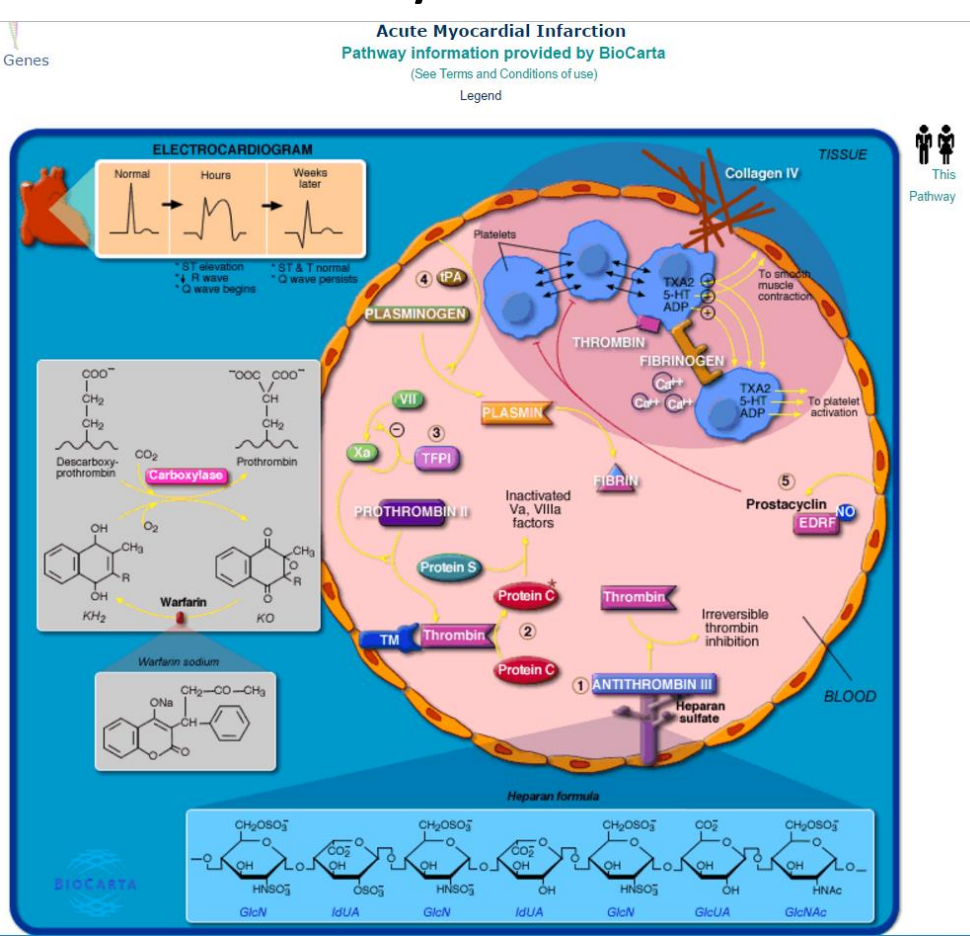
ИНФОРМАЦИОННЫЙ РЕСУРС BIOCARTA

Содержит схемы метаболических либо сигнальных путей, а также схемы процессов

Условные обозначения



Acute Myocardial Infarction



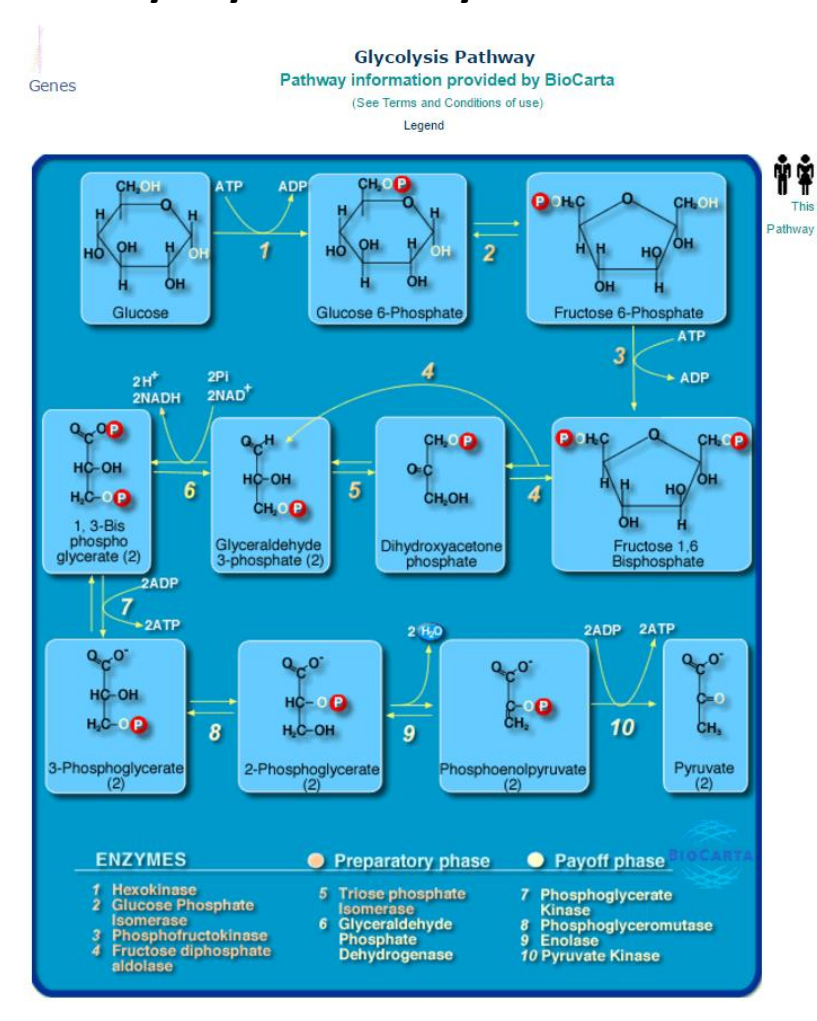
ИНФОРМАЦИОННЫЙ PECYPC BIOCARTA (продолжение)

Содержит схемы метаболических либо сигнальных путей, а также схемы процессов

MAPKinase Signaling Pathway

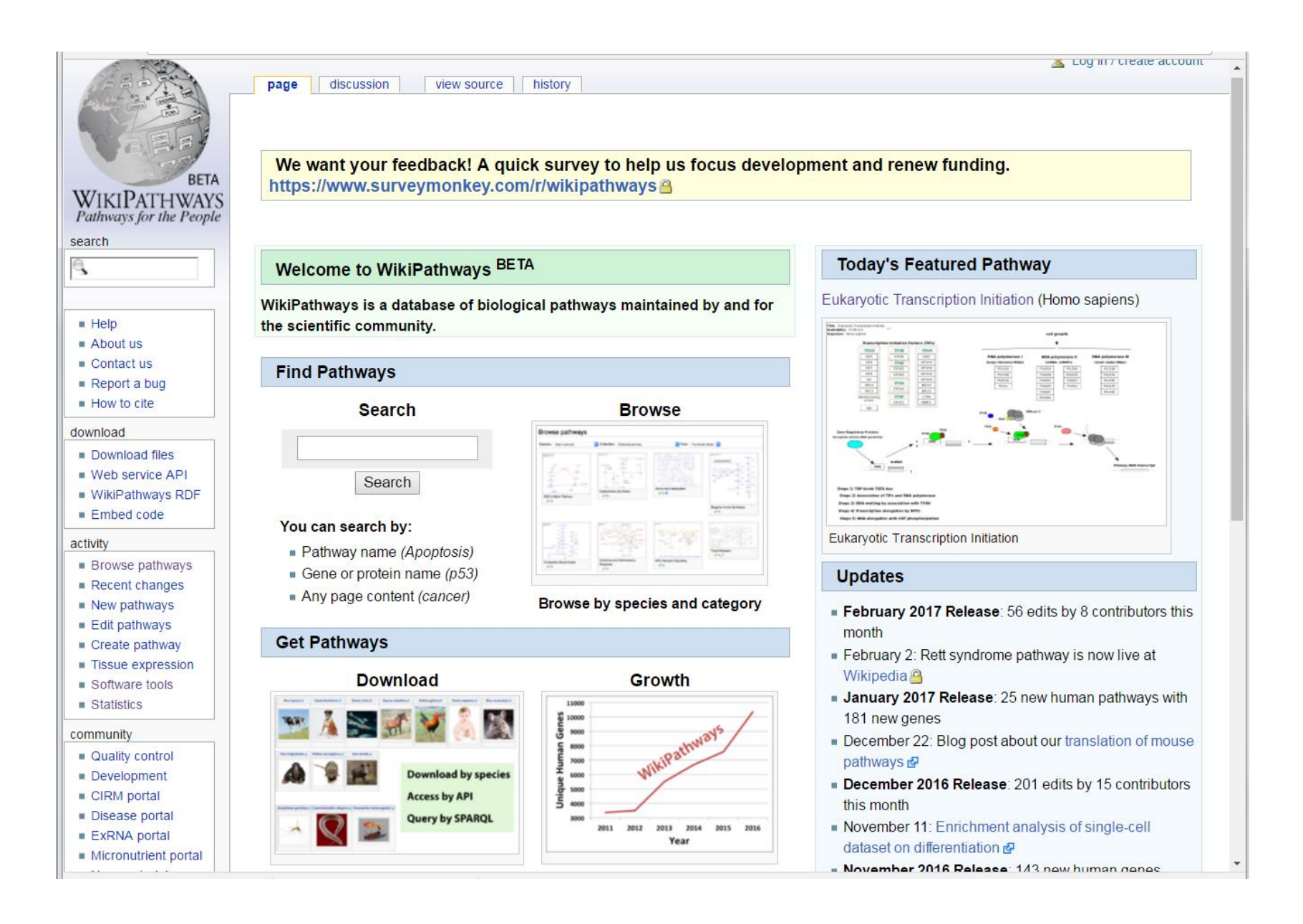
MAPKinase Signaling Pathway Pathway information provided by BioCarta Genes (See Terms and Conditions of use) r r Stress: Osmotic Shock, radiation, Anisomycin FASL, Inflammatory Cytokines, UV, etc. Pathway 3 KHS HPK1 MAP3K5 MAP3K7 MAP3K11 **МАРЗК8** MAP3K10 MAP3K13 MTK1 DLK PTK1 MLK3 MAPSK10 MAPS MEKK4 **ZPK** MAP2K4 MAP2K3 MAP2K2 MAP2K5 MKK7 MEK2 MKK4 SEK1 MKK7 MEK7 PRMK2 MKK6 MAPKK2 JNKK1 SERKI JNKK2 MAPK4 MAPK6 **МАРКЗ** MAPK12 MAPK10 SAPK1 p54aSAPK p54bSAPK MAPKAPK2 MAPKAPK5 PRAK RSK2 RSK1 MAPKAPK3 RPS6KA5 MSK1 MSK1 MSPK1 RLPK NFkB NFkB -

Glycolysis Pathway



WikiPathways

http://www.wikipathways.org/index.php/WikiPathways



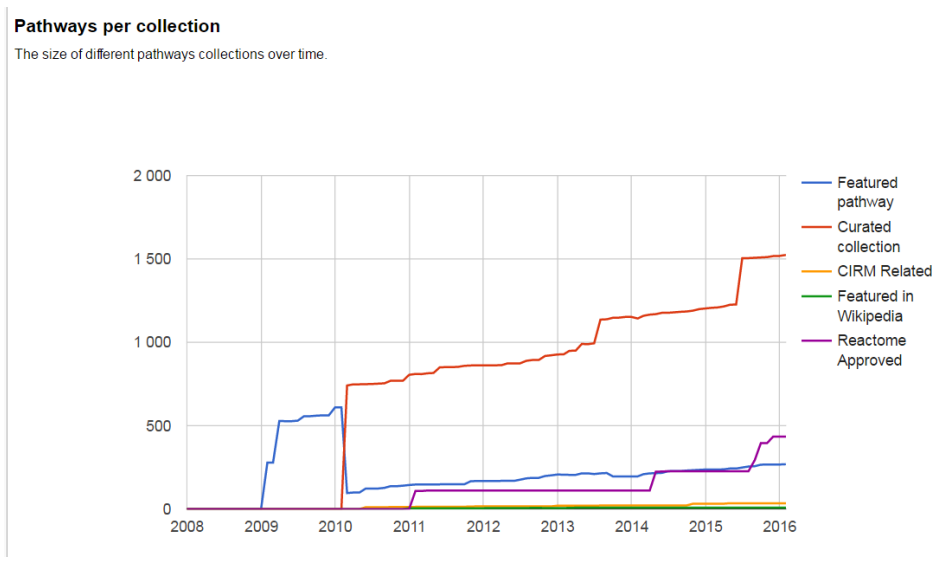
Статистика базы WikiPathways

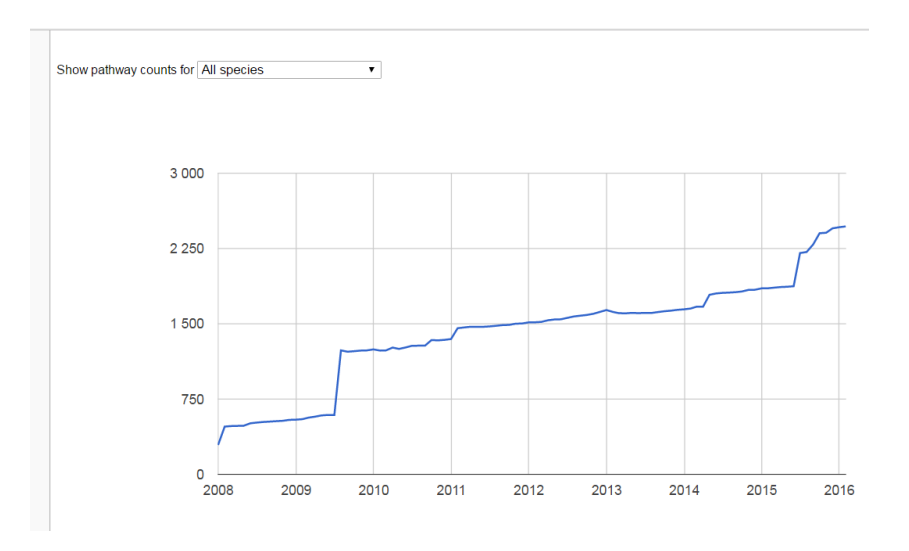


Kutmon M, Riutta A, Nunes N, Hanspers K, Willighagen EL, Bohler A, Mélius J, Waagmeester A, Sinha SR, Miller R, Coort SL, Cirillo E, Smeets B, Evelo CT, Pico AR. WikiPathways: capturing the full diversity of pathway knowledge *Nucl. Acids Res.*, 44, D488-D494 (2016)

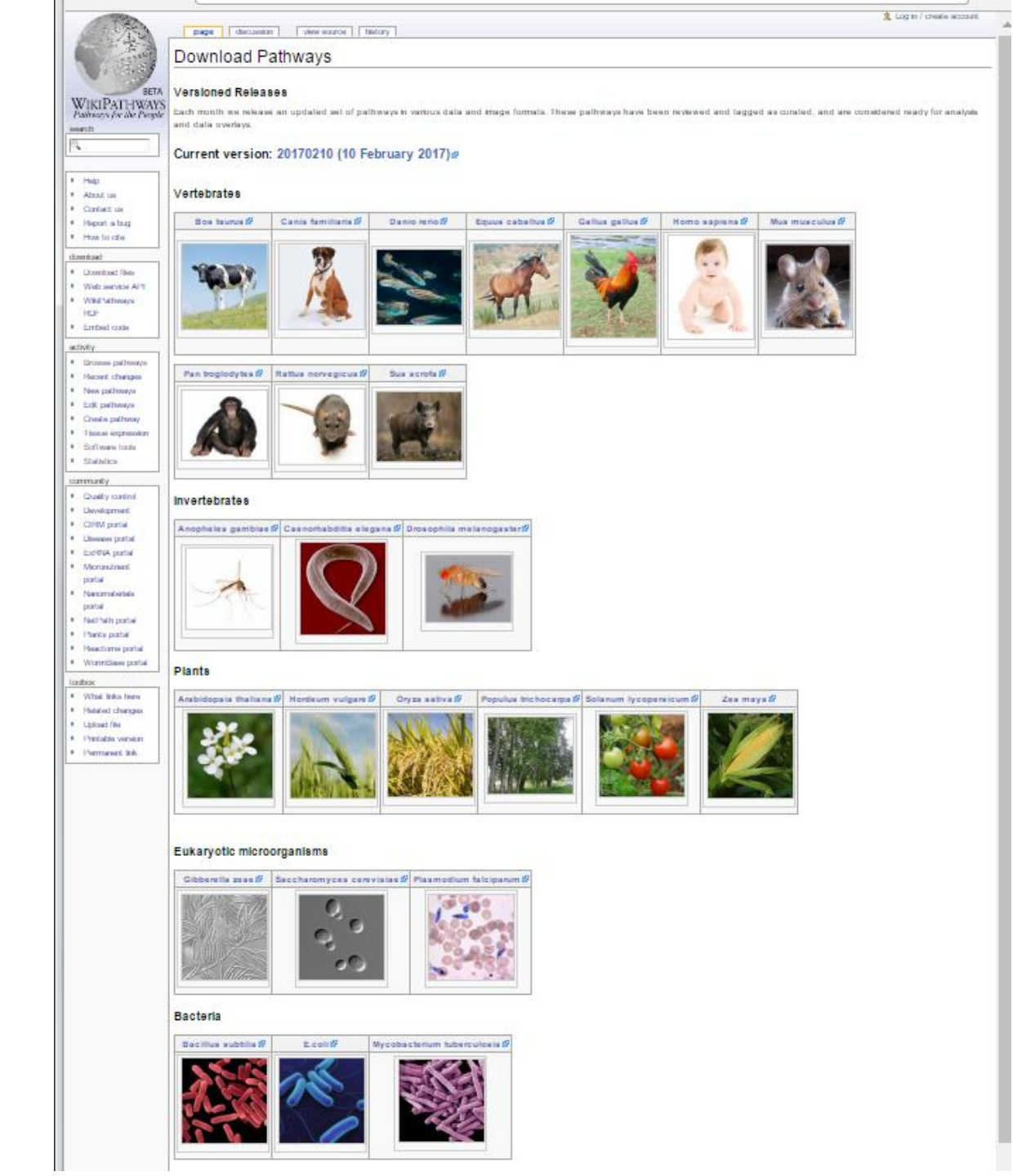
Pico AR, Kelder T, van Iersel MP, Hanspers K, Conklin BR, Evelo C. **(2008)** WikiPathways: Pathway Editing for the People. PLoS Biol 6(7)

Неуклонный рост базы по годам



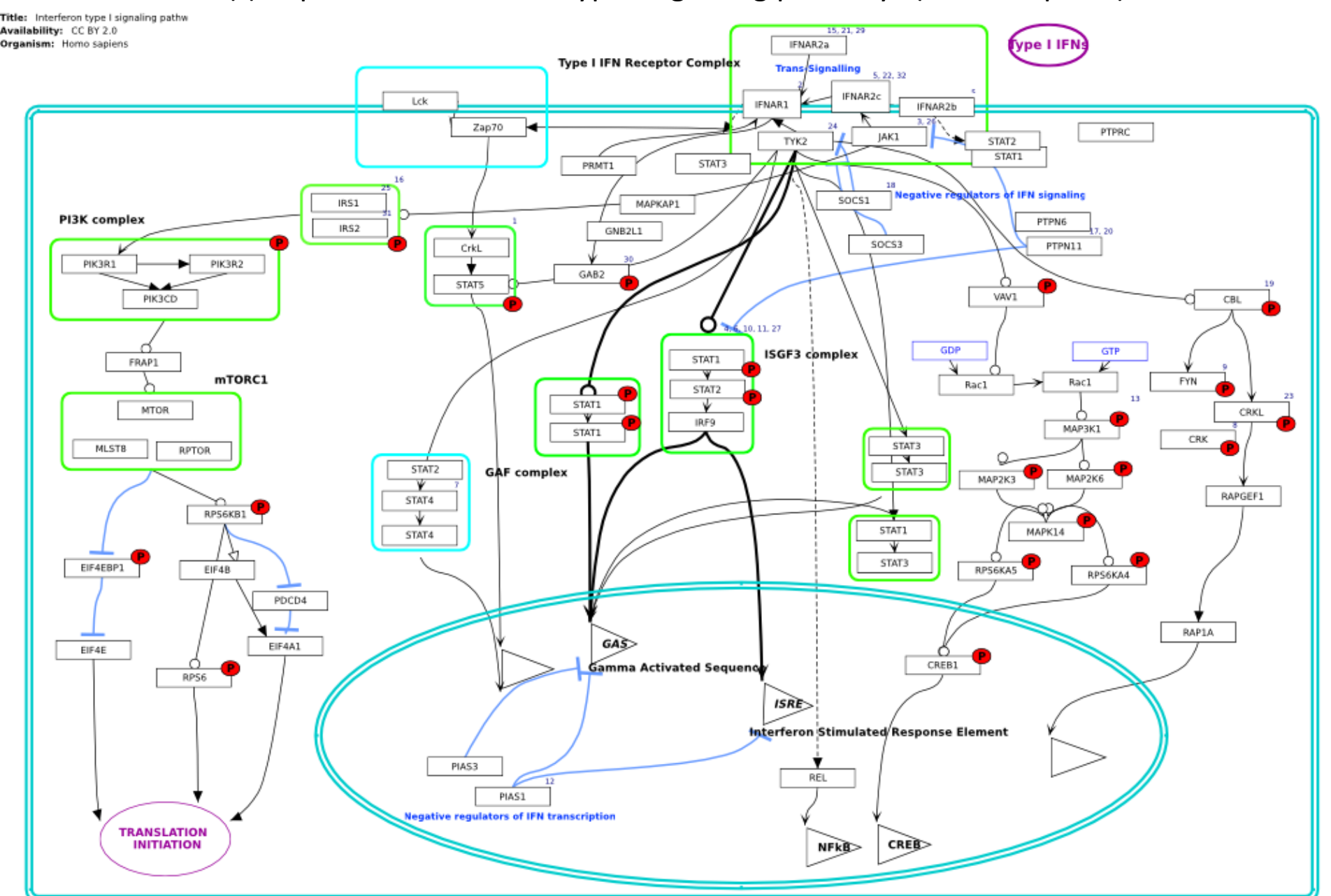


25 видов организмов базы WikiPathways



Пример представления данных в базе WikiPathways:

Диаграмма «Interferon type I signaling pathways (Homo sapiens)»



Все данные диаграмм WikiPathways можно скачать !!!!! (Первый способ)





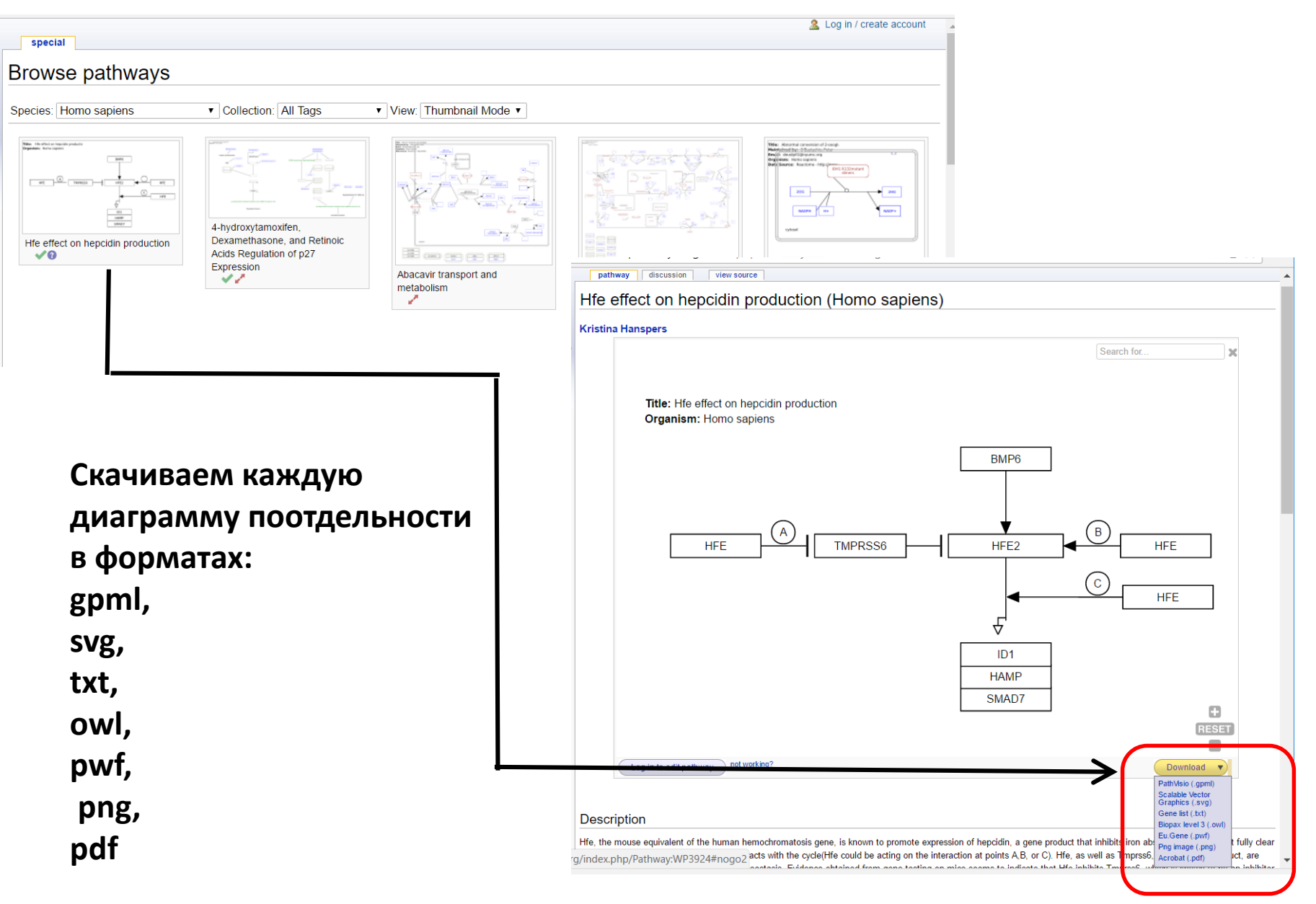
Multiple formats and methods

Выбор вида организма

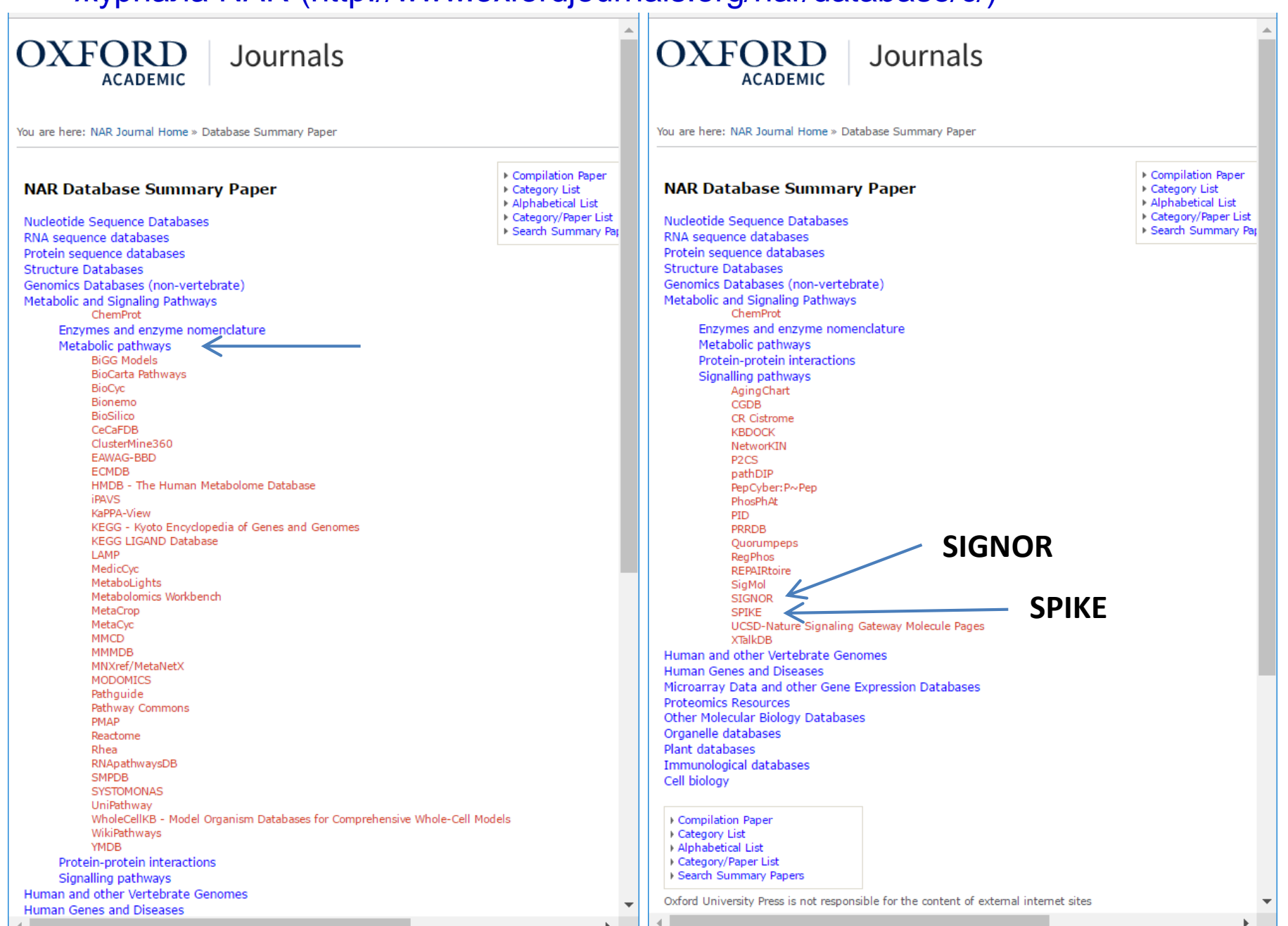
Архивный файл всех диаграмм одного вида организма (gpml формат)

лия лич	Размер	Сжат	Тип	Изменён	CRC32	
l .	тазмер	CARGI	Папка с файл	Pismerien	CITOSE	
Hs_4-hydroxytamoxifen, Dexamethasone, and Retinoic Acids Regulation of	26 521	3 845	Файл "GPML"	13.10.2016	BF8AD	
hs_ACE_Inhibitor_Pathway_WP554_84372.gpml	37 697		Файл "GPML"	17.02.2016		
Hs_Acetylcholine_Synthesis_WP528_79855.gpml	17 076		Файл "GPML"	04.05.2015		
Hs_Adipogenesis_WP236_80209.gpml	68 570	8 125	Файл "GPML"	22.05.2015	B4C92	
Hs_Aflatoxin_B1_metabolism_WP699_70509.gpml	31 383		Файл "GPML"	04.05.2015	DF49A	
Hs_AGE-RAGE_pathway_WP2324_89798.gpml	143 216	23 741	Файл "GPML"	06.10.2016	6AAA3	
Hs_Alanine_and_aspartate_metabolism_WP106_91240.gpml	67 203	8 879	Файл "GPML"	21.01.2017	85824	
Hs_Allograft_Rejection_WP2328_90020.gpml	160 876	20 090	Файл "GPML"	08.10.2016	C9F45C	
Hs_Alpha_6_Beta_4_signaling_pathway_WP244_85199.gpml	74 687	9 742	Файл "GPML"	25.04.2016	64D85	
Hs_Alzheimers_Disease_WP2059_87372.gpml	144 549	16 630	Файл "GPML"	22.07.2016	C66543	
Hs_Amino_acid_conjugation_of_benzoic_acid_WP521_88588.gpml	9 727	1 726	Файл "GPML"	11.08.2016	CF347B	
Hs_Amino_acid_conjugation_WP715_63154.gpml	5 556	1 132	Файл "GPML"	04.05.2015	DDBB9	
Hs_Amino_Acid_metabolism_WP3925_90737.gpml	201 780	25 954	Файл "GPML"	13.12.2016	32E4C9	
Hs_AMP-activated_Protein_Kinase_(AMPK)_Signaling_WP1403_90259.gpml	79 507	12 713	Файл "GPML"	27.10.2016	73E441	
Hs_Amplification_and_Expansion_of_Oncogenic_Pathways_as_Metastatic_Trait	22 371	4 143	Файл "GPML"	13.10.2016	947498	
Hs_Amyotrophic_lateral_sclerosis_(ALS)_WP2447_85186.gpml	63 458	10 080	Файл "GPML"	23.04.2016	314524	
Hs_Androgen_receptor_signaling_pathway_WP138_79958.gpml	105 471	16 748	Файл "GPML"	04.05.2015	B374D	
Hs_Angiogenesis_WP1539_88983.gpml	47 789	6 560	Файл "GPML"	18.08.2016	2A716	
Hs_Angiopoietin_Like_Protein_8_Regulatory_Pathway_WP3915_90629.gpml	183 173	25 164	Файл "GPML"	02.12.2016	BBDDF	
Hs_ApoE_and_miR-146_in_inflammation_and_atherosclerosis_WP3926_90739	16 810	3 236	Файл "GPML"	13.12.2016	F98AC	
Hs_Apoptosis_Modulation_and_Signaling_WP1772_91293.gpml	90 928	9 952	Файл "GPML"	23.01.2017	9ED92	
Hs_Apoptosis_Modulation_by_HSP70_WP384_67054.gpml	34 491	4 874	Файл "GPML"	27.04.2015	B15FE	
Hs_Apoptosis_WP254_88977.gpml	74 141	9 805	Файл "GPML"	18.08.2016	A06A1	
Hs_Apoptosis-related_network_due_to_altered_Notch3_in_ovarian_cancer_WP	46 898	5 207	Файл "GPML"	04.05.2015	EB991E	
Hs_Arachidonate_EpoxygenaseEpoxide_Hydrolase_WP678_71506.gpml	38 335	5 169	Файл "GPML"	04.05.2015	2C7AD	
Hs_Arrhythmogenic_Right_Ventricular_Cardiomyopathy_WP2118_71265.gpml	97 314	9 064	Файл "GPML"	04.05.2015	C856B	
Hs_Aryl_Hydrocarbon_Receptor_Pathway_WP2873_88902.gpml	92 983	10 444	Файл "GPML"	17.08.2016	5AF732	
Hs_Aryl_Hydrocarbon_Receptor_WP2586_89793.gpml	158 322		Файл "GPML"	06.10.2016	F4D3EF	
Hs_Arylamine_metabolism_WP694_89536.gpml	18 479	2 823	Файл "GPML"	16.09.2016		
Hs_Association_Between_Physico-Chemical_Features_and_Toxicity_Associated	62 386	8 420	Файл "GPML"	13.10.2016	D6733	
Hs_ATM_Signaling_Network_in_Development_and_Disease_WP3878_89745.g	42 186		Файл "GPML"	29.09.2016		
Hs_ATM_Signaling_Pathway_WP2516_90247.gpml	295 343	34 278	Файл "GPML"	26.10.2016	0FAF71	

Данные диаграмм WikiPathways можно все скачать !!!!! (Второй способ)

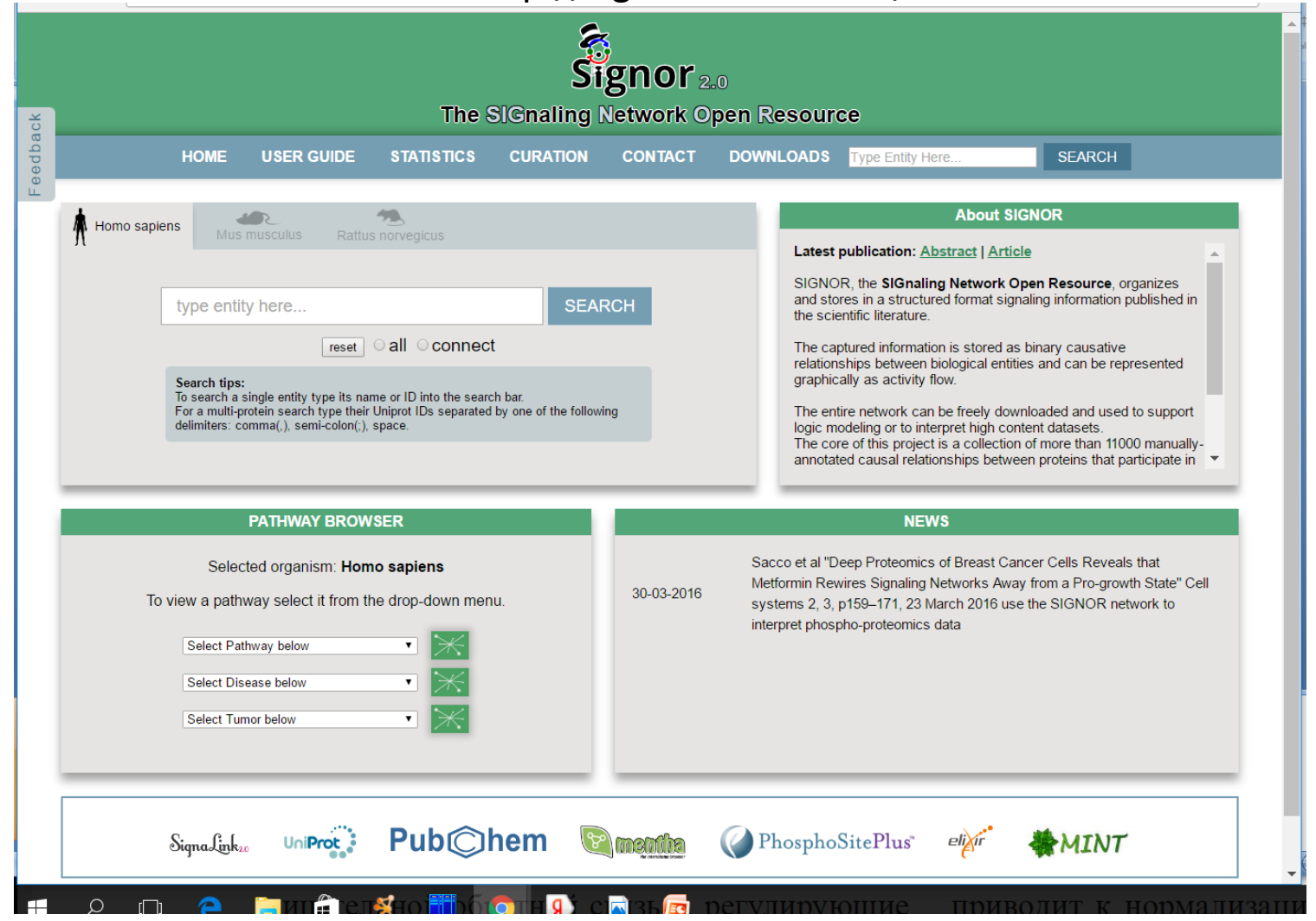


Сведения о базах данных по метаболическим и сигнальным на Вэб-сайте журнала NAR (http://www.oxfordjournals.org/nar/database/c/)



PECYPC Signor

http://signor.uniroma2.it/



База данных по сигнальным путям трех видов организмов (человек , мышь, крыса). Данные взяты из научных публикаций

Perfetto L et al., SIGNOR: a database of causal relationships between biological entities. Nucleic Acids Res. 2016;44(D1):D548-54.

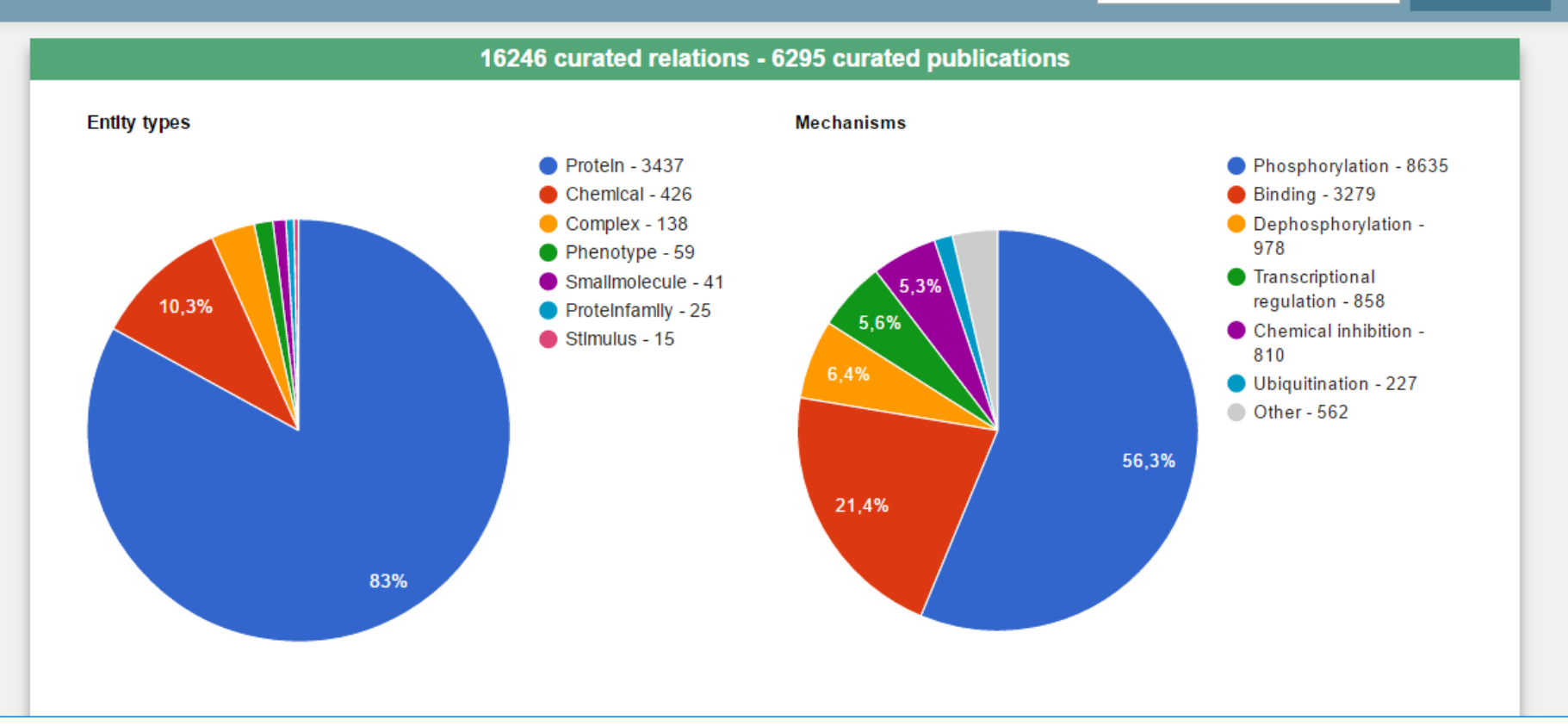
Статистика данных в базе Signor

http://signor.uniroma2.it/statistics.php

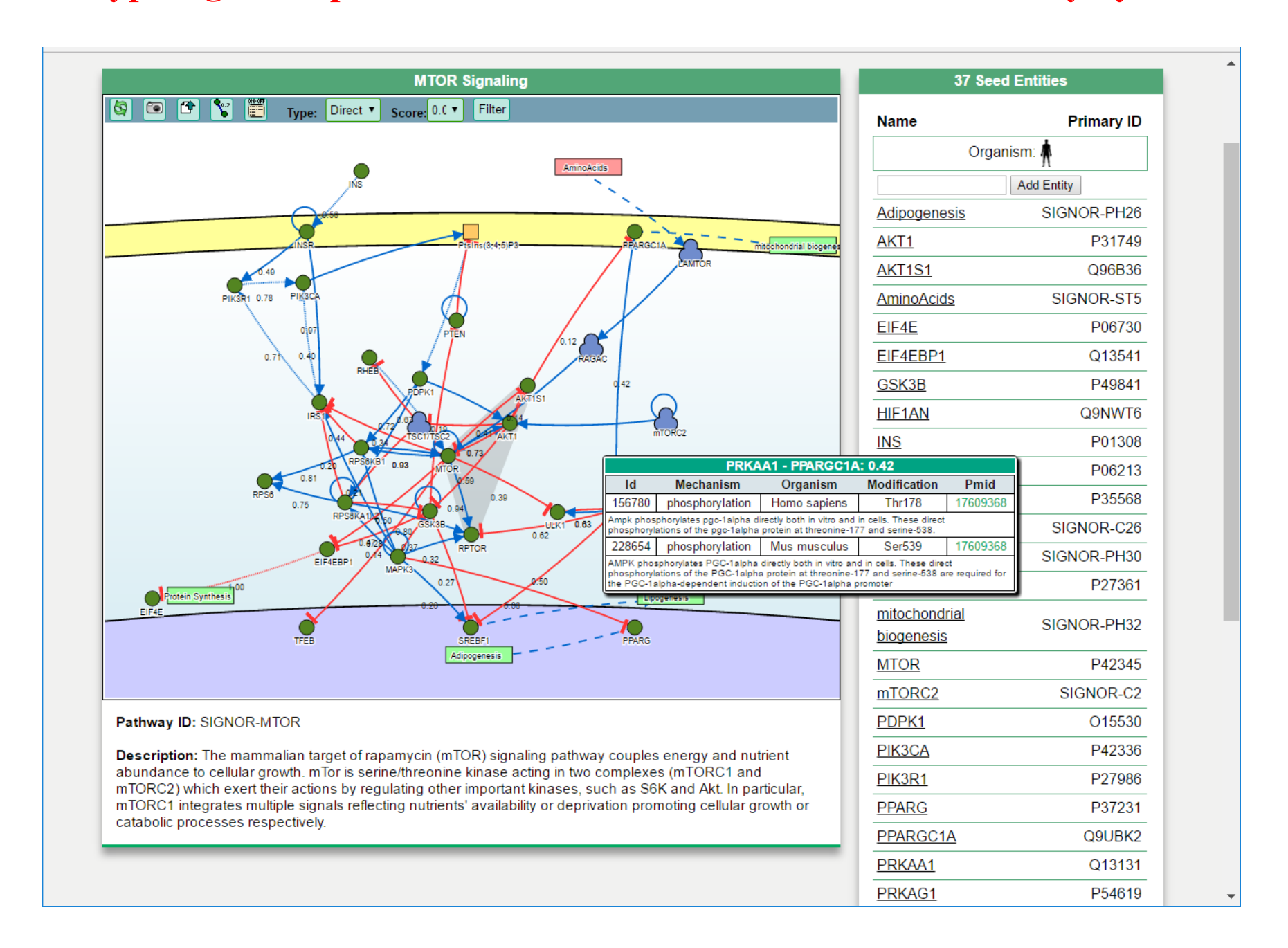


The SIGnaling Network Open Resource

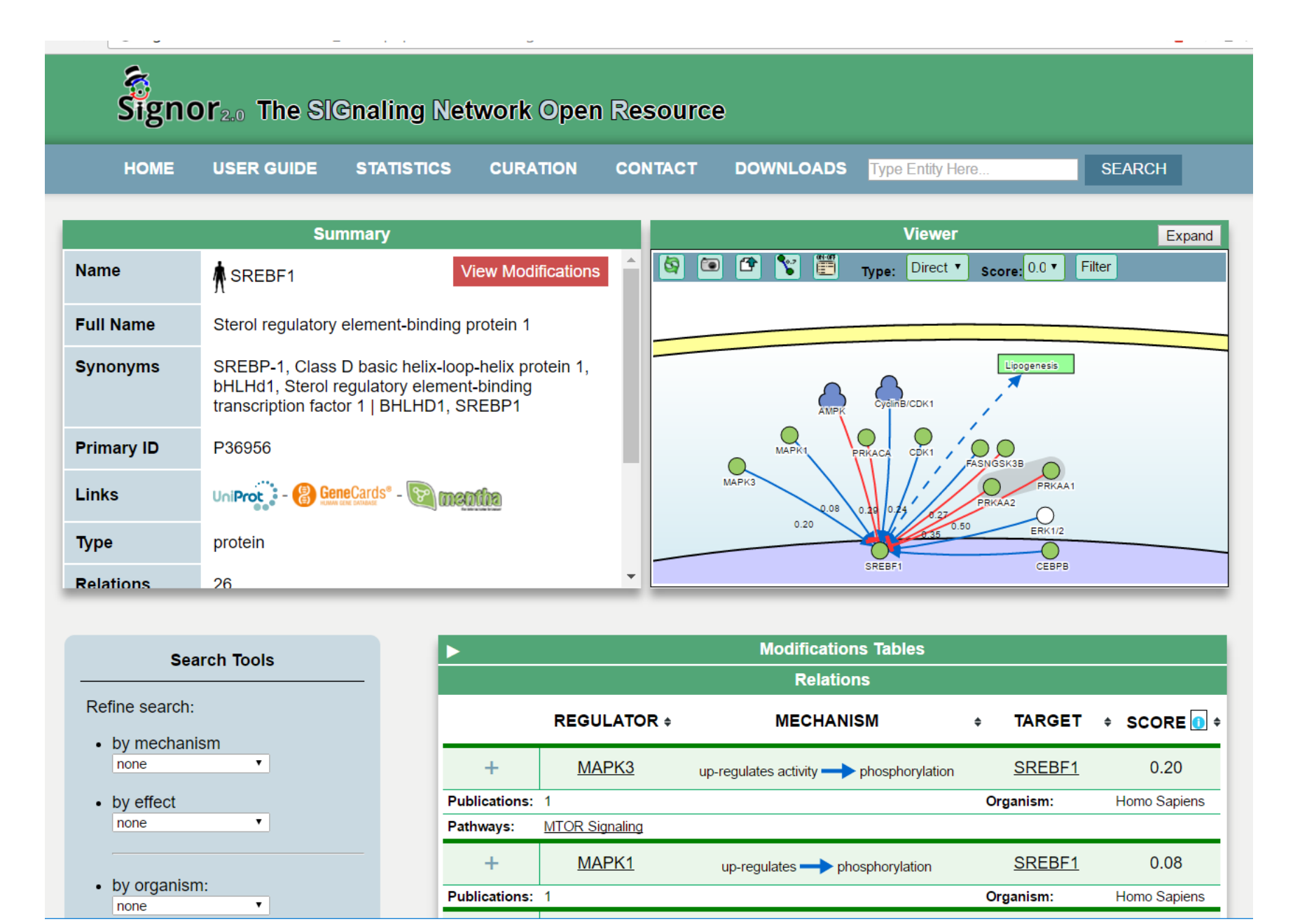
HOME USER GUIDE STATISTICS CURATION CONTACT DOWNLOADS Type Entity Here... SEARCH



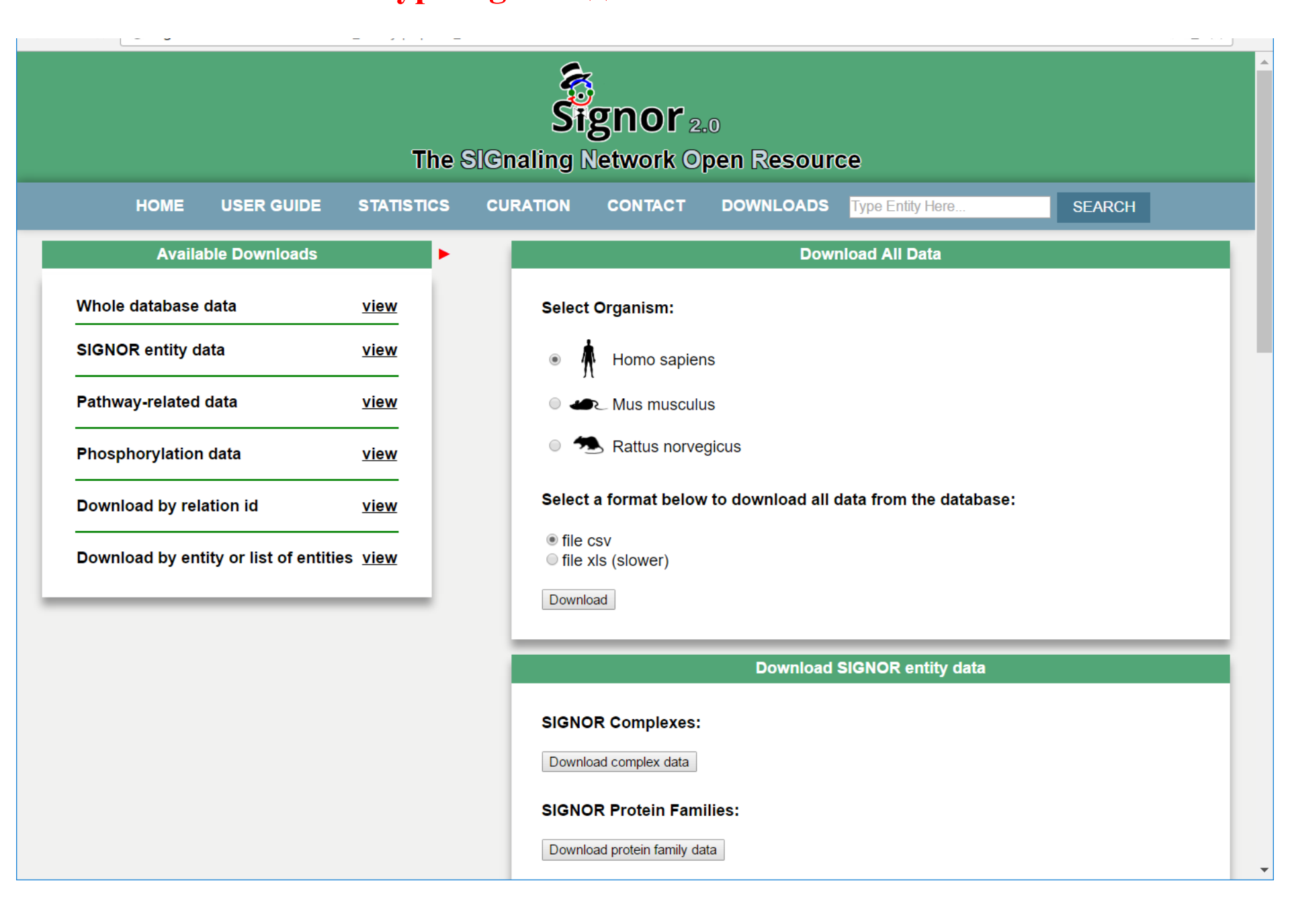
Pecypc Signor: представление данных по mTOR сигнальному пути



Pecypc Signor: представление данных о путях активации фактора SREBP1

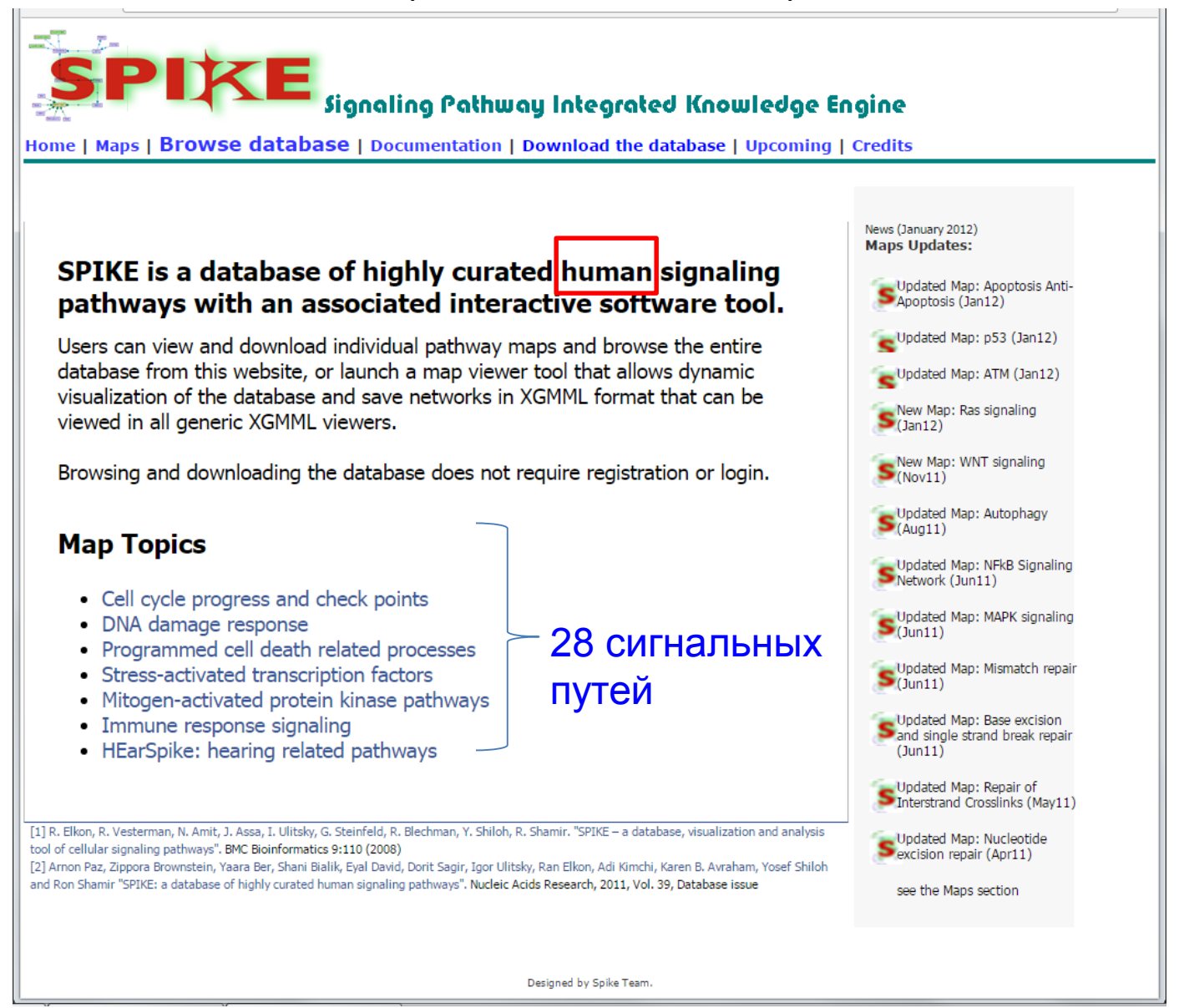


Pecypc Signor: данные можно скачать

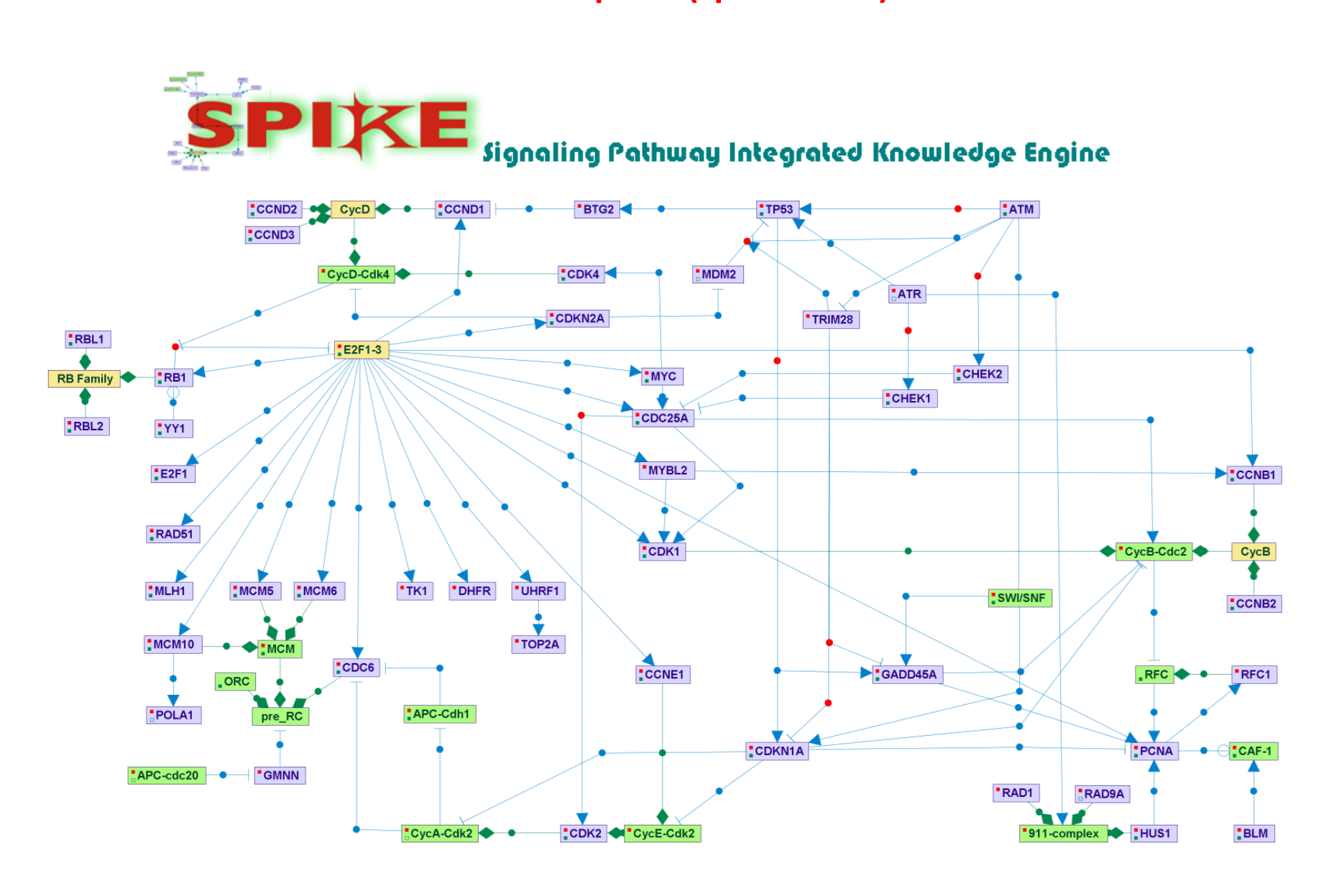


PECYPC SPIKE

http://www.cs.tau.ac.il/~spike/



База SPIKE: Представление данных о процессе «DNA damage induced G1-S checkpoint (spike00003) »



Pecypc SPIKE: данные можно скачать



Home | Maps | Browse database | Documentation | Download the database | Upcoming | Credits

Spike database in XML format

SPIKE DB

Spike database in other formats

The Spike database is available for download in the following formats:

- BioPax
- Sif

Designed by Spike Team.

ПОВТОРЕНИЕ: В лекции № 4 были рассмотрены базы данных по генным сетям, а также по метаболическим и сигнальным путям:

- 1) GeneNet ИЦиГ СО РАН , г.Новосибирск http://wwwmgs.bionet.nsc.ru/mgs/gnw/genenet/
- 2) KEGG Kyoto encyclopedia of genes and genomes: integrated suite of databases on genes, proteins, and metabolic pathways http://www.genome.ad.jp/kegg
- 3) MetaCyc Metabolic Database http://metacyc.org/
 - + BioCyc (Database Collection) https://biocyc.org/
- 4) Reactome http://www.reactome.org/
- 5) BioCarta https://cgap.nci.nih.gov/Pathways/BioCarta Pathways
- 6) WikiPathways http://www.wikipathways.org/index.php/WikiPathways
- 7) Signor http://signor.uniroma2.it/
- 8) SPIKE http://www.cs.tau.ac.il/~spike/

СПАСИБО ЗА ВНИМАНИЕ!